

TESIS

**ANALISIS TINGKAT KESAMAAN SOURCE CODE PADA BAHASA
PEMROGRAMAN KOTLIN MENGGUNAKAN
ALGORITMA WINNOWING**



Disusun oleh:

Nama : Yustikamasy Astica
NIM : 21.51.2107
Konsentrasi : Business Intelligence

**PROGRAM STUDI S2 TEKNIK INFORMATIKA
PROGRAM PASCASARJANA UNIVERSITAS AMIKOM YOGYAKARTA
YOGYAKARTA**

2023

TESIS

**ANALISIS TINGKAT KESAMAAN SOURCE CODE PADA BAHASA
PEMROGRAMAN KOTLIN MENGGUNAKAN
ALGORITMA WINNOWING**

**ANALYSIS OF THE SIMILARITY LEVEL OF SOURCE CODE IN THE
KOTLIN PROGRAMMING LANGUAGE USING
WINNOWING ALGORITHM**

Diajukan untuk memenuhi salah satu syarat memperoleh derajat Magister



Disusun oleh:

Nama : Yustikamasy Astica
NIM : 21.51.2107
Konsentrasi : Business Intelligence

**PROGRAM STUDI S2 TEKNIK INFORMATIKA
PROGRAM PASCASARJANA UNIVERSITAS AMIKOM YOGYAKARTA
YOGYAKARTA**

2023

HALAMAN PENGESAHAN

**ANALISIS TINGKAT KESAMAAN SOURCE CODE PADA BAHASA
PEMROGRAMAN KOTLIN MENGGUNAKAN ALGORITMA WINNOWING**

**ANALYSIS OF THE SIMILARITY LEVEL OF SOURCE CODE IN THE KOTLIN
PROGRAMMING LANGUAGE USING WINNOWING ALGORITHM**

Dipersiapkan dan Disusun oleh

Yustikamasy Astica

21.51.2107

Telah Diujikan dan Dipertahankan dalam Sidang Ujian Tesis
Program Studi S2 Teknik Informatika
Program Pascasarjana Universitas AMIKOM Yogyakarta
pada hari Senin, 02 Oktober 2023

Tesis ini telah diterima sebagai salah satu persyaratan
untuk memperoleh gelar Magister Komputer

Yogyakarta, 02 Oktober 2023

Rektor

Prof. Dr. M. Suvanto, M.M.
NIK. 190302001

HALAMAN PERSETUJUAN

ANALISIS TINGKAT KESAMAAN SOURCE CODE PADA BAHASA PEMROGRAMAN KOTLIN MENGGUNAKAN ALGORITMA WINNOWER

ANALYSIS OF THE SIMILARITY LEVEL OF SOURCE CODE IN THE KOTLIN PROGRAMMING LANGUAGE USING WINNOWER ALGORITHM

Dipersiapkan dan Disusun oleh

Yustikamasy Astica

21.51.2107

Telah Diujikan dan Dipertahankan dalam Sidang Ujian Tesis
Program Studi S2 Teknik Informatika
Program Pascasarjana Universitas AMIKOM Yogyakarta
pada hari Senin, 02 Oktober 2023

Pembimbing Utama

Prof. Dr. Ema Utami, S.Si., M.Kom.

NIK. 190302037

Anggota Tim Penguji

**Alva Hendi Muhammad, S.T.,
M.Eng., Ph.D.**

NIK. 190302493

Pembimbing Pendamping

Anggit Dwi Hartanto, M.Kom

NIK. 190302163

Hanafi, S.Kom., M.Eng., Ph.D.

NIK. 190302024

Prof. Dr. Ema Utami, S.Si., M.Kom.

NIK. 190302037

Tesis ini telah diterima sebagai salah satu persyaratan
untuk memperoleh gelar Magister Komputer

Yogyakarta, 02 Oktober 2023

Direktur Program Pascasarjana

Dr. Kusriani, M.Kom.

NIK. 190302106

HALAMAN PERNYATAAN KEASLIAN TESIS

Yang bertandatangan di bawah ini,

Nama mahasiswa : Yustikamasy Astica
NIM : 21.51.2107
Konsentrasi : Business Intelligence

Menyatakan bahwa Tesis dengan judul berikut
**Analisis Tingkat Keamanan Source Code Pada Bahasa Pemrograman Kotlin
Menggunakan Algoritma Winnowing**

Dosen Pembimbing Utama : Prof. Dr. Ema Utami, S.Si., M.Kom.
Dosen Pembimbing Pendamping : Anggit Dwi Hartanto, M.Kom.

1. Karya tulis ini adalah benar-benar ASLI dan BELUM PERNAH diajukan untuk mendapatkan gelar akademik, baik di Universitas AMIKOM Yogyakarta maupun di Perguruan Tinggi lainnya
2. Karya tulis ini merupakan gagasan, rumusan dan penelitian SAYA sendiri, tanpa bantuan pihak lain kecuali arahan dari Tim Dosen Pembimbing
3. Dalam karya tulis ini tidak terlampir karya atau pendapat orang lain, kecuali secara tertulis dengan jelas dicantumkan sebagai acuan dalam naskah dengan disebutkan nama pengarang dan disebutkan dalam Daftar Pustaka pada karya tulis ini
4. Perangkat lunak yang digunakan dalam penelitian ini sepenuhnya menjadi tanggung jawab SAYA, bukan tanggung jawab Universitas AMIKOM Yogyakarta
5. Pernyataan ini SAYA buat dengan sesungguhnya, apabila di kemudian hari terdapat penyimpangan dan ketidakbenaran dalam pernyataan ini, maka SAYA bersedia menerima SANKSI AKADEMIK dengan pencabutan gelar yang sudah diperoleh, serta sanksi lainnya sesuai dengan norma yang berlaku di Perguruan Tinggi

Yogyakarta, 02 Oktober 2023
Yang Menyatakan,



Yustikamasy Astica

HALAMAN PERSEMBAHAN

Alhamdulillah, Alhamdulillahirobbil Alamin, puji syukur saya panjatkan kehadiran Allah SWT yang telah memberikan nikmat dan berkat yang luar biasa kepada saya, sehingga saya bisa menyelesaikan tesis ini dengan baik. Saya juga berterimakasih kepada orang-orang yang secara langsung maupun tidak langsung telah membantu saya dalam menyelesaikan tesis ini. Tesis ini saya persembahkan kepada:

1. Allah SWT, atas segala nikmat berupa kesehatan, kekuatan, dan masih banyak lagi karena hanya atas izin dan karunia-Nya maka tesis ini dapat dibuat dengan baik dan dapat diselesaikan dengan lancar.
2. Mama dan Papa saya tercinta yang tanpa lelah mendukung semua keputusan dan pilihan hidup saya apapun itu serta selalu mendoakan yang terbaik untuk kesuksesan anaknya.
3. Kakak-kakak saya, Mbak Adin, Mas Nandi, Mas Sutan, Mas Ghani, dan Mbak Cindy yang selalu mendukung saya, memberikan semangat untuk semua keputusan saya, dan memberikan masukan ketika saya sedang kesusahan.
4. Sahabat terbaikku Monica, Ogen, Mas Rafi, Alvinia, Anggita yang selalu ada ketika saya memulai perkuliahan S2 ini. Serta Bayu, Mitha, dan Salsa sebagai teman seperjuangan studi s2.
5. Teman-teman tim product Farmacare, Fri, Komang, Alex, Derby, Riska, Yopi, Jagi, dan teman-teman Farmacare lainnya yang membantu untuk saya bisa kuliah sambil meniti karir di Farmacare. Serta Kak Icha dan Endi yang telah menemani saya dan membantu saya dengan sabar.
6. Ucapan terima kasih kepada semua pihak yang membantu serta mendukung saya yang tidak bisa saya sebutkan satu persatu.
7. *Last but not least, I wanna thank me. I wanna thank me for believing in me. I wanna thank me for doing all this hard work. I wanna thank me for having no days off. I wanna thank me for never quitting.*

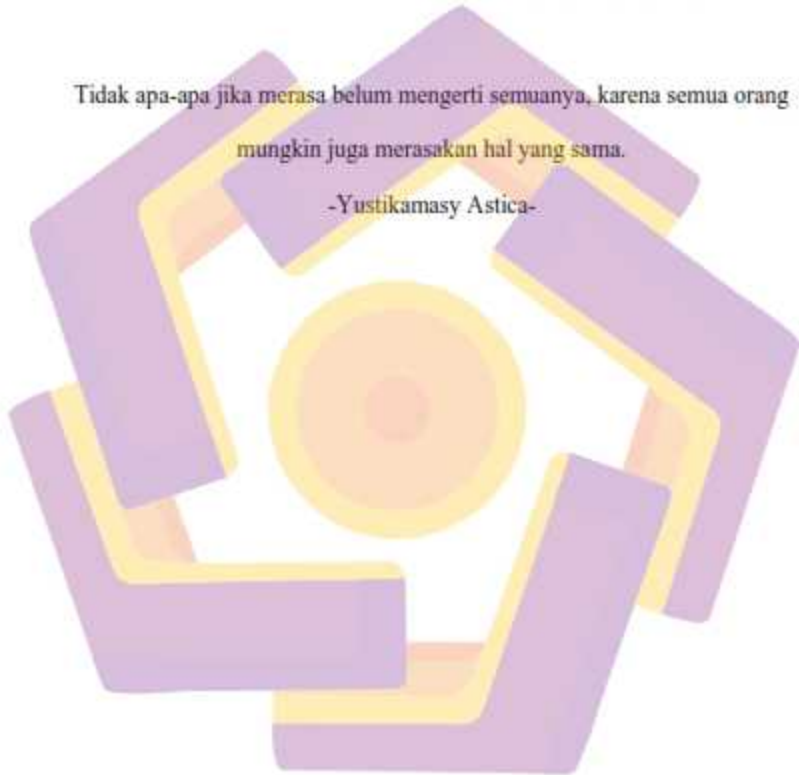
HALAMAN MOTTO

قَالَ مَعَ الْعُسْرِ يُسْرًا (٥) إِنَّ مَعَ الْعُسْرِ يُسْرًا (٦)

“Karena sesungguhnya beserta kesulitan ada kemudahan, sesungguhnya beserta kesulitan itu ada kemudahan.” (QS. Asy-Syarah [94]: 5-6)

Tidak apa-apa jika merasa belum mengerti semuanya, karena semua orang mungkin juga merasakan hal yang sama.

-Yustikamasy Astica-



KATA PENGANTAR

Assalamualaikum Wr.Wb.

Puji syukur penulis panjatkan kehadiran Allah SWT yang telah melimpahkan rahmat, taufik, hidayah, serta inayah-Nya, sehingga penulis dapat menyelesaikan tesis ini dengan lancar. Tidak lupa sholawat serta salam penulis haturkan kepada Nabi Muhammad SAW.

Tesis ini disusun dalam rangka memenuhi salah satu syarat kelulusan jenjang Program Magister Teknik Informatika Universitas Amikom Yogyakarta. Proses penyusunan hingga selesainya laporan tesis ini tidak lepas dari bantuan, bimbingan, dan dukungan dari berbagai pihak, baik secara langsung maupun tidak langsung. Maka dari itu, sebagai rasa hormat penulis mengucapkan terima kasih kepada:

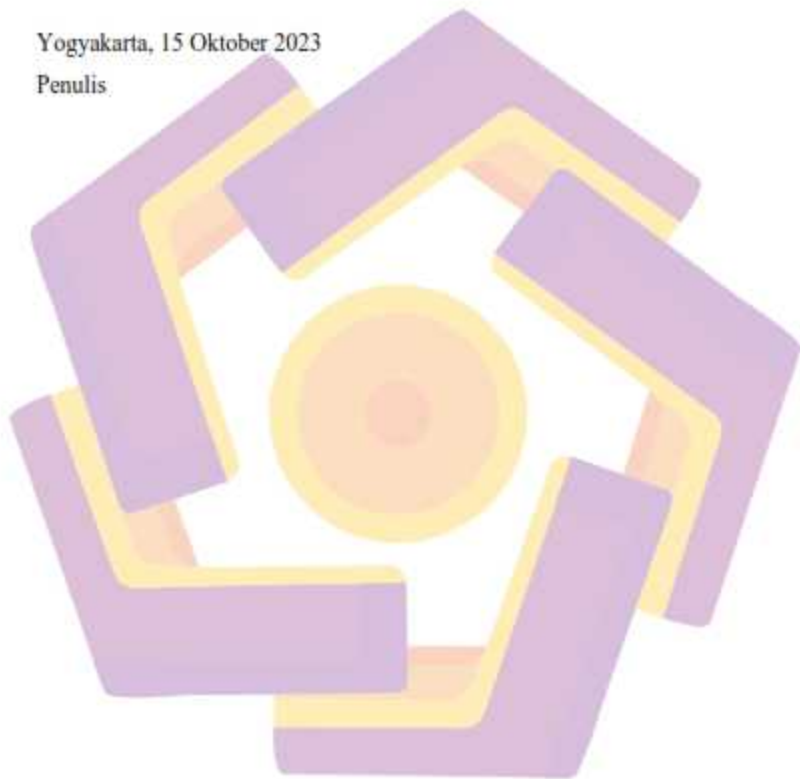
1. Bapak Prof. Dr. M. Suyanto, M.M, selaku Rektor Universitas AMIKOM Yogyakarta.
2. Ibu Prof. Dr. Kusriani, M.Kom, selaku Direktur Pascasarjana Universitas AMIKOM Yogyakarta
3. Ibu Prof. Dr. Ema Utami, S.Si., M.Kom, selaku dosen pembimbing 1 penulis yang telah memberikan petunjuk, bimbingan, dan nasihatnya dalam proses penulisan tesis ini.
4. Bapak Anggit Dwi Hartanto, M.Kom, selaku dosen pembimbing 2 penulis yang telah memberikan bimbingan dalam penulisan tesis ini.
5. Mama, Papa, dan Kakak-Kakak saya tersayang yang telah memberikan doa, kasih sayang, dan motivasi kepada penulis. Bapak dan Ibu Dosen dan staff Universitas Amikom Yogyakarta yang telah banyak memberikan ilmunya selama penulis berkuliah.
6. Teman-teman seperjuangan PJJ Angkatan 6 dan MTI-A Angkatan 27-A, tim Farmacare, dan teman TKJ 2, atas segala bantuan, doa, dan dukungan semangatnya.
7. Semua pihak yang telah membantu dalam penyelesaian tesis ini yang tidak dapat penulis sebutkan satu persatu.

Penulis berharap tesis ini dapat menjadi manfaat bagi dunia pendidikan. Kritik dan saran akan sangat membantu perkembangan dan penyempurnaan dalam karya tulis ini. Sekian dari penulis, apabila terdapat kesalahan dan kekurangan mohon maaf sebesar-besarnya.

Wassalamualaikum Wr. Wb.

Yogyakarta, 15 Oktober 2023

Penulis



DAFTAR ISI

HALAMAN JUDUL.....	ii
HALAMAN PENGESAHAN.....	iii
HALAMAN PERSETUJUAN.....	iv
HALAMAN PERNYATAAN KEASLIAN TESIS.....	v
HALAMAN PERSEMBAHAN.....	vi
HALAMAN MOTTO.....	vii
KATA PENGANTAR.....	viii
DAFTAR ISI.....	x
DAFTAR TABEL.....	xii
DAFTAR GAMBAR.....	xiii
DAFTAR LAMPIRAN.....	xiv
INTISARI.....	xv
<i>ABSTRACT</i>	xvi
BAB I PENDAHULUAN.....	1
1.1. Latar Belakang Masalah.....	1
1.2. Rumusan Masalah.....	6
1.3. Batasan Masalah.....	7
1.4. Tujuan Penelitian.....	7
1.5. Manfaat Penelitian.....	8
BAB II TINJAUAN PUSTAKA.....	9
2.1. Tinjauan Pustaka.....	9
2.2. Keaslian Penelitian.....	12

2.3. Landasan Teori.....	19
BAB III METODE PENELITIAN	29
3.1. Jenis, Sifat, dan Pendekatan Penelitian.....	29
3.2. Metode Pengumpulan Data.....	29
3.3. Metode Analisis Data.....	29
3.4. Alur Penelitian	30
BAB IV HASIL PENELITIAN DAN PEMBAHASAN.....	51
4.1. Gambaran Umum Penelitian.....	51
4.2. Pengumpulan Data.....	51
4.3. Text Preprocessing.....	52
4.4. Data Uji dan Data Validasi	54
4.5. Algoritma Winnowing	54
4.6. Jaccard Similarity.....	58
4.7. Uji Coba dan Evaluasi	61
BAB V PENUTUP.....	78
5.1. Kesimpulan.....	78
5.2. Saran	79
DAFTAR PUSTAKA	80
LAMPIRAN.....	86

DAFTAR TABEL

Tabel 3.1 Contoh data mentah <i>source code</i> bahasa pemrograman kotlin.....	34
Tabel 3.2 Hasil <i>Text preprocessing</i>	37
Tabel 3.3 Hasil Perpotongan K-Gram dengan data yang sudah dilakukan <i>Text Preprocessing</i>	40
Tabel 3.4 Hasil Perpotongan K-Gram dengan data tanpa dilakukan <i>Text Preprocessing</i>	43
Tabel 4.1 Hasil <i>Similarity</i> dan Waktu Pemrosesan Algoritma Winnowing dengan Data yang sudah dilakukan <i>Text Preprocessing</i> pada indikasi Tidak Mirip.....	63
Tabel 4.2 Hasil <i>Similarity</i> dan Waktu Pemrosesan Algoritma Winnowing dengan Data yang sudah dilakukan <i>Text Preprocessing</i> pada indikasi Mirip.....	64
Tabel 4.3 Hasil <i>Similarity</i> dan Waktu Pemrosesan Algoritma Winnowing dengan Data tanpa <i>Text Preprocessing</i> pada indikasi Tidak Mirip.....	66
Tabel 4.4 Hasil <i>Similarity</i> dan Waktu Pemrosesan Algoritma Winnowing dengan Data tanpa <i>Text Preprocessing</i> pada indikasi Mirip	67
Tabel 4.5 Hasil <i>Similarity</i> dan Waktu Pemrosesan berdasarkan Algoritma Winnowing Berdasarkan <i>Text Preprocessing</i> dan tanpa <i>Text Preprocessing</i> pada indikasi Tidak Mirip.....	69
Tabel 4.6 Hasil <i>Similarity</i> dan Waktu Pemrosesan berdasarkan Algoritma Winnowing Berdasarkan <i>Text Preprocessing</i> dan tanpa <i>Text Preprocessing</i> pada indikasi Mirip	71

DAFTAR GAMBAR

Gambar 2.1 Diagram alir dari proses k-gram.....	25
Gambar 3.1 Diagram alur penelitian bagian 1.....	31
Gambar 3.2 Diagram alur penelitian bagian 2.....	32
Gambar 3.3 Alur Jaccard <i>Similarity</i>	48
Gambar 4.1 <i>Source code</i> untuk <i>Case folding</i>	52
Gambar 4.2 <i>Source Code</i> untuk <i>Tokenizing</i>	53
Gambar 4.3 <i>Source code</i> untuk Menentukan K-Gram.....	55
Gambar 4.4 <i>Source code hashing</i> menggunakan Rolling hash.....	56
Gambar 4.5 <i>Source code</i> untuk pembuatan <i>window</i>	57
Gambar 4.6 <i>Source code</i> untuk tahap <i>Fingerprint</i>	58
Gambar 4.7 <i>Source code</i> untuk proses Jaccard <i>Similarity</i>	59
Gambar 4.8 <i>Source code</i> untuk Perhitungan Jaccard <i>Similarity</i>	60
Gambar 4.9 Grafik Perbandingan Nilai <i>Similarity</i> dengan data yang telah dilakukan <i>text preprocessing</i>	65
Gambar 4.10 Grafik Perbandingan Nilai <i>Similarity</i> dengan data tanpa <i>text</i> <i>preprocessing</i>	68
Gambar 4.11 Grafik Perbandingan Nilai <i>Similarity</i> dengan Indikasi Tidak Mirip	70
Gambar 4.12 Grafik Perbandingan Nilai <i>Similarity</i> dengan Indikasi Mirip.....	72

DAFTAR LAMPIRAN

LAMPIRAN 1. Tabel Hasil Rolling Hash berdasarkan K-Gram dengan data yang sudah dilakukan <i>Text Preprocessing</i>	86
LAMPIRAN 2. Hasil Rolling Hash berdasarkan K-Gram dengan data tanpa dilakukan <i>Text Preprocessing</i>	90
LAMPIRAN 3. Hasil Hasil Sebaran Hash pada Window berdasarkan K-Gram pada data yang sudah dilakukan <i>Text Preprocessing</i>	97
LAMPIRAN 4. Tabel Hasil Sebaran Hash pada Window berdasarkan K-Gram pada data tanpa dilakukan <i>Text Preprocessing</i>	107
LAMPIRAN 5. Tabel Hasil Fingerprint berdasarkan Window pada data yang telah dilakukan <i>Text Preprocessing</i>	121
LAMPIRAN 6. Tabel Hasil Fingerprint berdasarkan Window pada data tanpa dilakukan <i>Text Preprocessing</i>	125

INTISARI

Plagiarisme merupakan tindakan yang meniru hasil pekerjaan orang lain secara langsung maupun tidak langsung. Di lingkungan akademis, plagiarisme tidak hanya berlaku pada dokumen tekstual tetapi juga dokumen source code. Plagiarisme source code di dunia akademis biasanya terjadi ketika mahasiswa meniru kode milik mahasiswa lain dan melakukan submission seolah-olah seperti pekerjaan milik mahasiswa tersebut. Sehingga diperlukan pemeriksaan plagiarisme secara otomatis, algoritma winnowing akan digunakan untuk membantu mendeteksi kemiripan pada source code yang merupakan sebagai suatu cara untuk mendeteksi adanya suatu tindak plagiarisme.

Algoritma Winnowing yang biasanya digunakan untuk mendeteksi plagiarisme dokumen, penelitian ini mendeteksi pada source code. Hasil yang dihasilkan pada penelitian ini adalah tingkat drajat kesamaan pada dua source code akan menghasilkan nilai similarity yang berbeda-beda jika dataset yang sudah digunakan sudah melalui tahap text preprocessing atau tanpa preprocessing. Jika dataset yang digunakan sudah melalui tahap text preprocessing, nilai similaritynya akan cukup rendah dikarenakan jumlah karakter yang digunakan berkurang cukup banyak. Algoritma Winnowing dan Jaccard Similarity bekerja cukup baik untuk mendeteksi plagiarisme pada source code.

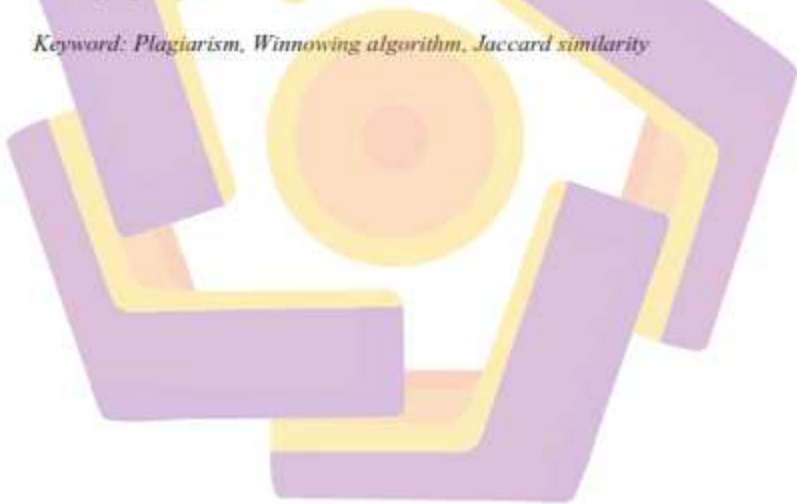
Kata kunci: Plagiarism, Winnowing algorithm, Jaccard similarity

ABSTRACT

Plagiarism is an act of imitating the work of others directly or indirectly. In academia, plagiarism occurs not only in textual documents but also in source code documents. Source code plagiarism in the academic world usually occurs when students copy another student's code and submit it as if it were the student's work. So that an automatic plagiarism check is needed, a screening algorithm will be used to help detect similarities in the source code, which is a way to see a plagiarism violation.

The Winnowing algorithm, which is usually used to detect plagiarism documents, in this study detects source code. The results produced in this study are the degree of similarity in the two source codes will make different similarity values if the dataset used has gone through the text preprocessing stage or without preprocessing. If the dataset has gone through the text preprocessing step, the similarity value will be low because the number of characters used is significantly reduced. The Winnowing Algorithm and Jaccard Similarity work well enough to detect plagiarism in source code.

Keyword: Plagiarism, Winnowing algorithm, Jaccard similarity



BAB I

PENDAHULUAN

1.1. Latar Belakang Masalah

Plagiarisme merupakan tindakan yang meniru hasil pekerjaan orang lain secara langsung maupun tidak langsung. Di lingkungan akademis, plagiarisme yang biasanya sering terjadi adalah pada dokumen tekstual seperti essay, laporan, dan bahkan penelitian. Akan tetapi, plagiarisme tidak hanya berlaku pada dokumen tekstual tetapi juga dokumen source code. Plagiarisme source code di dunia akademis biasanya terjadi ketika mahasiswa meniru kode milik mahasiswa lain dan melakukan submission seolah-olah seperti pekerjaan milik mahasiswa tersebut (Cosma & Joy, 2008).

Menurut Kamus Besar Bahasa Indonesia (KBBI), plagiarisme atau yang lebih dikenal dengan plagiat adalah pengambilan karangan (pendapat dan sebagainya) orang lain dan menjadikannya seolah-olah karangan (pendapat) sendiri. Di dalam Peraturan Menteri Pendidikan Nasional Republik Indonesia No. 17 Tahun 2010, pada pasal 1 mendefinisikan bahwa plagiat adalah perbuatan secara sengaja atau tidak sengaja dalam memperoleh atau mencoba memperoleh kredit atau nilai untuk suatu karya ilmiah, dengan mengutip sebagian atau seluruh karya dan/atau karya ilmiah pihak lain yang diakui sebagai karya ilmiahnya, tanpa menyatakan sumber secara tepat dan memadai. Istilah plagiasi sudah ada dalam dunia perkodingan namun plagiarisme pada source code adalah tugas yang mudah dilakukan, namun tidak mudah dideteksi. Biasanya, ketika siswa menyelesaikan masalah yang sama dengan menggunakan bahasa pemrograman yang sama, kemungkinan besar

penyelesaian tugasnya akan kurang lebih sama. Ada beberapa strategi modifikasi kode sumber yang dapat digunakan untuk menutupi plagiarisme kode sumber (Hage et al., 2011)

Didalam ranah ilmu komputer atau informatika, source code merupakan suatu hal yang penting untuk para programmer, karena source code merupakan bagian utama untuk membangun sebuah sistem atau aplikasi. Dalam pembuatan aplikasi, programmer memiliki banyak cara untuk membedakannya dalam penulisan kode programnya, seperti bahasa yang digunakan, library, penggunaan function, dan lain-lain. Permasalahan yang biasanya timbul di lingkungan akademis yang berkaitan dengan ilmu komputer adalah terjadinya plagiarisme di tugas-tugas pemrograman. Apalagi akhir-akhir ini banyak sekolah atau universitas yang menggunakan konsep belajar secara online, maka kesempatan untuk berbuat plagiat semakin luas karena tidak adanya pengawasan secara langsung dari pengajar. Dengan demikian, otomasi untuk mendeteksi plagiarisme pada source code yang memiliki kualitas tinggi sangat dibutuhkan untuk memenuhi kebutuhan karena jumlah mahasiswa yang terus berkembang.

Terdapat banyak penelitian yang dilakukan untuk mengatasi plagiarisme pada source code. Namun dari setiap penelitian untuk pendeteksian plagiarisme memiliki algoritma dan nilai hasil akurasi yang berbeda-beda tergantung bagaimana peneliti membentuk model untuk menyelesaikan permasalahan yang diangkat.

Berdasarkan (Cheers et al., 2021) menyatakan bahwa studi telah menunjukkan antara 50% hingga 79% mahasiswa sarjana akan menjiplak setidaknya satu kali selama karir akademis mereka. Dengan rate setinggi itu, sangat mungkin seorang

akademisi harus menilai kasus dugaan plagiarisme. Dalam mata kuliah ilmu komputer, plagiarisme sering dijumpai sebagai plagiarisme source code. Plagiarisme kode sumber terjadi ketika seorang siswa mengambil kode sumber orang lain dan mulai mengirimkannya sebagai karya mereka sendiri.

Beberapa indikator yang menjadi perhatian setiap peneliti dalam meningkatkan performa dari pendeteksian plagiarisme, menurut (Leman et al., 2019) penggunaan stemming berpengaruh terhadap akurasi nilai similaritas yang dihasilkan dengan menggunakan stemming menghasilkan nilai yang cenderung kurang baik dibandingkan tanpa menggunakan stemming. Sehingga dapat dilakukan penelitian untuk menguji apakah dengan pendeteksian menggunakan preprocessing dan tanpa preprocessing.

Penelitian oleh (Puspaningrum et al., 2020) menjelaskan bahwa algoritma winnowing mampu mendeteksi plagiarisme dalam waktu yang cukup cepat. Secara tekstual, algoritma ini sangat efektif dalam menangani copy paste dan plagiarisme relokasi. Pemilihan nilai k-gram akan mempengaruhi nilai similaritas. Nilai k-gram yang kecil akan memberikan nilai kemiripan yang lebih besar, semakin kecil substring, semakin kecil karakter akan mempengaruhi nilai hash dan dapat memberikan nilai sidik jari.

Nilai parameter k dan w sangat berpengaruh terhadap nilai similarity yang dihasilkan. Penelitian yang dilakukan oleh (Ramli et al., 2021) dengan membandingkan 2 tugas secara acak dan mendapatkan nilai similarity yang beragam. Semakin besar nilai k dan w maka semakin kecil nilai similarity yang dihasilkan dan semakin kecil nilai k dan w maka semakin besar juga nilai similarity

yang dihasilkan. Sehingga digunakan nilai $k = 2$ untuk meningkatkan peluang dalam menemukan kesamaan antara kedua sampel yang dibandingkan mengingat algoritma winnowing ini bekerja dengan cara melakukan pengecekan di setiap code yang diuji.

Penelitian oleh (Widaningrum et al., 2020) mendapatkan hasil bahwa algoritma Winnowing dapat mendeteksi plagiarisme tingkat tinggi pada dokumen, algoritma Rabin Karp pada tingkat menengah, dan algoritma Knuth Morris Pratt dapat mendeteksi plagiarisme pada tingkat rendah pada dokumen yang memiliki subjek yang sama, dengan susunan gram = 5, window = 7 dan base = 3. Hasil analisis menegaskan bahwa algoritma optimal dari ketiganya adalah algoritma Winnowing, yang menghasilkan kemiripan sebesar 94,3%. Ini juga menunjukkan akurasi tertinggi, dengan perbedaan hanya 1,19% dari pemeriksaan oleh ahli manusia, sebesar 93,11%

Menurut (Roy & Cordy, 2007) dan (Burrows et al., 2004) terdapat tiga kategori utama dalam pendekatan deteksi plagiarisme: berbasis teks, berbasis kode berorientasi atribut, dan berbasis kode berorientasi struktur. Ada dua kelompok metode untuk deteksi plagiarisme berbasis teks: ranking dan fingerprinting. Pemingkatan didasarkan pada konsep pengambilan informasi, di mana item koleksi yang diindeks diberi peringkat berdasarkan perkiraan kemiripan dengan kueri. Dalam fingerprinting, dokumen diringkas sebagai kumpulan bilangan bulat (sidik jari) kompak yang mewakili aspek-aspek kunci dari sebuah dokumen. Keuntungan dari pendekatan text-based adalah bahwa perhitungan hash dapat

disesuaikan untuk dapat mendeteksi transformasi yang umum digunakan sehingga bisa digunakan untuk kumpulan data yang besar (Tao et al., 2013).

Penelitian (Snsbatik & Samarinda, 2017) mendapatkan hasil bahwa Algoritma winnowing lebih baik digunakan untuk mendeteksi plagiarisme pada dokumen teks dengan mengurangi nilai n-gram dan jauh lebih cepat prosesnya karena winnowing menggunakan rumus rolling hash sehingga tidak perlu dilakukan perhitungan lagi dari iterasi pertama. Selanjutnya penelitian yang dilakukan oleh (Satia Budhi et al., 2017) menggunakan metode N-gram serta metode jaccard similarity coefficient dan cosine similarity coefficient sebagai metode yang digunakan untuk menghitung similarity untuk source code dalam bahasa pemrograman C++ dan mendapatkan hasil bahwa aplikasi hanya bisa menampilkan bahwa source code tersebut plagiat atau tidak plagiat.

Berdasarkan beberapa penelitian di atas, maka pada penelitian ini akan melakukan eksperimen dalam melakukan mendeteksi plagiarisme. Pada penelitian ini berfokus pada deteksi plagiarisme berbasis teks pada metode fingerprinting sehingga mengabaikan sintaks pengkodean, dan cukup membandingkan kata-kata bahasa Inggris dari kode sumber yang disediakan. Penelitian ini menggunakan Algoritma Winnowing dan melakukan pengujian menggunakan jaccard similarity. Dalam melakukan penelitian ini, algoritma winnowing akan digunakan untuk membantu mendeteksi kemiripan pada source code yang akan digunakan sebagai suatu cara untuk mendeteksi adanya suatu tindak plagiarisme dan jaccard similarity diperlukan sebagai document fingerprint. Penggunaan algoritma Winnowing digunakan untuk menguji bahwa algoritma winnowing tidak hanya bisa

digunakan untuk dokumen teks biasa namun juga bisa digunakan untuk pendeteksian plagiarisme pada source code dan bisa menghitung nilai similaritynya. Jaccard similarity dipilih sebagai algoritma yang digunakan untuk menghitung nilai *similarity* karena jaccard similarity bekerja dengan membandingkan himpunan karena secara langsung mengukur tumpang tindih antara dua himpunan, yang selaras dengan konsep perpotongan kata. Hal ini sesuai dari pernyataan (Rinartha, 2017) jaccard similarity biasanya digunakan untuk membandingkan dokumen dan menghitung nilai kemiripan (*similarity*) dari dua buah objek atau dokumen.

Pada penelitian ini nantinya akan menerapkan algoritma winnowing dengan membandingkan hasil apabila menggunakan preprocessing grammar Kotlin dan tidak menggunakan preprocessing sama sekali. Dengan demikian, dapat menghasilkan model yang lebih dapat baik terhadap berbagai macam serangan plagiarist.

1.2. Rumusan Masalah

Berdasarkan latar belakang masalah yang ada, maka rumusan masalah pada penelitian ini adalah:

- a. Bagaimana kinerja algoritma winnowing dalam melakukan pendeteksian plagiarisme pada *source code*?
- b. Berapa nilai *similarity* penggunaan algoritma winnowing terhadap deteksi plagiarisme dengan preprocessing dan tanpa preprocessing?

- c. Apakah proses *text preprocessing* mempengaruhi hasil nilai *similarity* dan performa penggunaan algoritma winnowing dalam mendeteksi tingkat kesamaan *source code*?

1.3. Batasan Masalah

Bagian ini memuat penjelasan tentang:

- Algoritma yang digunakan untuk pengujian *source code* menggunakan algoritma Winnowing.
- Dataset *source code* yang digunakan menggunakan bahasa pemrograman kotlin dengan tema 'Aplikasi Github User'
- Data yang diuji memiliki ekstensi *.kt*
- Nilai *k-gram* dan *window* yang digunakan dibatasi antara 2 sampai 10.
- Nilai basis hash yang digunakan dibatasi antara 2 sampai 30.
- Nilai *k-gram*, Basis hash dan *window* saat pengujian ditentukan oleh user
- Pada proses Rolling Hash, menggunakan nilai ASCII dari karakter
- Maksimal karakter dalam *source code* sebanyak 10.000 karakter.

1.4. Tujuan Penelitian

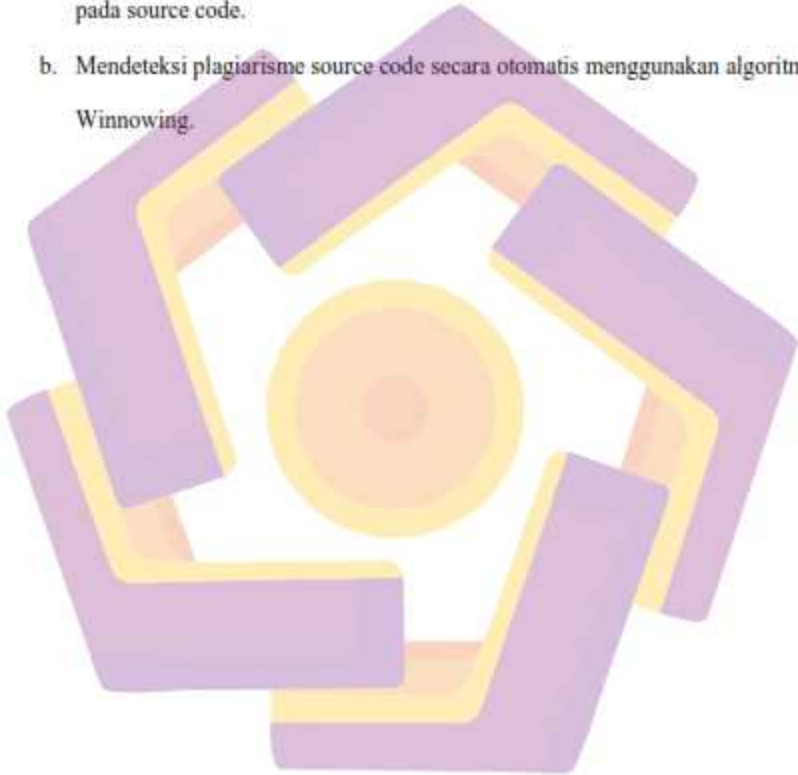
Tujuan penelitian yang diangkat berdasarkan rumusan masalah pada penelitian ini adalah sebagai berikut:

- Mengetahui apakah algoritma winnowing dapat mendeteksi plagiarisme pada *source code*
- Mengetahui seberapa besar hasil *similarity* perbandingan *source code* menggunakan algoritma winnowing

1.5. Manfaat Penelitian

Manfaat pada penelitian ini diantaranya sebagai berikut:

- a. Dapat menjadi peluang pengembangan model pada pendeteksian plagiarisme pada source code.
- b. Mendeteksi plagiarisme source code secara otomatis menggunakan algoritma Winnowing.



BAB II

TINJAUAN PUSTAKA

2.1. Tinjauan Pustaka

Penelitian terdahulu yang pernah dilakukan, relevan dan dijadikan studi literatur adalah sebagai berikut:

Penelitian yang dilakukan oleh (Awale et al., 2020) mengusulkan untuk melakukan pendekatan machine learning untuk mendeteksi plagiarisme pada tugas pemrograman. Penelitian ini melakukan perhitungan berdasarkan perbedaan fitur seperti, similarity score, jumlah variabel dan fungsi yang tidak digunakan, dll yang berasal dari source code. Algoritma yang digunakan adalah XGBoost learning algorithm dan membandingkan hasilnya dengan Support Vector Machine (SVM). Untuk dataset yang digunakan adalah menggunakan tugas pemrograman yang diserahkan oleh siswa selama dua kursus pemrograman pengantar di Universitas Sarajevo yang ditemukan online dengan bahasa pemrograman C/C++ yang setelah itu disortir untuk memisahkan pasangan yang melakukan plagiarisme dan tidak melakukan plagiarisme. Dengan model yang diciptakan mendapatkan hasil skor akurasi 94% dan skor rata-rata f1 0,905 pada set pengujian, dan jika dibandingkan dengan SVM, model menggunakan XGBoost lebih baik pada dataset yang digunakan.

Penelitian oleh (Ramli et al., 2021) menggunakan algoritma winnowing untuk mendeteksi plagiarisme pada source code pemrograman dengan menggunakan 10 tugas mahasiswa menggunakan algoritma winnowing dan mendapatkan nilai similarity yang beragam dengan membandingkan 2 tugas secara acak. Dan

mendapatkan kesimpulan bahwa nilai parameter k dan w sangat berpengaruh terhadap nilai similarity yang dihasilkan yaitu semakin besar nilai k dan w maka semakin kecil nilai similarity yang dihasilkan dan semakin kecil nilai k dan w maka semakin besar juga nilai similarity yang dihasilkan. Sehingga digunakan nilai $k = 2$ untuk meningkatkan peluang dalam menemukan kesamaan antara kedua sampel yang dibandingkan mengingat algoritma winnowing ini bekerja dengan cara melakukan pengecekan di setiap code yang diuji..

Penelitian deteksi plagiarisme yang dilakukan oleh (Widjaja & Gunawan, 2020) menggunakan algoritma Mamber dan Winnowing pada teks dokumen abstrak. Dataset yang digunakan adalah dokumen abstrak dari siswa yang telah diunggah ke internet. Dalam implementasinya penelitian ini menggunakan 2 pendekatan, yaitu pendekatan Biword dan Triword ditanamkan pada algoritma winnowing, sedangkan Biword untuk algoritma Manber. Hasil dari melakukan pengujian dengan 10 dokumen, rata-rata similarity algoritma mamber adalah 90,56% sedangkan algoritma winnowing 94%. Dan untuk algoritma winnowing dengan pendekatan triword menghasilkan akurasi 91, 22%. Sehingga pendekatan biword dan algoritma winnowing lebih baik daripada algoritma manber dan algoritma winnowing dengan pendekatan triword.

Penelitian lain yang dilakukan oleh (Widjaja & Gunawan, 2020) berlatar belakang karena proses pengecekan plagiarisme source code secara manual merupakan tugas yang repetitif, sulit, dan memerlukan waktu yang lama sehingga diperlukan otomatisasi untuk deteksi plagiarisme source code yang memiliki kualitas tinggi sangat dibutuhkan. Dataset yang digunakan pada penelitian ini adalah

menggunakan bahasa pemrograman java yang dikumpulkan dari kelas dasar pemrograman Universitas Kristen Petra, Pada penelitian ini menggunakan 3 algoritma utama, yaitu levenshtein distance, greedy string tiling, dan bigram yang akan menghasilkan 12 features dan kumpulan feature statistik. Lalu pada langkah akhir, features akan digunakan untuk memproses training maupun inference dengan model XGBoost. Hasil pengujian menunjukkan bahwa menggunakan features yang diajukan beserta preprocessing memiliki performa metrik yang lebih baik dari penelitian sebelumnya, yaitu f1-score sebesar 99%. Penerapan preprocessing juga dapat meningkatkan performa metrik pada features yang diajukan di penelitian sebelumnya.

Winnowing merupakan algoritma berbasis hashing-approach yang menerapkan hash-function dan pembentukan window untuk memperoleh fingerprints pada saat pencocokan pola, algoritma tersebut digunakan oleh (Ramdhani et al., 2022). Pada penelitian sebelumnya hanya menghitung tingkat kesamaan kata berdasarkan karakter (character-level), sedangkan perhitungan tingkat kesamaan berdasarkan kata (word-level) masih jarang dilakukan, sehingga pada penelitian ini bertujuan untuk mengukur tingkat kesamaan kata menggunakan algoritma Winnowing dan word-level trigrams. Hasil penelitian menunjukkan bahwa algoritma Winnowing yang diterapkan dapat mendeteksi kesamaan pada teks sebesar 76,84%, 52,29%, 37,40%, dan 19,29% dan dapat disimpulkan bahwa metode pencocokan pola dengan algoritma Winnowing dan word-level trigrams dapat digunakan untuk mengukur tingkat kesamaan teks.

2.2. Keaslian Penelitian

Tabel 2.1. Matriks literatur review dan posisi penelitian
Analisis Tingkat Kesamaan Source Code Pada Bahasa Pemrograman Kotlin Menggunakan Algoritma Winnowing

No	Judul	Peneliti, Media Publikasi, Dan Tahun	Tujuan Penelitian	Kesimpulan	Saran Atau Kelemahan	Perbandingan
1	Plagiarism Detection in Programming Assignments using Machine Learning	Awale, N., Pandey, M., Dulal, A., & Timsina, B, Journal of Artificial Intelligence and Capsule Networks 2020	Melakukan pendekatan machine learning untuk mendeteksi plagiarisme pada tugas pemrograman.	Dengan model yang diciptakan mendapatkan hasil skor akurasi 94% dan skor rata-rata f1 0,905 pada set pengujian, dan jika dibandingkan dengan SVM, model menggunakan XGBoost lebih baik pada dataset yang digunakan.	Meningkatkan algoritma kami dengan menggabungkan fitur berbasis kompuler (khusus untuk bahasa pemrograman) dalam model klasifikasi yang sudah dibuat.	Dataset yang digunakan adalah menggunakan tugas pemrograman yang diserahkan oleh siswa selama dua kursus pemrograman pengantar di Universitas Sarajevo yang ditemukan online dengan bahasa pemrograman C/C++ yang setelah itu disortir untuk memisahkan pasangan yang melakukan plagiarisme dan tidak melakukan plagiarisme.

Tabel 2.1. Matriks literatur review dan posisi penelitian
 Analisis Tingkat Kesamaan Source Code Pada Bahasa Pemrograman Kotlin Menggunakan Algoritma Wnnowing (Lanjutan)

No	Judul	Peneliti, Media Publikasi, Dan Tahun	Tujuan Penelitian	Kesimpulan	Saran Atau Kelemahan	Perbandingan
2	Uji Plagiarism pada Tugas Mahasiswa Menggunakan Algoritma Wnnowing	Ramli, M. S., Cokrowibowo, S., & Rustan, M. F., Journal of Applied Computer Science and Technology, 2021	Mendeteksi plagiarisme pada source code pemrograman dengan menggunakan 10 tugas mahasiswa menggunakan algoritma winnowing dan mendapatkan nilai similarity yang beragam dengan membandingkan 2 tugas secara acak	Hasil penelitian yang telah dilakukan terhadap 10 tugas mahasiswa menggunakan algoritma winnowing menghasilkan nilai similarity yang beragam sebagai persentase kesamaan antara 2 tugas yang dibandingkan. Dengan rata-rata nilai similarity keseluruhan dari 10 tugas yaitu 75,12 %	Meningkatkan peluang dalam menemukan kesamaan antara kedua sampel yang dibandingkan	Dataset yang digunakan pada penelitian ini adalah tugas mahasiswa untuk kemudian dilakukan analisis terhadap data tersebut serta hasil dari penelitian yang dilakukan sebelumnya.
3	Plagiarism detection using mamber and winnowing algorithm	Faisal, M., Nugroho, F., M El Sulthan, M., Amini, F., Hariyadi, M. A., & Sedayu, A., International Journal of Advanced Science and Technology, 2020	Untuk menggunakan algoritma Mamber dan Winnowing dalam mendeteksi plagiarisme pada teks dokumen abstrak	Hasil dari melakukan pengujian dengan 10 dokumen, rata-rata similarity algoritma mamber adalah 90,56% sedangkan algoritma winnowing 94%. Dan untuk algoritma winnowing dengan pendekatan triword menghasilkan akurasi 91, 22%.	Pendekatan biword dan algoritma winnowing lebih baik daripada algoritma mamber dan algoritma winnowing dengan pendekatan triword.	Pada penelitian ini dilakukan penelitian menggunakan algoritma Mamber dan Winnowing dalam mendeteksi plagiarisme.

Tabel 2.1. Matriks literatur review dan posisi penelitian
 Analisis Tingkat Kesamaan Source Code Pada Bahasa Pemrograman Kotlin Menggunakan Algoritma Winnowing (Lanjutan)

No	Judul	Peneliti, Media Publikasi, Dan Tahun	Tujuan Penelitian	Kesimpulan	Saran Atau Kelemahan	Perbandingan
4	Deteksi Plagiarisme pada Kode Bahasa Pemrograman Java menggunakan XGBoost.	Widjaja, T., Gunawan, A., & Liliانا, L., <i>Jurnal Infra</i> , 2022	Berlatar belakang oleh proses pengecekan plagiarisme source code secara manual merupakan tugas yang repetitif, sulit, dan memerlukan waktu yang lama sehingga diperlukan otomatisasi untuk deteksi plagiarisme source code yang memiliki kualitas tinggi sangat dibutuhkan.	Dengan menggunakan features yang diajukan beserta preprocessing memiliki performa metrik yang lebih baik dari penelitian sebelumnya, yaitu f1-score sebesar 99%. Penerapan preprocessing juga dapat meningkatkan performa metrik pada features yang diajukan di di penelitian sebelumnya	Membuat dataset yang lebih banyak dalam hal kuantitas maupun variasi serangan plagiat sehingga dapat membuat sebuah model yang dapat mengakomodasi lebih banyak jenis variasi serangan plagiat	Algoritma yang digunakan pada penelitian ini untuk menghitung pairwise features dengan menggunakan 3 algoritma utama, yaitu levenshtein distance, greedy string tiling, dan bigram yang akan menghasilkan 12 features dan kumpulan feature statistik. Di langkah akhir, features akan digunakan untuk proses training maupun inference pada model XGBoost.

Tabel 2.1. Matriks literatur review dan posisi penelitian
 Analisis Tingkat Kesamaan Source Code Pada Bahasa Pemrograman Kotlin Menggunakan Algoritma Winnowing (Lanjutan)

No	Judul	Peneliti, Media Publikasi, Dan Tahun	Tujuan Penelitian	Kesimpulan	Saran Atau Kelemahan	Perbandingan
5	Increasing K-means clustering algorithm effectivity for using in source code plagiarism detection.	Hrkút, P., Đuračik, M., Mikušová, M., Callejas-Cuervo, M., & Zakowska, J., <i>International Conference on Smart Technologies, Systems and Applications, 2022</i>	Bertujuan untuk membuat sistem seperti itu untuk menemukan plagiarisme dalam kumpulan data kode sumber yang besar	Selama menjalankan sistem, komponen utama adalah database yang digunakan untuk mencari kecocokan kode sumber dan pengujian panjang rata-rata satu siklus dari algoritma, yang berarti menugaskan vektor ke klaster dan penghitungan ulang pusat serta menetapkan jumlah cluster menjadi 100.	Proses evaluasi plagiarisme yang rumit dan ketidakmampuan untuk menggunakan basis skala besar.	Pada penelitian ini dilakukan penelitian menggunakan Algoritma K-Means Clustering mendeteksi plagiarisme.
6	Detection of text similarity for indication plagiarism using winnowing algorithm based K-gram and jaccard coefficient.	Puspuningrum, E. Y., Nugroho, B., Setiawan, A., & Hariyanti, N., <i>Journal of Physics: Conference Series, 2020</i>	Untuk mendeteksi kesamaan teks. Semakin banyak kesamaan kata maka semakin terindikasi dokumen tersebut plagiarisme.	Menunjukkan bahwa penyesuaian nilai k-gram dan window dapat mempengaruhi hasil akhir dari nilai persentase kemiripan. Semakin kecil nilai k-gram maka semakin besar nilai persentase	Penggunaan algoritma ini untuk mendeteksi plagiarisme memerlukan pengecekan lebih lanjut terhadap file yang akan diproses, karena membutuhkan file teks tanpa kesalahan penulisan	Data yang digunakan adalah abstrak jurnal berbahasa Indonesia. Input sistem ini adalah abstrak di jurnal berbahasa Indonesia. Pengujian data bersifat abstrak dengan membandingkan kumpulan data dalam database

Tabel 2.1. Matriks literatur review dan posisi penelitian
 Analisis Tingkat Kesamaan Source Code Pada Bahasa Pemrograman Kotlin Menggunakan Algoritma Winnowing (Lanjutan)

No	Judul	Peneliti, Media Publikasi, Dan Tahun	Tujuan Penelitian	Kesimpulan	Saran Atau Kelemahan	Perbandingan
7	Rabin karp and Winnowing algorithm for Statistics of text document plagiarism detection.	Leman, D., Rahman, M., Ikorasaki, F., Riza, B. S., & Akbbar, M. B., <i>International Conference on Cyber and IT Service Management (CITSM)</i> , 2019	Bertujuan untuk membangun sistem pendeteksi plagiarisme pada dokumen teks menggunakan algoritma Rabin-Karp secara otomatis. Input dalam aplikasi yang dibangun berupa dokumen teks yang berekstensi .txt.	Penggunaan stemming berpengaruh terhadap akurasi nilai similaritas yang dihasilkan. Menggunakan stemming menghasilkan nilai yang cenderung kurang baik dibandingkan tanpa menggunakan stemming. Namun pada kasus tertentu seperti mengubah bentuk kalimat algoritma Rabin-Karp yang disisipkan ke dalam stemming menghasilkan akurasi nilai kemiripan yang lebih baik.	Aplikasi pendeteksi plagiarisme yang dibangun dapat digunakan untuk menghitung perhitungan plagiarisme berdasarkan tingkat kemiripan huruf, angka dan simbol per karakter	Pada penelitian ini dilakukan penelitian gabungan dengan menggunakan algoritma Rabin karp dan winnowing dalam mendeteksi plagiarisme untuk dokumen teks.
8	Code Plagiarism Detection Method Based on Code Similarity and Student Behavior Characteristics.	Huang, Q., Song, X., & Fang, G., <i>IEEE International Conference on Artificial Intelligence and Computer Applications (ICAICA)</i> , 2020	Mengklasifikasi masalah deteksi plagiarisme sebagai masalah klasifikasi biner dan menggunakan LightGBM untuk mengambil keputusan.	Setelah dilakukan penelitian mode LightGBM lebih baik daripada algoritma lainnya dikarenakan nilai F1 dan akurasinya cukup tinggi. Hasil menunjukkan bahwa akurasi mendekati 99% dan skor F1 mendekati 98%.	Algoritma LightGBM berdasarkan kesamaan kode dan karakteristik perilaku siswa, dapat memperoleh hasil yang lebih baik.	Menggunakan LightGBM untuk pendeteksian plagiarisme source code.

Tabel 2.1. Matriks literatur review dan posisi penelitian
 Analisis Tingkat Kesamaan Source Code Pada Bahasa Pemrograman Kotlin Menggunakan Algoritma Winnowing (Lanjutan)

No	Judul	Peneliti, Media Publikasi, Dan Tahun	Tujuan Penelitian	Kesimpulan	Saran Atau Kelemahan	Perbandingan
9	Source-Code Similarity Measurement: Syntax Tree Fingerprinting for Automated Evaluation.	Verma, A., Udhayanan, P., Shankar, R. M., KN, N., & Chakrabarti, S. K., <i>The First International Conference on AI-ML-Systems</i> , 2021	Membangun sistem yang meniru evaluasi manual tugas pemrograman berdasarkan struktur dan bukan output dari program menggunakan kesamaan struktural antara program yang diberikan oleh solusi referensi. Menyajikan pendekatan ML untuk memetakan skor prediksi sistem ke skor menggunakan rubrik.	Nilai error yang dihitung untuk setiap pernyataan masalah adalah mean absolute error (MAE) untuk akurasi dan root mean squared error (RMSE) untuk presisi. Penelitian ini mendapatkan nilai mean absolute error secara konsisten berada di bawah 0,06 dan kesalahan yang dilaporkan serendah 12 persen dengan penyimpangan sekitar 3 persen, menunjukkan bahwa skor yang dihasilkan secara otomatis berkorelasi tinggi dengan skor yang diberikan instruktur. Hasil tersebut bisa dianggap memuaskan untuk tujuan penilaian struktural.	Evaluasi masalah pemrograman berukuran kecil dalam kursus pemrograman dasar, sehingga kompleksitasnya tidak mempengaruhi kinerjanya dalam skenario yang dimaksud.	Model yang digunakan adalah SSM, Structural Similarity Measurement, sebagai sistem untuk mengevaluasi tugas pemrograman siswa. Sistem menilai penugasan berdasarkan kesamaan struktural yang dimilikinya dengan solusi referensi yang diberikan

Tabel 2.1. Matriks literatur review dan posisi penelitian
 Analisis Tingkat Kesamaan Source Code Pada Bahasa Pemrograman Kotlin Menggunakan Algoritma Wnnowing (Lanjutan)

No	Judul	Peneliti, Media Publikasi, Dan Tahun	Tujuan Penelitian	Kesimpulan	Saran Atau Kelemahan	Perbandingan
10	Penerapan Algoritma Wnnowing dan Word-Level Trigrams Untuk Mengidentifikasi Kesamaan Kata	Ramdhani, R., Fadil, A., & Sunardi, S., <i>JURIKOM (Jurnal Riset Komputer)</i> , 2022	Menemukan kesamaan kata pada teks menggunakan algoritma wnnowing. Wnnowing merupakan algoritma berbasis hashing-approach yang menerapkan hash-function dan pembentukan window untuk memperoleh fingerprints pada saat pencocokan pola.	Hasil penelitian menunjukkan bahwa algoritma Wnnowing yang diterapkan menggunakan word-level trigrams dapat mendeteksi kesamaan pada teks sebesar 76,84%, 52,29%, 37,40%, dan 19,29%. Dari hasil penelitian dapat disimpulkan bahwa metode pencocokan pola dengan algoritma Wnnowing dan word-level trigrams dapat digunakan untuk mengukur tingkat kesamaan teks.	Dapat dikembangkan lagi untuk mendeteksi kesamaan kata pada dua dokumen karya ilmiah menggunakan algoritma pencocokan pola lainnya seperti algoritma Boyer-Moore Horspool, dll serta penelitian dapat diperluas dengan melakukan penandaan lokasi similitas pada teks menggunakan algoritma hybrid	Penelitian ini menggunakan perhitungan tingkat kesamaan berdasarkan kata (word-level) yang jarang digunakan.

2.3. Landasan Teori

2.3.1. Source code

Kode program adalah suatu rangkaian pernyataan atau deklarasi yang ditulis dalam bahasa pemrograman komputer yang terbaca manusia. Kode program yang menyusun suatu program biasanya disimpan dalam satu atau lebih berkas teks, dan dapat pula ditampilkan dalam bentuk cuplikan kode (code snippet) yang dicetak pada buku atau media lainnya.

Berdasarkan (Bebbington, 2014) source code dituliskan dalam satu atau lebih bahasa pemrograman. Tujuan dari pemrograman adalah untuk menemukan urutan instruksi yang secara otomatis melakukan tugas tertentu atau memecahkan suatu masalah. Proses pemrograman yang demikian itu seringkali membutuhkan kemampuan tinggi di banyak subjek yang berbeda, termasuk pengetahuan akan domain dari aplikasi, algoritma khusus, dan logika formal.

Kegiatan-kegiatan yang terkait dengan pemrograman adalah pengujian, men-debug, dan mengurus source code, implementasi dalam pembangunan sistem, dan manajemen seperti mesin kode program komputer. Hal ini bisa dianggap sebagai bagian dari proses pemrograman, tetapi seringkali sebutan software development digunakan untuk proses yang lebih besar, sedangkan istilah programming, implementation, atau coding digunakan untuk penulisan source code yang sesungguhnya. Rekayasa perangkat lunak menggabungkan rekayasa teknik dengan pengembangan perangkat lunak.

2.3.2. Plagiarisme

Pengertian Plagiarisme menurut Pasal 1 angka 1 Permendiknas 17/2010 adalah perbuatan baik sengaja maupun tidak sengaja memperoleh atau berusaha memperoleh kredit atau nilai suatu karya ilmiah, dengan mengutip sebagian atau seluruh karya dan/atau karya ilmiah pihak lain dan diakui karya ilmiahnya, tanpa mencantumkan sumbernya, secara tepat dan memadai.

Terdapat beberapa pendekatan yang digunakan untuk mengukur kesamaan dua program dapat diklasifikasikan secara luas berdasarkan aspek program yang dibandingkan. Pendekatan yang dimaksud adalah struktural, semantik, dan perilaku. Pendekatan struktural dengan mengidentifikasi dari struktur umum dari *source code*, pada pendekatan ini biasanya dengan cara mengidentifikasi dengan membandingkan rangkaian token leksikal, yang mewakili struktur kode sumber dalam kaitannya dengan elemen leksikal yang penting (Joy & Luck, 1999).

Selanjutnya terdapat pendekatan semantik adalah mengukur kesamaan melalui makna kode sumber. Hal ini melalui analisis semantik, yaitu menganalisis kode sumber untuk mengekstrak informasi yang tidak diungkapkan melalui tata bahasa suatu bahasa pemrograman. Pendekatan semantik biasanya menganalisis suatu program melalui grafik ketergantungan program (Ferrante et al., 1987).

Lalu terdapat pendekatan yang terakhir yaitu pendekatan perilaku, menganalisis perilaku runtime suatu program. Ada beragam teknik yang diterapkan untuk mengidentifikasi kesamaan perilaku. Hal ini dapat dilakukan dengan menganalisis kesetaraan fungsional suatu program (Li et al., 2016), penggunaan data saat runtime (Jhi et al., 2011), mengidentifikasi interaksi serupa dengan

lingkungan eksekusi (Anjali et al., 2015), atau mengidentifikasi logika program yang serupa (Luo et al., 2017). Pendekatan tersebut didasarkan pada asumsi bahwa perilaku suatu program merupakan fitur pengidentifikasi yang unik, dan bahwa perilaku yang serupa menunjukkan program yang serupa.

(Purwitasari et al., 2011) menyatakan bahwa plagiarisme adalah mengambil karya orang lain dan dipublikasikan sebagai penyebabnya seseorang mengabaikan kehormatan, mengabaikan kejujuran, cenderung menipu dan memandang rendah orang lain.

Berikut beberapa jenis teknik plagiarisme yang dikenal selama ini:

- a. *Word-for-word plagiarism*: menyalin setiap kata secara langsung tanpa diubah sedikitpun
- b. *Plagiarism of the form of a source*: menyalin dan menulis ulang kode-kode program tanpa mengubah struktur dan jalannya program
- c. *Plagiarism of authorship*: mengakui hasil karya orang lain sebagai hasil karya sendiri dengan cara mencantumkan nama sendiri menggantikan nama pengarang sebenarnya.

Ada banyak cara yang dapat diterapkan untuk melakukan transformasi atas suatu kode program. Dua strategi yang paling umum untuk melakukan transformasi ini adalah

- a. Transformasi leksikal

Perubahan leksikal adalah perubahan pada kode program (source code). Untuk melakukan transformasi ini, tidak diperlukan pengetahuan akan

bahasa pemrograman yang digunakan dalam kode program (source code) tersebut. Transformasi jenis ini meliputi:

1. Komentar diubah (ditambah, dikurangi, atau diganti)
2. Format penulisan atau identasi program diubah
3. Nama variable atau identifier diubah

b. Transformasi struktural

Perubahan struktural adalah perubahan pada struktur program. Untuk melakukan transformasi ini, diperlukan pengetahuan akan bahasa pemrograman yang digunakan dalam kode program (source code) tersebut. Metode ini sangat bergantung pada keahlian seseorang dalam menggunakan bahasa pemrograman tersebut. Transformasi ini meliputi:

1. pengubahan urutan metode yang tidak mengubah jalannya program
2. prosedur diubah menjadi fungsi dan sebaliknya
3. pemanggilan prosedur/fungsi diganti dengan isi prosedur/fungsi itu sendiri
4. pengubahan bentuk pengulangan yang digunakan (repeat..until menjadi while..do)
5. penggunaan switch..case untuk menangani nested if

2.3.3. Algoritma Winnowing

Algoritma Winnowing adalah algoritma untuk menghasilkan suatu deret bilangan unik (fingerprint) yang mewakili suatu dokumen. (Schleimer et al., 2003) dengan fingerprint tersebut kita bisa mengetahui tingkat kemiripan satu dokumen dengan dokumen yang lain. Document fingerprinting merupakan metode yang digunakan untuk mendeteksi keakuratan salinan antar dokumen atau hanya

sebagian teks saja. Prinsip kerja dari metode document fingerprinting ini adalah dengan menggunakan teknik hashing. Teknik hashing adalah sebuah fungsi yang mengkonversi setiap string menjadi bilangan. Proses ini ditujukan agar dapat mengidentifikasi kemiripan, termasuk bagian-bagian kecil yang mirip dalam dokumen yang berjumlah banyak

Secara garis besar, algoritma Wnnowing bekerja sebagai berikut:

1. Membuang karakter-karakter yang tidak relevan seperti spasi, tanda baca maupun artikel atau kata yang tidak penting, misalnya kata sambung. Langkah ini sesuai dengan syarat algoritma pendeteksi penjiplakan yaitu whitespace insensitivity dan noise suppression.
2. Membentuk rangkaian k-gram dari teks. Semisal ditentukan $n = 6$, maka akan dihasilkan sekumpulan gram atau string yang berukuran 6.
3. Melakukan fungsi hash untuk setiap gram. Persamaan (1) adalah perhitungan fungsi hash dari algoritma winnowing

$$H_{(c_1..c_k)} = c_1 * b^{k-1} + c_2 * b^{k-2} + c_{k-1} * b^1 + c_k$$

$$H_{(c_2..c_{k+1})} = (H_{(c_1..c_k)} - c_1 * b^{k-1}) * b + c_{k+1} \dots (1)$$

Keterangan:

H = nilai hash,

c = karakter pada gram,

b = bilangan basis,

k = jumlah karakter gram.

4. Membuat himpunan-himpunan yang disebut window yang terdiri dari i nilai hash. Jika $i = 6$, maka di dalam satu window terdapat 6 nilai hash.
5. Memilih fingerprint dari hasil hashing dengan pembagian hasil hash berdasarkan satu nilai window w , dan kemudian dipilih nilai hash terkecil dari setiap window tersebut.

Langkah b – e, berkaitan dengan syarat *Position Independence*. Dengan membentuk fingerprint dari sebuah dokumen teks, maka dapat dilakukan komparasi dengan fingerprint dokumen lainnya tanpa menghiraukan posisi dari fingerprint tersebut.

2.3.4. K-Grams

K-Gram adalah rangkaian terms dengan panjang K . Kebanyakan yang digunakan sebagai terms adalah kata. KGram merupakan sebuah metode yang diaplikasikan untuk pembangkitan kata atau karakter. Metode K-Gram ini digunakan untuk mengambil potongan-potongan karakter huruf sejumlah k dari sebuah kata yang secara kontinuas dibaca dari teks sumber hingga akhir dari dokumen.

Berikut ini adalah contoh diagram alir dari proses k-gram:



Gambar 2.1 Diagram alir dari proses k-gram

2.3.5. Rolling Hash

Perhitungan-perhitungan nilai-nilai hash dari setiap gram merupakan fungsi yang digunakan untuk menghasilkan nilai hash dari rangkaian gram dalam algoritma WInnowing adalah rolling hash. Rolling Hash adalah suatu cara untuk mentransformasi sebuah *string* menjadi suatu nilai yang unik dengan panjang tertentu (*fixed-length*) yang berfungsi sebagai penanda *string* tersebut. Fungsi untuk menghasilkan nilai ini disebut fungsi hash, sedangkan nilai yang dihasilkan disebut nilai hash.

2.3.6. Jaccard Similarity

Penelitian yang pernah dilakukan (Barrón-Cedeno et al., 2009) dengan melakukan perbandingan berbagai metode untuk mengukur kesamaan antar teks, terdapat 7 metode pengukuran kesamaan teks yang meliputi *vector space*, *fingerprinting*, and *probabilistic models*. Mendapatkan hasil bahwa Jaccard, Cosine and Machine Translation memiliki kualitas yang bisa dibilang sama dalam hal Recall, FHM dan sep. Karena kesederhanaannya, Jaccard similarity tampaknya menjadi pilihan terbaik dalam mengukur kesamaan antar teks.

Jaccard Similarity memiliki kelebihan dalam mengukur tingkat kesamaan umum berdasarkan term-matching yang baik pada plagiarisme tanpa penulisan ulang dan kebingungan rendah, serta menghasilkan kinerja presisi tinggi (Haddi et al., 2013) Algoritma WInnowing bekerja dengan memecah dokumen menjadi kumpulan data (urutan kata yang berdekatan) sehingga Jaccard similarity adalah pilihan yang tepat untuk membandingkan himpunan karena secara langsung mengukur tumpang tindih antara dua himpunan, yang selaras dengan konsep perpotongan kata.

Untuk menghitung similarity dari source code yang akan dibandingkan maka digunakan Jaccard Similarity yang dapat digunakan untuk mengukur kemiripan antara dua set data. Jaccard similarity melakukan kalkulasi dengan menghitung seberapa banyak data yang sama antara dua buah set yang dibagi dengan jumlah elemen unik di kedua set (Gomaa & Fahmy, 2013). Jaccard similarity memiliki nilai di antara 0 – 1, semakin tinggi maka kedua set tersebut akan semakin mirip.

Persamaan (2) adalah persamaan untuk menghitung jaccard *similarity*. Di persamaan tersebut terdapat 2 buah set, yaitu set A dan set B.

$$J(A, B) = \frac{|A \cap B|}{|A \cup B|} = \frac{|A \cap B|}{|A| + |B| - |A \cap B|} \quad (3)$$

Keterangan:

J = Jaccard *Similarity*

A = Source code 1

B = Source code 2

2.3.7. Text Preprocessing

Text Preprocessing merupakan tahapan dari proses awal terhadap teks untuk mempersiapkan teks menjadi data yang akan diolah lebih lanjut. Tujuan dari *text preprocessing*, yakni menghasilkan sebuah set *term index* yang bisa mewakili dokumen (Sanjaya, 2008). Teks yang sudah diperoleh akan melakukan tahapan dari *text preprocessing* terlebih dahulu untuk mendapatkan teks yang sudah siap diolah. Proses ini terdiri dari beberapa tahap pembersihan dokumen berikut ini (Purbo, 2019):

- a. *Tokenizing* merupakan proses penguraian deskripsi yang semula berupa kalimat menjadi kata
- b. *Filtering* adalah tahap mengambil kata penting dari hasil proses token. Bisa menggunakan algoritma *stoplist* atau *word list*. *Filtering* dapat juga diartikan sebagai proses mengambil kata – kata penting dari hasil proses token atau penghapusan *stopwords*. *Stopwords* merupakan kosa kata yang bukan merupakan ciri (kata unik) dari suatu dokumen

- c. *Stemming* merupakan tahap untuk mencari *root* kata dari hasil *filtering*. *Stemming* adalah proses pemetaan dan penguraian berbagai bentuk (*variants*) dari suatu kata menjadi bentuk kata dasarnya (*stem*)
- d. *Tagging* merupakan tahap untuk mencari bentuk awal/*root* dari tiap kata lampau atau hasil dari proses *stemming*. Terdapat beberapa kata lampau yang dikembalikan ke bentuk awal, misalkan pada data pesan dengan kata "won" diubah ke bentuk awal menjadi "win"
- e. *Analyzing* merupakan tahap penentuan seberapa jauh keterhubungan antar suatu kata atau term terhadap suatu dokumen atau kalimat dengan menghitung nilai/bobot keterhubungan

Pada penelitian ini akan menggunakan *stemming* dan *tokenizing*. *Stemming* digunakan untuk menghapus bagian-bagian yang cenderung statis dan sama untuk semua code seperti deklarasi *package*, deklarasi *class*, deklarasi *main function*. Hal tersebut dilakukan agar bagian yang umum tidak memengaruhi penilaian apakah suatu source code plagiat atau tidak plagiat. *Tokenizing* berfungsi untuk mengelompokkan tiap token dari source code menjadi beberapa kategori.

BAB III

METODE PENELITIAN

3.1. Jenis, Sifat, dan Pendekatan Penelitian

Penelitian ini masuk kedalam penelitian eksperimental dengan melakukan pengujian terhadap pendeteksian plagiarisme pada source code dengan membandingkan hasil dengan atau tanpa preprocessing. Untuk mengetahui hal tersebut diperlukan untuk menghitung nilai similarity menggunakan Jaccard Similarity yang dapat digunakan untuk mengukur kemiripan antara dua set data.

Sifat pada penelitian ini adalah deskriptif, karena hasil yang akan dijabarkan dari penelitian ini merupakan hasil pengujian pada dataset untuk mengetahui berapa besar nilai similarity yang dihasilkan menggunakan algoritma winnowing.

Penelitian ini menggunakan pendekatan kuantitatif yang nantinya hasil dari penelitian ini berupa angka yaitu nilai similarity source code yang dibandingkan.

3.2. Metode Pengumpulan Data

Data yang digunakan dalam penelitian ini adalah *source code* dengan bahasa pemrograman kotlin yang diperoleh dari github dengan tema yang sama lalu dibagi menjadi masing-masing 10 sampel dengan indikasi mirip dan tidak mirip.

3.3. Metode Analisis Data

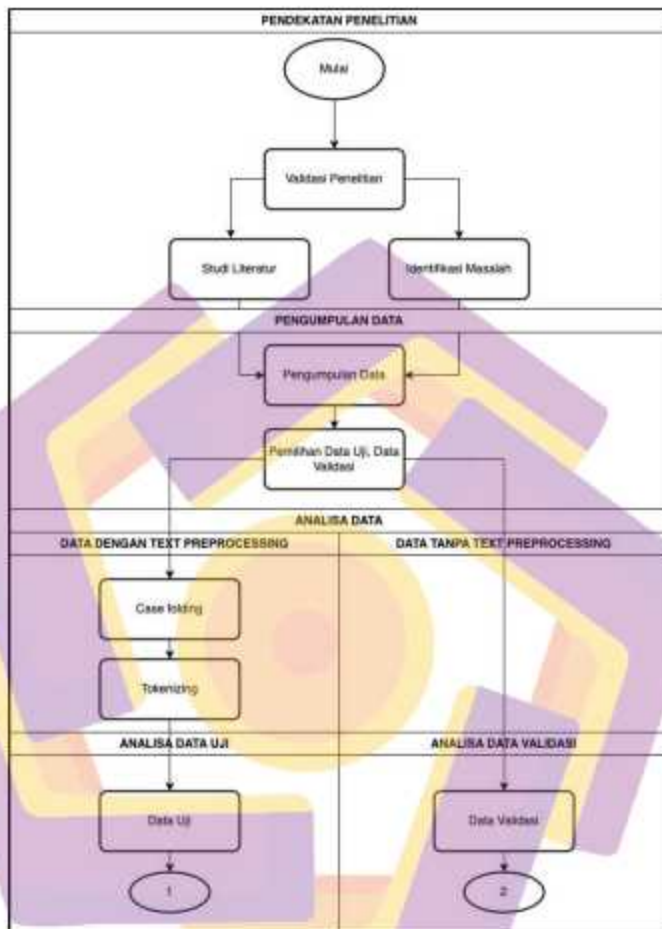
Pada tahapan analisis data yang dilakukan pertamakali yaitu melakukan pengumpulan data. Dataset diperoleh dari Github dengan bahasa pemrograman kotlin dengan tema "Aplikasi GitHub User". Kemudian dipilih secara manual source code yang memiliki kode yang mendekati plagiarisme atau tidak. Kemudian data tersebut akan diproses menggunakan text preprocessing akan menggunakan

stemming dan tokenizing. Stemming digunakan untuk menghapus bagian-bagian yang cenderung statis dan sama untuk semua code seperti deklarasi package, deklarasi class, deklarasi main function. Hal tersebut dilakukan agar bagian yang umum tidak memengaruhi penilaian apakah suatu source code plagiat atau tidak plagiat. Tokenizing berfungsi untuk mengelompokkan tiap token dari source code menjadi beberapa kategori. Kategori-kategori tersebut adalah whitespace, comments, strings, operators, keywords, functions, variables, and numbers. Lalu akan dilakukan pembentukan k-grams, menghitung nilai hash menggunakan rolling hash.

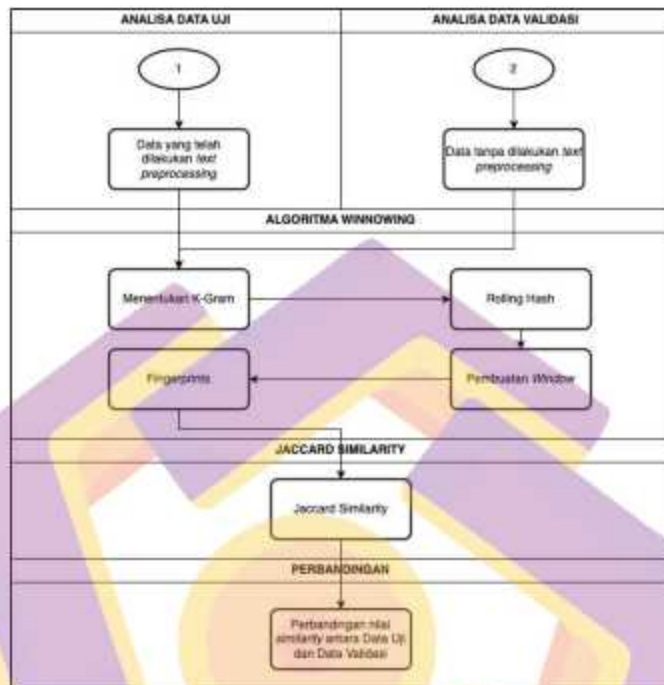
Hasil nilai hash tersebut nantinya akan dibandingkan setelah mendapatkan nilai fingerprint dari masing-masing source code. Setelah itu akan dihitung nilai similarity nya menggunakan jaccard similarity.

3.4. Alur Penelitian

Alur penelitian dibentuk untuk mempermudah proses pada penelitian . Alur penelitian dimulai dari pendekatan penelitian, pengumpulan data, analisa data, algoritma winnowing, jaccard similarity, dan perbandingan. Alur dari penelitian ini dapat diperhatikan pada Gambar 3.1 dan 3.2 dibawah ini:



Gambar 3.1 Diagram alur penelitian bagian 1



Gambar 3.2 Diagram alur penelitian bagian 2

Berikut penelitian pada alur penelitian pada Gambar 3.1 dan 3.2 dijelaskan pada beberapa poin menurut dari alur penelitian tersebut dan terdapat beberapa proses alur penelitian yang di jelaskan lebih detail seperti pada proses alur algoritma Winnower dan Jaccard *Similarity*. Penjelasan sebagai berikut:

3.4.1. Pendekatan Penelitian (Validasi Penelitian, Studi Literatur, Identifikasi Masalah)

Tahap awal penelitian yaitu melakukan validasi penelitian tentang permasalahan serta studi literatur untuk mengetahui masalah yang akan di analisa serta penggunaan algoritma yang tepat berdasarkan studi literatur sehingga dalam

pemilihan algoritma tersebut didasarkan pada hasil ilmu yang dianalisa oleh penelitian sebelumnya.

3.4.2. Pengumpulan Data (Pemilihan Data Uji, Data Validasi)

Source code bahasa pemrograman kotlin merupakan populasi pada penelitian ini. Mengingat jumlah *source code* bahasa pemrograman kotlin pada Github sangat banyak sehingga hanya mengambil dari tema "Aplikasi Github User" yang merupakan tema dari *submission* untuk sertifikasi kelas pemrograman kotlin. Dat sampel pada penelitian ini terdapat masing-masing 10 sampel pada indikasi mirip dan tidak mirip. Pada 10 sampel tersebut terdapat 2 *source code* yang akan dibandingkan nilai *similarity*nya. Setiap sampel memiliki masing-masing 2 *source code* yang akan dibandingkan. Pengambilan sampel menggunakan *white box sampling* yang memungkinkan para ilmuwan mengambil sampel titik-titik terputus dalam fungsi keluaran secara selektif dan efisien, dengan mempertimbangkan batasan kesalahan masukan. *White box sampling* bekerja dengan menganalisis eksekusi program dan dapat melakukan menentukan sampel dengan pertimbangan tertentu (Bao et al., 2012). Pengumpulan data dilakukan dengan dua tipe data yaitu data uji dan data validasi, untuk kedua data didapat dengan mengambil *source code* dari Github yang telah dipilih secara manual untuk dibandingkan dengan kategori *source code* mirip dan tidak mirip. Berikut ditampilkan data *source code* yang telah didapatkan pada Tabel 3.1

Tabel 3.1 Contoh data mentah *source code* bahasa pemrograman kotlin

Sampel	Source code 1	Source code 2	Indikasi
Sampel 1	<pre> package com.sidratul.finaSubmissionBfaa adapter import android.view.LayoutInflater import android.view.ViewGroup import androidx.recyclerview.widget.Recy clerView import com.bumptech.glide.Glide import com.sidratul.finaSubmissionBfaa .databinding.ItemRowUsersBinding import com.sidratul.finaSubmissionBfaa .db.User class UserAdapter : RecyclerView.Adapter<UserAdapte r.ViewHolder>() { private val list = ArrayList<User>() private var onItemClickCallback: OnItemClickListener? = null override fun onCreateViewHolder(parent: ViewGroup, viewType: Int): ViewHolder { val view = ItemRowUsersBinding.inflate(Layo utInflater.from(parent.context), parent, false) return ViewHolder(view) } override fun onBindViewHolder(holder: ViewHolder, position: Int) { holder.bindItem(list[position]) } override fun getItemCount(): Int = list.size inner class ViewHolder(private val binding: ItemRowUsersBinding): RecyclerView.ViewHolder(binding.r oot) { fun bindItem(user: User){ binding.root.setOnClickListener { </pre>	<pre> package com.iman.fundamental_submission3 iman.MainActivity import android.annotation.SuppressLint import android.view.LayoutInflater import android.view.ViewGroup import androidx.recyclerview.widget.Recy clerView import com.bumptech.glide.Glide import com.iman.fundamental_submission3 .iman.databinding.ItemRowUsersBindi ng import com.iman.fundamental_submission2 .iman.model.User class UserAdapter : RecyclerView.Adapter<UserAdapte r.ViewHolder>() { private val list = ArrayList<User>() private var onItemClickCallback: OnItemClickListener? = null override fun onCreateViewHolder(parent: ViewGroup, viewType: Int): ViewHolder { val view = ItemRowUsersBinding.inflate(Layo utInflater.from(parent.context), parent, false) return ViewHolder(view) } override fun onBindViewHolder(holder: ViewHolder, position: Int) { holder.bindItem(list[position]) } override fun getItemCount(): Int = list.size inner class ViewHolder(private val binding: ItemRowUsersBinding): RecyclerView.ViewHolder(binding.root) { fun bindItem(user: User){ binding.root.setOnClickListener { onItemClickListener?.onItemClicked(u ser) </pre>	<p>Mirip</p>

Tabel 3.2 Contoh data mentah *source code* bahasa pemrograman kotlin
(Lanjutan)

	<pre> onItemClickCallback?.onItemClick ed(user) } binding.apply { tvitemUsername.text = user.login tvitemUrl.text = user.url Glide.with(itemView) .load(user.avatar_url) .centerCrop() .into(imgitemPhoto) } } } fun setList(users: ArrayList<User>) { list.clear() list.addAll(users) notifyDataSetChanged() } fun setOnItemClickListener(onItemClick Callback: onItemClickCallback) { this.onItemClickCallback = onItemClickCallback } interface onItemClickCallback{ fun onItemClick(user: User) } </pre>	<pre> } binding.apply { tvitemUsername.text = user.login tvitemUrl.text = user.url Glide.with(itemView) .load(user.avatar_url) .centerCrop() .into(imgitemPhoto) } } } fun setList(users: ArrayList<User>){ list.clear() list.addAll(users) notifyDataSetChanged() } fun setOnItemClickListener(onItemClick Callback: onItemClickCallback) { this.onItemClickCallback = onItemClickCallback } interface onItemClickCallback{ fun onItemClick(user: User) } </pre>	
Sampel 2	<pre> package com.example.githubusersubmission import androidx.appcompat.app.AppCompatActivity import android.os.Bundle import android.widget.ImageView import android.widget.TextView class DetailActivity : AppCompatActivity() { companion object { const val DETAIL_USER = "detail_user" } } </pre>	<pre> package com.gopat.aplikasigithubuser import androidx.appcompat.app.AppCompatActivity import android.os.Bundle import android.view.MenuItem import com.bumptech.glide.Glide import kotlinx.android.synthetic.main.activity_detail.* class DetailActivity : AppCompatActivity() { companion object{ const val USER = "user" } } </pre>	Tidak Mirip

Tabel 3.3 Contoh data mentah *source code* bahasa pemrograman kotlin
(Lanjutan)

<pre> override fun onCreate(savedInstanceState: Bundle?) { super.onCreate(savedInstanceState) setContentView(R.layout.activity_detail) supportActionBar?.title = "Detail User" val avatar: ImageView = findViewById(R.id.img_avatar) val name: TextView = findViewById(R.id.txt_name) val username: TextView = findViewById(R.id.txt_username) val follower: TextView = findViewById(R.id.txt_user_follower) val following: TextView = findViewById(R.id.txt_user_following) val company: TextView = findViewById(R.id.txt_company) val location: TextView = findViewById(R.id.txt_location) val repository: TextView = findViewById(R.id.txt_repository) val users = intent.getParcelableExtra<User>(DETAIL_USER) as User avatar.setImageResource(users.avatar) name.text = users.name username.text = users.username follower.text = users.followers following.text = users.following company.text = users.company location.text = users.location repository.text = users.repository } } </pre>	<pre> override fun onCreate(savedInstanceState: Bundle?) { super.onCreate(savedInstanceState) setContentView(R.layout.activity_detail) val userDetails = intent.getParcelableExtra<User>(USER) tv_detail_name.text = userDetails?.name tv_detail_location.text = userDetails?.location tv_detail_repo.text = userDetails?.repository tv_detail_company.text = userDetails?.company tv_detail_followers.text = userDetails?.followers tv_detail_following.text = userDetails?.following Glide.with(this) .load(userDetails?.avatar) .into(iv_detail_avatar) val actionBar = supportActionBar actionBar?.title = userDetails?.username actionBar.setDisplayHomeAsUpEnabled(true) } override fun onOptionsItemSelected(item: MenuItem): Boolean { onBackPressed() return super.onOptionsItemSelected(item) } } </pre>
---------------------------------------------------------------------------------------------------------------------------------------------------------------------------------------------------------------------------------------------------------------------------------------------------------------------------------------------------------------------------------------------------------------------------------------------------------------------------------------------------------------------------------------------------------------------------------------------------------------------------------------------------------------------------------------------------------------------------------------------------------------------------------------------------------------------------------------------------------------------------------------------------------------------------------------------------------------------------------------------------------------	----------------------------------------------------------------------------------------------------------------------------------------------------------------------------------------------------------------------------------------------------------------------------------------------------------------------------------------------------------------------------------------------------------------------------------------------------------------------------------------------------------------------------------------------------------------------------------------------------------------------------------------------------------------------------------------------------------------------------------------------------------------------------------------------------------------------------------

Berdasarkan Tabel 3.1 didapatkan hasil berupa *source code* bahasa pemrograman kotlin dengan indikasi awal yang memiliki kategori mirip dan tidak mirip. Sehingga nantinya data mentah dari *source code* tersebut akan diproses kedalam *text preprocessing*.

3.4.3. Pengolahan Data (*Text preprocessing*)

Tahap ini melakukan proses *case folding* dan *tokenizing*. Proses *case folding* berfungsi untuk menghilangkan karakter yang tidak valid dan mengubah huruf menjadi huruf kecil dan menghilangkan karakter yang dianggap tidak valid seperti angka, tanda baca, dan *Uniform Resources Locator* (URL). Proses selanjutnya adalah *tokenization* yang berguna untuk memecah urutan karakter atau string teks menjadi unit yang lebih kecil yang biasa disebut token. Setiap token mewakili unit teks yang bermakna, seperti kata, simbol, atau tanda baca. Berikut ditampilkan hasil dari kedua tahap *text preprocessing* yang dtampilkan pada Tabel 3.2

Tabel 3.4 Hasil *Text preprocessing*

Sampel	Source code 1	Source code 2
Sampel 1	<pre>packagecomsidratulfinalsubmissionbfaaadapterimportandroidview.layoutinflaterimportandroidview.viewgroupimportandroidx.recyclerview.widget.recyclerviewimportortcombumpptechglide.glideimportcomsidratulfinalsubmissionbfaadatabindingitemrowusersbindingimportcomsidratulfinalsubmissionbfaadbuserclassuseradapterrecyclerviewadapteruseradapterlistviewholderprivatevalistarraylistuserprivatevaronitemclickcallbackonitemclickcallback?n</pre>	<pre>packagecomimanfundamentalsubmission3imanmainactivityimportandroid.annotation.suppresslintimportandroid.view.layoutinflaterimportandroid.view.viewgroupimportandroid.x.recyclerview.widget.recyclerviewimportortcombumpptechglide.glideimportcomimanfundamentalsubmission3imandatabindingitemrowusersbindingimportcomimanfundamentalsubmission3imanmodeluserclassuseradapterrecyclerviewadapteruseradapterlistviewholderprivatevalistarraylistuserprivatevaronitemclickcallbackonitemclickcallback?n</pre>

Tabel 3.5 Hasil *Text preprocessing* (Lanjutan)

	<p>ulloverridefunoncreateviewhold erparentviewgroupviewtypeinti stviewholdervalviewitemrowuse rsbindinginflaterlayoutinflaterfro mparentcontextparentfalse retur nlistviewholderviewoverridefuno nbindviewholderholderlistviewh olderpositioninholderbinditemli stpositionoverridefungetitemco untintlistszeinnerclassistviewh olderprivatevalbindingitemrowu sersbindingrecyclerviewviewhol derbindingrootfunbinditemuser userbindingrootsetonclicklisten eronitemclickcallback?o nitemclickeduserbindingapplyvite musernameusernameuserloginvite murltextuserurlglidewithitemvie wloaduseravatarurlcentercropin toimgitemphotofunsetlistusersa rraylistuserlistclearlistaddalluser snotifydatasetchangedfunsetoni temclickcallbackonitemclickcall backonitemclickcallbackthisonit emclickcallbackonitemclickcallb ackinterfaceonitemclickcallback funonitemclickeduseruser</p>	<p>ulloverridefunoncreateviewholderp arentviewgroupviewtypeintlistvie wholdervalviewitemrowusersbindingi nflaterlayoutinflaterfromparentcont extparentfalsereturnlistviewholderv iewoverridefunonbindviewholderho lderlistviewholderpositioninholder binditemlistpositionoverridefungeti temcountintlistszeinnerclasslistvie wholderprivatevalbindingitemrowu sersbindingrecyclerviewviewholder bindingrootfunbinditemuseruserbin dingrootsetonclicklisteneronitemcli ckcallback?o nitemclickeduserbindingapplyvite musernameusernameuserloginvite murltextuserurlglidewithitemviewloadu sersavatarurlcentercropintoimgitem photofunsetlistusersarraylistuserlistc learlistaddallusersnotifydatasetcha ngedfunsetonitemclickcallbackonit emclickcallbackonitemclickcallback thisonitemclickcallbackonitemclick callbackinterfaceonitemclickcallbac kfunonitemclickeduseruser</p>
--	------------------------------------------------------------------------------------------------------------------------------------------------------------------------------------------------------------------------------------------------------------------------------------------------------------------------------------------------------------------------------------------------------------------------------------------------------------------------------------------------------------------------------------------------------------------------------------------------------------------------------------------------------------------------------------------------------------------------------------------------------------------------------------------------------------------------------------------------------------------------------------------------------------------------------------------------------------------------------------------	----------------------------------------------------------------------------------------------------------------------------------------------------------------------------------------------------------------------------------------------------------------------------------------------------------------------------------------------------------------------------------------------------------------------------------------------------------------------------------------------------------------------------------------------------------------------------------------------------------------------------------------------------------------------------------------------------------------------------------------------------------------------------------------------------------------------------------------------------------------------------------------------------------------------------------------------------------------------------------

Tabel 3.6 Hasil *Text preprocessing* (Lanjutan)

Sampel 2	<pre>packagecomexamplegithubuser submissionimportandroidxappc ompatappappcompactactivityim portandroidosbundleimportandr oidwidgetimageviewimportandr oidwidgettextviewclassdetailacti vityappcompactactivitycompanio nobjectconstvaldetailuserdetail useroverridefunoncreatesavedin stancestatebundle?s uperoncreatesavedinstancestate setcontentviewrlayoutactivityde tailsupportactionbar?t itledetailuseravatarimagevie wfindviewbyidridimgavatarvalna metextviewfindviewbyidridtxtna mevaluseaname?metextviewfindvie wbyidridtxtusernameval?follower textviewfindviewbyidridtxtuserf ollowerval?followingtextviewfind viewbyidridtxtuserfollowingvalc ompanytextviewfindviewbyidrid txtcompanyvallocationtextviewfi ndviewbyidridtxtlocationvalrepo sitorytextviewfindviewbyidridtxt repositoryvalusersintentgetparc elableextrauserdetailuserasuser avatarsetimageresourceusersav atarnametextusers?nameuserna metextusersusername?followerte xtusersfollowersfollowingtextus ersfollowingcompanytextusersc ompanylocationtextuserslocatio nrepository?textusersrepository</pre>	<pre>packagecomgopalaplikasigithubuse rimportandroidxappcompactappapp compactactivityimportandroidosbun dleimportandroidviewmenuitemim portcombumpstechglideglideimport kotlinxandroidsyntheticmainactivit ydetail * classdetailactivityappcompactactiv ycompanionobjectconstvaluseruser overridefunoncreatesavedinstances tatebundle?s uperoncreatesavedinstancestateset contentviewrlayoutactivitydetailval userdetailintentgetparcelableextrau serusertvdetailnametextuserdetail? n ametvdetaillocationtextuserdetail?l ocation?tdetail?repotextuserdetail?r epository?tdetailcompanytextuserd etail?c ompany?tdetail?followerstextuserde tail?f ollowerstvdetail?followingtextuserde tail?f ollowingglidewiththisloaduserdetail ?a vatarintolvdetailavatarvalactionbar supportactionbaractionbar !! titleuserdetail?v sernameactionbarsetDisplayhomea supenabledtrueoverridefunonoptio nsitemselecteditemmenuitemboole anonbackpressedreturnsuperonopt ionsitemselecteditem</pre>
----------	----------------------------------------------------------------------------------------------------------------------------------------------------------------------------------------------------------------------------------------------------------------------------------------------------------------------------------------------------------------------------------------------------------------------------------------------------------------------------------------------------------------------------------------------------------------------------------------------------------------------------------------------------------------------------------------------------------------------------------------------------------------------------------------------------------------------------------------------------------------------------------------------------------------------------------------------------------------------------------------------------------------------------------------------------------------------------------------	---------------------------------------------------------------------------------------------------------------------------------------------------------------------------------------------------------------------------------------------------------------------------------------------------------------------------------------------------------------------------------------------------------------------------------------------------------------------------------------------------------------------------------------------------------------------------------------------------------------------------------------------------------------------------------------------------------------------------------------------------------------------------------------------------------------------------------------------------------------------------------------------------------------------------------------------------------------------------------------

Berdasarkan Tabel 3.2 telah ditampilkan hasil dari pemrosesan *text preprocessing* sehingga proses pada *text preprocessing* telah selesai, selanjutnya data hasil *text preprocessing* akan dilanjutkan pada pemrosesan pada tahapan algoritma *Winnowing*.

3.4.4. Analisa Data Uji dan Data Validasi

Data uji dan data validasi selanjutnya masing-masing akan memiliki dua varian dari tahap *text preprocessing*, data validasi ini adalah data yang sebelumnya telah dipilih secara manual untuk diidentifikasi dengan kategori *source* terindikasi mirip dan tidak mirip. Data uji dan data validasi akan diproses ke dalam algoritma *Winnowing* untuk mengetahui tingkat *similarity* yang akan dinilai akurasiya berdasarkan kategori yang ditentukan.

3.4.5. Algoritma Winnowing

Berikut detail dari alur penelitian pada tahap algoritma *Winnowing*:

Gambar 3.2 menjelaskan bahwa tahap pada langkah ini menentukan variasi *k-gram* terlebih dahulu selanjutnya data uji dan data validasi akan dihitung nilai *hash*-nya menggunakan *Rolling Hash* yang nantinya akan dibuat beberapa *window* dan setiap *window* akan dicari nilai terkecilnya atau *fingerprint*

3.4.5.1. Menentukan K-Gram

Berikut ditampilkan hasil dari pemrosesan data dari *text preprocessing* dengan jumlah *k* dengan bilangan prima yaitu 2, 3, 5, dan 7 sehingga hasil dari perpotongan kata berdasarkan *k-gram* dengan inputan data *text preprocessing* ditampilkan pada tabel 3.3

Tabel 3.7 Hasil Perpotongan K-Gram dengan data yang sudah dilakukan *Text Preprocessing*

Sample	Source code 1				Source code 2			
	<i>k</i> = 2	<i>k</i> = 3	<i>k</i> = 5	<i>k</i> = 7	<i>k</i> = 2	<i>k</i> = 3	<i>k</i> = 5	<i>k</i> = 7
Sample 1	'pa', 'ac', ck', 'ka', ag', 'ge', ec', 'co', om', 'ms',	('pac', 'ack', 'cka', 'kag', 'age', 'gec', 'eco', 'com', 'oms', 'msi',	('packa', 'ackag', 'ckage', 'kagec', 'ageco',	('package', 'ackagec', 'ckageco', 'kagecom', 'agecoms',	'pa', 'ac', ck', 'ka', ag', 'ge', ec', 'co', om', 'mi',	('pac', 'ack', 'cka', 'kag', 'age', 'gec', 'eco', 'com', 'omi', 'mim',	'packa', 'ackag', 'ckage', 'kagec', 'ageco',	('package', 'ackagec', 'ckageco', 'kagecom', 'agecomi',

Tabel 3.9 Hasil Perpotongan K-Gram dengan data yang sudah dilakukan *Text Preprocessing* (Lanjutan)

Sample 2	'pa', 'ac', 'ck', 'ka', 'ag', 'ge', 'ec', 'co', 'om', 'mg', 'go', 'op', 'pa', 'al', 'la', 'ap', 'pl', 'lf', 'ik', 'ka', 'as', 'si', 'lg', 'ei', 'it', 'th', 'hu', 'ub', 'bu', 'us', '...', 'on', 'no', 'op', 'pt', 'ti', 'io', 'on', 'ns', 'si', 'it', 'te', 'em', 'ms', 'se', 'el', 'le', 'ec', 'ct', 'te', 'ed', 'di', 'it', 'te', 'em', 'm']	'pac', 'ack', 'cka', 'kag', 'age', 'gec', 'eco', 'com', 'omg', 'mgo', 'gop', 'opa', 'pal', 'ala', 'lap', 'ala', 'lap', 'lik', 'ka', 'kas', 'asi', 'sig', 'iEi', 'git', 'ith', 'thu', 'hub', 'ubu', 'bus', 'use', '...', 'ono', 'nop', 'pli', 'li', 'tie', 'ion', 'ons', 'nsi', 'sit', 'ite', 'tem', 'ems', 'mse', 'sel', 'ele', 'lec', 'ect', 'cte', 'ted', 'edi', 'dit', 'ite', 'tem', 'em', 'm \n']	'packa', 'ackag', 'ckage', 'ckageco', 'kagec', 'kagecom', 'ageco', 'agecomg', 'gecom', 'gecomgo', 'ecomg', 'ecomgop', 'comgo', 'comgopa', 'omgopa', 'mgopala', 'gopal', 'gopalap', 'opalap', 'palap', 'palapli', 'alapl', 'alapl', 'lapli', 'laplika', 'aplik', 'aplikas', 'prika', 'plikas', 'likasig', 'likasig', 'kasig', 'kasigit', 'asigith', 'ptionsi', 'tionsit', 'ionsite', 'onsitem', 'msele', 'nsitem', 'm \n']	'package', 'ackagec', 'ckageco', 'kagecom', 'agecomg', 'gecomgo', 'ecomgop', 'comgopa', 'omgopala', 'gopalap', 'opalapli', 'alapl', 'alapl', 'laplika', 'aplikas', 'plikas', 'likasig', 'likasig', 'kasigit', 'asigith', 'ptionsi', 'tionsit', 'ionsite', 'onsitem', 'msele', 'nsitem', 'm \n']	'pa', 'ac', 'ck', 'ka', 'ag', 'ge', 'ec', 'co', 'om', 'me', 'ex', 'xa', 'am', 'mp', 'pl', 'le', 'eg', 'ei', 'it', 'th', 'hu', 'ub', 'bu', 'us', 'se', 'er', 'rs', 'su', 'ub', 'bm', '...', 'si', 'it', 'to', 'or', 'ry', 'yt', 'te', 'ex', 'xt', 'tu', 'us', 'se', 'er', 'rs', 'sr', 're', 'ep', 'po', 'os', 'si', 'it', 'to', 'or', 'ry', 'y']	'pac', 'ack', 'cka', 'kag', 'age', 'gec', 'eco', 'com', 'ome', 'mex', 'exa', 'xam', 'amp', 'mpf', 'ple', 'leg', 'eg', 'git', 'ith', 'thu', 'hub', 'ubu', 'bus', 'use', 'ser', 'ers', 'rsu', 'sub', 'ubm', 'bmi', '-', 'tex', 'ext', 'xtu', 'tus', 'use', 'ser', 'ers', 'rsr', 'rep', 'pos', 'osi', 'sit', 'ito', 'tor', 'ory', 'ry', '', 'y \n']	'packa', 'ackag', 'ckage', 'ckageco', 'kagec', 'kagecom', 'ageco', 'agecome', 'gecom', 'gecomex', 'ecom', 'ecomexa', 'comex', 'comexam', 'omexa', 'omexamp', 'mexam', 'mexamp', 'examp', 'example', 'xamp', 'xampleg', 'ample', 'ampleg', 'mpleg', 'mplegit', 'pleg', 'plegith', 'legit', 'legithu', 'egith', 'egithub', 'githu', 'githubu', 'ithub', 'ithubus', 'thubu', 'thubuse', 'sitor', 'hubuser', 'itory', 'extuser', 'toryt', 'xtusers', 'tusersr', 'rytex', 'usersre', 'ytext', 'sersrep', 'textu', 'ersrepo', 'extus', 'rsrepos', 'xtuse', 'sreposit', 'tuser', 'reposit', 'users', 'eposito', 'sersr', 'positor', 'ersre', 'ository', 'rsrep', 'sitory', 'srepo', 'itory \n']
----------	----------------------------------------------------------------------------------------------------------------------------------------------------------------------------------------------------------------------------------------------------------------------------------------------------------------------------------------------------------------------------------------------------------------------------------	-------------------------------------------------------------------------------------------------------------------------------------------------------------------------------------------------------------------------------------------------------------------------------------------------------------------------------------------------------------------------------------------------------------------------------------------------------------------------------------------	---------------------------------------------------------------------------------------------------------------------------------------------------------------------------------------------------------------------------------------------------------------------------------------------------------------------------------------------------------------------------------------------------------------------------------------------------------------------------------------------------------------------------------------------------	-------------------------------------------------------------------------------------------------------------------------------------------------------------------------------------------------------------------------------------------------------------------------------------------------------------------------------------------------------------------------------	-------------------------------------------------------------------------------------------------------------------------------------------------------------------------------------------------------------------------------------------------------------------------------------------------------------------------------------------------------------------------------------------------------------------------	--------------------------------------------------------------------------------------------------------------------------------------------------------------------------------------------------------------------------------------------------------------------------------------------------------------------------------------------------------------------------------------------------------------------------	------------------------------------------------------------------------------------------------------------------------------------------------------------------------------------------------------------------------------------------------------------------------------------------------------------------------------------------------------------------------------------------------------------------------------------------------------------------------------------------------------------------------------------------------------------------------------------------------------------------------------------------------------------------------------------------------------------------------------------------------------------------------------------------------------------------------------------------------------------------------------------------------

Tabel 3.10 Hasil Perpotongan K-Gram dengan data yang sudah dilakukan *Text Preprocessing* (Lanjutan)

			item', 'tem {n'}	'ctedite', 'teditem', 'editem', 'ditem {n'}			'repos', 'eposi', 'posit', 'osito', 'sitor', 'itory', 'tory', 'ory {n'}	
--	--	--	---------------------	------------------------------------------------------	--	--	----------------------------------------------------------------------------------------------	--

Selain dari pemrosesan pemotongan karakter berdasarkan jumlah nilai k pada K-Gram yang telah dilakukan *text preprocessing* selanjutnya dilakukan pemotongan karakter pada data tanpa dilakukan *text preprocessing*. Berikut ditampilkan hasil dari pemotongan karakter pada hasil tanpa dilakukan proses *text preprocessing* ditampilkan pada Tabel 3.4

Tabel 3.11 Hasil Perpotongan K-Gram dengan data tanpa dilakukan *Text Preprocessing*

Sample	Source code 1				Source code 2			
	$k=2$	$k=3$	$k=5$	$k=7$	$k=2$	$k=3$	$k=5$	$k=7$
Sample 1	'pa', 'ac',	'pac', 'ack',	'packa',	'package',	'pa', 'ac',	'pac', 'ack',	'packa',	'package',
	'ck', 'ka',	'cka', 'kag',	'ackag',	'ackage',	'ck', 'ka',	'cka', 'kag',	'ackag',	'ackage',
	'ag', 'ge',	'age', 'ge',	'ckage',	'ckage c',	'ag', 'ge', 'e	'age', 'ge', 'e	'ckage',	'ckage c',
	'e', 'co',	'e c', 'com',	'kage',	'kage co',	'co', 'om',	'c', 'com',	'kage',	'kage co',
	'om', 'm',	'om', 'm.s',	'age c',	'age com',	'm', 'i',	'om', 'm.i',	'age c', 'ge	'age com',
	's', 'si',	'si', 'sid',	'ge co', 'e	'ge com', 'e	'im', 'ma',	'im', 'ima',	co', 'e	'ge com', 'e
	'id', 'dr',	'idr', 'dra',	com',	com.s',	'an', 'ri', 'i',	'man', 'an',	com',	com.i',
	'ra', 'at',	'rat', 'atu',	com.s',	com.sid',	'fu', 'un',	'n.f', 'fu',	'com.i',	'com.ima',
	'tu', 'ul',	'tul', 'ul',	om.si',	om.sidr',	'nd', 'da',	'fun', 'und',	om.im',	om.iman',
	'l', 'f', 'fi',	'lf', 'fi',	m.sid',	m.sidra',	'am', 'me',	'nda', 'dam',	'm.ima',	'm.iman',
	'in', 'na',	'fin', 'ina',	'sidr',	'sidrat',	'en', 'nt',	'ame', 'men',	'jman',	'iman.f',
	'al', 'ls',	'nal', 'als',	'sidra',	'sidratu',	'ta', 'al', 'L',	'ent', 'nta',	'iman',	'iman.fu',
	'su', 'ub',	'isu', 'sub',	'idrat',	'idratul',	'_s', 'su', ...	'tal', 'al_',	'man.f',	'man.fun',
	'bm', 'mi',	'ubmi',	'dratu',	'dratul',	'd]', '(u',	'L_s', '_su',	'an.fu',	'an.fund',
	... '(u',	'bmi', 'mis',	'ratul',	'ratul.f',	'us', 'se',	'sub', ..., 'ed',	'n.fun',	'n.funda',

Tabel 3.12 Hasil Perpotongan K-Gram dengan data tanpa dilakukan *Text Preprocessing* (Lanjutan)

	'us', 'se', 'er', 'r', ':', , 'Us', 'se', 'er', 'rj',)\n', '\n',)\n', '\n',)\n', '\n',)\n']	... 'd(u', '(us', 'use', 'ser', 'er', 'r', , ': U', 'Use', 'ser', 'er)', 'r)\n', '\n', '\n', '\n\n', '\n\n']	'atul', 'tul.F', 'ul.fi', 'Lfin', 'fina', ..., 'licke', 'licked', 'licked(u', 'cked', 'ked(u', 'ed(us', 'd(use', '(user', 'user', 'ser', 'er', 'U', 'r', 'Us', 'Use', 'r', 'User', 'ser)\n', 'er)\n', 'r)\n', '\n', '\n']	'atul.fi', 'tul.fin', 'ul.fina', 'Lfinal', ..., 'Clicked', 'licked', 'licked(u', 'cked(us', 'ked(u', 'ed(user', 'd(user', '(user', 'user', 'ser: Us', 'er', 'Use', 'r', 'User', 'ser)\n', 'er)\n', 'er)\n', 'r)\n', '\n']	'er', 'r', ':', 'Us', 'se', 'er', 'rj',)\n', '\n',)\n', '\n\n',)\n', '\n',)\n\n']	'd(u', '(us', 'use', 'ser', 'er', 'r', ':', 'U', 'Use', 'ser', 'er', 'r)\n',)\n', '\n',)\n\n']	'.fund', 'funda', 'undam', 'ndame', 'damen', ..., 'Clicked', '... icked', 'icked(u', 'cked', 'ked(u', 'ed(us', 'd(use', '(user', 'user', 'ser: ', 'er', 'U', 'r', 'Us', 'Use', 'r', 'User', 'ser)\n', 'er)\n', 'r)\n', '\n',)\n']	'fundam', 'fundame', 'undamen', 'ndament', '... 'Clicked', '... 'licked', 'licked(u', 'icked(u', 'ked(us', 'ked(use', 'd(use', 'ed(user', 'd(user', '(user', 'user', '(user: ', 'er', 'U', 'r', 'Us', 'ser: Us', 'er', 'Use', 'r', 'User', 'User', 'ser)\n', 'User', 'er)\n', 'User)\n', 'ser)\n', 'er)\n', 'r)\n', '\n']
Sample 2	['pa', 'ac', 'ck', 'ka', 'ag', 'ge', 'e', 'co', 'om', 'm', 'g', 'go', 'op', 'pa', 'al', 'l', 'a', 'ap', 'pl', 'l', 'ik', 'ka', 'as', 'si', 'ig', 'gl',	'pac', 'ack', 'cka', 'kag', 'age', 'ge', 'e c', 'com', 'om', 'm.g', 'go', 'gop', 'opa', 'pal', 'al', 'l.a', 'ap', 'apl', 'pli', 'lik', 'ika', 'kas', 'asi', 'sig', 'igi', 'git',	'packa', 'ackag', 'ckage', 'kage', 'age c', 'ge', 'com.g', 'ge com', 'e', 'om.go', 'com.gop', 'm.gop', 'gopal', 'opal', 'pal.a', 'gopal.a', 'gopal', 'apli', 'aplik',	['package', 'ackage', 'ckage c', 'kage co', 'age com', 'ge com', 'e', 'com.g', 'com.gop', 'om.gopa', 'm.gopal', 'gopal', 'opal.a', 'gopal.a', 'opal.ap',	['pa', 'ac', 'ck', 'ka', 'ag', 'ge', 'e', 'co', 'om', 'm', 'e', 'ex', 'xa', 'am', 'mp', 'pl', 'le', 'e', 'g', 'g', 'it', 'th', 'hu', 'ub', 'bu', 'us', 'se', 'er', 'rs', ...	['pac', 'ack', 'cka', 'kag', 'age', 'ge', 'e', 'c', 'com', 'om', 'm.e', 'ex', 'xa', 'xam', 'amp', 'mpl', 'ple', 'e', 'e.g', 'g', 'th', 'hu', 'git', 'ith', 'th', 'hub', 'ub', 'bus', 'use', 'ser',	['package', 'ackage', 'ckage c', 'kage co', 'age com', 'ge com', 'e', 'com.e', 'com.exa', 'om.exam', 'm.examp', 'example', 'xample',	

Tabel 3.13 Hasil Perpotongan K-Gram dengan data tanpa dilakukan *Text Preprocessing* (Lanjutan)

'it', 'th',	'ith', 'thu',	pika', 'likas',	pal.apl',	'te', 'ex',	'ers', 'rsu', ...	'packa',	'ample.g',
'hu', ...	'hub', ...	'ikasi', 'kasig',	'al.apil',	'xt', 't', '= ',	'te', 'tex',	'ackag',	'mple.g', ...
'ns', 'sl',	'nsl', 'slt',	'asig', 'sigit',	... 'mSelect'	'us', 'se',	'ext', 'xt', 't=',	'ckage',	'rs.repo',
'lt', 'te',	'lte', 'tem',	'igith', 'githu',	'Selecte',	'er', 'rs', 's',	'= u', 'use',	'kage',	's.repos',
'em', 'mS',	'emS',	'ithub',	'elected',	'r', 're', 'ep',	'ser', 'ers',	'age c', 'ge	'reposit',
'Se', 'el',	'mSe', 'Sel',	'thubu', ...	'lected',	'po', 'os',	'rs', 's.r', 're',	co', 'e	'reposit',
'le', 'ec',	'ele', 'lec',	'ption',	'ected',	'si', 'it', 'to',	'rep', 'epo',	com',	'eposito',
'ct', 'te',	'ect', 'cte',	'tions', 'ionsl',	'cted',	'or', 'ry',	'pos', 'osi',	'com.e',	'positor',
'ed', 'd',	'ted', 'ed',	'onsit', 'nsite',	'ted',	'y', 'n', 'n',	'sit', 'ito',	'om.ex',	'ository',
'j', 'it',	'd', 'it',	'sitem',	'ed',	'j', 'n', 'n',	'tor', 'ory',	'm.exa',	'sitory',
'te', 'em',	'ite', 'tem',	'itemS',	'd',	'j', 'n',	'ry', 'n', 'y', 'n',	'exam',	'itory',
'm', 'n',	'em',	'temSe',	'(item)',	'n', 'j', 'n',	'n', 'j', 'n',	'examp',	'tory',
'n', 'n',	'm', 'n', 'n',	'emSel',	'item',	'n', 'n',	'n', 'n',	'xamp',	'ory',
'n', 'n',	'n', 'n', 'n',	'mSele',	'tem',	'n', 'n',	'n', 'n',	'ample',	'ry', 'n', 'y', 'n
'n', 'n',	'n', 'n', 'n',	'Selec', 'elect',	'em',	'n', 'n',	'n', 'n',	'mple',	'n', 'n', 'n', 'n',
		'lecte',	'm', 'n', 'n',			'ple.g',	
		'ected',	'n', 'n', 'n',			'e.g', ...	
		'cted', 'ted',				'users',	
		'ed', 'd',				'sers',	
		'(item',				'ers.r',	
		'item',				'rs.re',	
		'tem',				's.rep',	
		'em', 'n', 'm',				'repo',	
		'n', 'n', 'n',				'repos',	
						'eposi',	
						'posit',	
						'osito',	
						'sitor',	
						'itory',	
						'tory',	
						'ory',	
						'ry',	
						'y', 'n', 'n',	

3.4.5.2. Perhitungan fungsi Hash per k-gram (Rolling Hash)

Setelah mendapatkan hasil dari potongan karakter berdasarkan K-Gram selanjutnya menghitung nilai *hash* menggunakan rumus Rolling Hash, berikut contoh perhitungan Rolling Hash pada salah satu porongan karakter pada sampel 1 dengan data yang sudah dilakukan *text preprocessing* dengan K-gram = 2 pada potongan karakter "ac" dengan nilai basis = 10, sebagai berikut:

$$\begin{aligned} H_{(ac)} &= \text{ascii}(a) \times 10^{(3)} + \text{ascii}(c) \times 11^{(0)} \\ &= 97 \times 10 + 99 \times 1 \\ &= 1069 \end{aligned}$$

Sehingga mendapatkan hasil perubahan dari potongan karakter menjadi *hash* berdasarkan perhitungan Rolling Hash, berikut ditampilkan hasil dari perhitungan Rolling hash dengan data yang telah dilakukan *text preprocessing* berdasarkan potongan K-Gram ditampilkan pada Lampiran 1.

Selain itu juga dilakukan perhitungan pada data tanpa dilakukan *text preprocessing*, berikut hasil dari perhitungan *hash* menggunakan Rolling hasil pada data tanpa dilakukan *text preprocessing* berdasarkan K-Gram yang terbentuk ditampilkan pada Lampiran 2.

3.4.5.3. Pembuatan nilai Window

Setelah diketahui *hash* pada sebaran K-Gram langkah selanjutnya yaitu pembuatan *window* dengan jumlah $w=3$. Sehingga *hash* yang ada akan dikelompokkan kedalam *window* yang terbentuk. Berikut hasil dari *window* pada dengan data yang sudah dilakukan *text preprocessing* berdasarkan K-Gram yang terbentuk pada Lampiran 3

Berikut ditampilkan hasil dari pembentukan *window* terhadap *hash* yang terbentuk pada proses sebelumnya dengan data tanpa dilakukan *text preprocessing* ditampilkan pada Lampiran 4.

3.4.5.4. Pemilihan *Fingerprint* dari setiap *Window*

Setelah terbentuk *window* pada *hash* dengan data yang telah dilakukan *text preprocessing* dan tanpa dilakukan *text preprocessing* selanjutnya pada setiap *window* akan dipilih *fingerprint* yaitu nilai terkecil pada setiap *window* dan jika bertemu dengan nilai yang sama akan diambil paling kanan dan ketika ada nilai yang sama akan dipilih salah satu. Sehingga hasil dari *fingerprint* didapatkan dengan nilai terkecil, berikut penentuan *fingerprint* pada *window* K-Gram pada beberapa data dengan data yang sudah dilakukan *text preprocessing*:

[1217, 1069, 1097], [1069, 1097, 1167], [1097, 1167, 1073], [1167, 1073, 1131]

Sehingga *fingerprint* ditemukan sebagai berikut: [1069,1073]

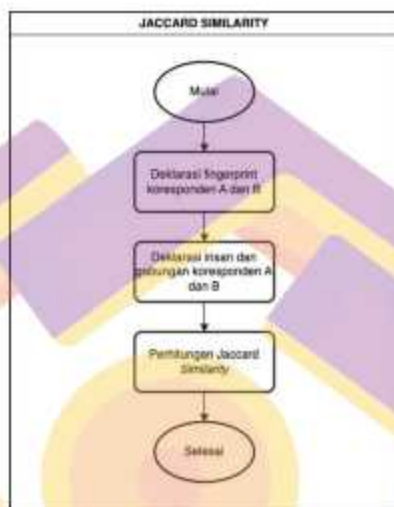
Berikut hasil *fingerprint* pada *window* yang terbentuk dengan data yang sudah dilakukan *Text Preprocessing*, ditampilkan pada Lampiran 5.

Berikut hasil dari *fingerprint* berdasarkan *hash window* yang berasal dari data tanpa dilakukan *text preprocessing*, ditampilkan pada Lampiran 6

Berdasarkan Tabel pada Lampiran 5 dan Lampiran 6 telah didapatkan hasil *fingerprint* untuk setiap sampel *source code* dengan data yang telah dilakukan *text preprocessing* dan tanpa dilakukan *text preprocessing*, sehingga setiap *source code* memiliki *fingerprint* masing-masing.

3.4.6. Jaccard Similarity

Berikut detail dari alur penelitian pada tahap menghitung nilai *similarity* menggunakan Jaccard *Similarity*.



Gambar 3.3 Alur Jaccard *Similarity*

Gambar 3.3 menjelaskan bahwa setelah pemrosesan algoritma *Winnowing*, hasil dari *fingerprint* tersebut dihitung tingkat presentase *similarity*-nya menggunakan koefisien *Jaccard Similarity* untuk membandingkan nilai *fingerprint* satu dokumen dengan dokumen yang lain berdasarkan *fingerprint* yang sama. Dengan urutan dari deklarasi koresponden *fingerprint string* A dan B selanjutnya akan diketahui irisan dan gabungan antara koresponden *fingerprint string* A dan B dan terakhir perhitungan *Jaccard Similarity* dapat di lakukan.

3.4.6.1. Deklarasi *Fingerprint* Koresponden A dan B

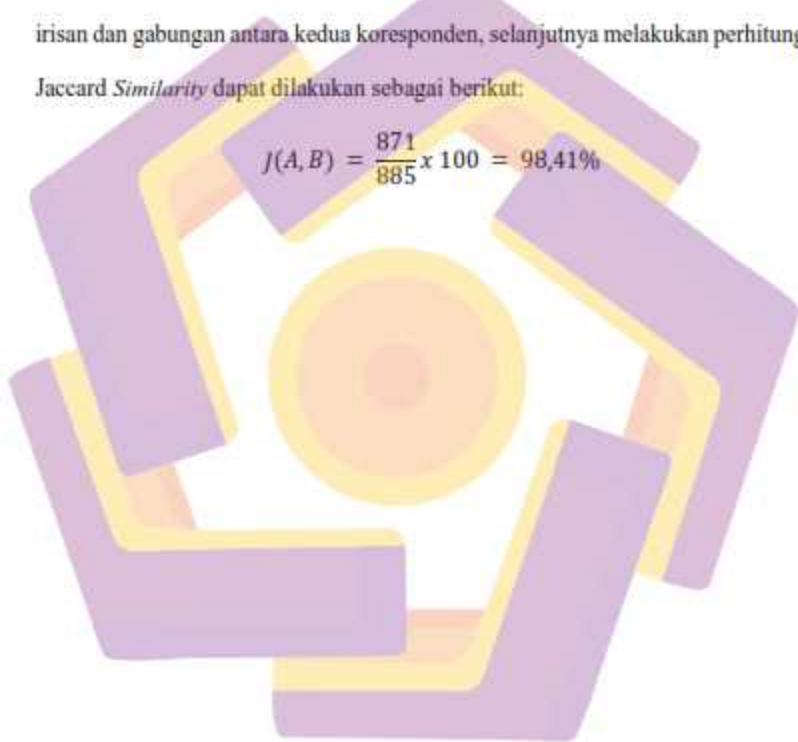
Berikut ditampilkan perhitungan untuk mengetahui hasil dari tingkat *similarity* berdasarkan hasil *fingerprint* pada sampel 1 yang telah dihasilkan pada

selanjutnya maka dari itu akan diketahui *fingerprint* yang sama atau irisan antara koresponden A dan B mendapatkan hasil 871. Sedangkan untuk gabungan koresponden A dan B mendapatkan hasil 885.

3.4.6.3. Perhitungan Jaccard *Similarity*

Setelah mengetahui *fingerprint* disetiap koresponden data dan mengetahui nilai irisan dan gabungan antara kedua koresponden, selanjutnya melakukan perhitungan *Jaccard Similarity* dapat dilakukan sebagai berikut:

$$J(A,B) = \frac{871}{885} \times 100 = 98,41\%$$



BAB IV

HASIL PENELITIAN DAN PEMBAHASAN

4.1. Gambaran Umum Penelitian

Dalam penelitian ini data yang akan diteliti adalah source code yang diambil dari Github dengan tema proyek yang sama yaitu 'Pembuatan Aplikasi Github'. Data yang diambil saling berpasang-pasangan untuk nantinya dapat dibandingkan dan memiliki indikasi awal antara duplikat dan tidak duplikat. Setelah dilakukan pengambilan dan selanjutnya data tersebut diproses pada tahap *text preprocessing*. Setelah dilakukan tahap *text preprocessing* selanjutnya diproses pada tahapan Algoritma WInnowing dengan memilih K-Gram dengan bilangan prima 2, 3, 5, dan 7 dengan nilai window 3. Berdasarkan algoritma WInnowing akan dilakukan tahapan pemrosesan yaitu menentukan nilai K-Gram, Rolling Hash, dan pembuatan *window* dan *fingerprint* untuk proses ini terdapat dua data yang diproses, yaitu data yang sudah melalui tahap *text preprocessing* dan. Setelah terbentuk *fingerprint* pada setiap data maka akan diproses pada perhitung Jaccard *Similarity* untuk mengetahui hasil *similarity* pada data yang diproses menggunakan algoritma WInnowing. Berdasarkan hasil perhitungan tingkat kesamaan kedua data yang dibanding dengan menggunakan algoritma WInnowing, maka akan dibandingkan performa yang dilakukan dengan perhitungan kecepatan waktu dan membandingkan hasil *similarity* pada algoritma WInnowing.

4.2. Pengumpulan Data

Pada penelitian ini menggunakan data yang diambil dari Github dengan tema "Pembuatan Aplikasi Github User" yang mendapatkan 2 aplikasi yang

masing-masing memiliki 5 source code dengan ekstensi ".kt" yang bisa dibandingkan. Data yang akan dibandingkan akan dilabeli secara manual dengan 2 kategori, yaitu kode yang terindikasi mirip dan tidak mirip.

4.3. Text Preprocessing

Proses selanjutnya setelah melakukan pengumpulan data, data yang telah dipersiapkan sebelumnya akan diolah pada proses *text preprocessing*.

4.3.1. Case folding

Langkah pertama pada *text preprocessing*, yaitu case folding untuk menghilangkan karakter yang tidak valid dan mengubah huruf menjadi huruf kecil. Berikut source code yang digunakan untuk pemrosesan *case folding* ditampilkan pada gambar 4.1

```

class Preprocessing
{
    fun clean_text(text: String): String {
        // Takes in a piece of text and eliminates unnecessary features such as capitalization, trailing or leading
        // whitespace, and spaces between words. This will also remove URLs and HTML tags.
        // Returns the cleaned text.
        // Example: "This is a test string with some extra spaces and a URL: http://www.example.com"
        // Returns: "this is a test string with some extra spaces and a url: http://www.example.com"

        // Remove leading and trailing whitespace
        text = text.trim()

        // Convert to lowercase
        cleaned_text = text.lowercase()

        // Remove non-alphanumeric characters (except for underscores)
        cleaned_text = cleaned_text.replace("[^a-z0-9_]+", "")

        // Remove the HTML characters
        cleaned_text = cleaned_text.replace("<.*>", "")

        // Remove the URL characters
        cleaned_text = cleaned_text.replace("http://.*", "")
    }
}

```

Gambar 4.1 Source code untuk Case folding

Berdasarkan Gambar 4.1 pada tahap *case folding* terdapat beberapa fungsi yang diterapkan, yaitu:

- Fungsi cleaned_text()* yang berisikan berbagai tanda baca yang akan dihapus pada *source code*

- b. Fungsi `re.sub()` digunakan dengan ekspresi reguler (`r"http\S+"`) untuk menghapus URL dari teks. Pola regex ini cocok dengan substring apa pun yang dimulai dengan "http" dan diikuti oleh satu atau beberapa karakter bukan spasi.
- c. Fungsi `lower()` dipanggil pada `cleaned_text()` untuk mengubah semua huruf/karakter menjadi huruf kecil.
- d. Fungsi `replace()` digunakan untuk menghapus karakter tertentu dari teks, termasuk spasi, karakter baris baru (`\n`), karakter tab (`\t`), dan titik (`.`)

4.3.2. Tokenizing

Tahap berikutnya adalah *tokenizing* yang berfungsi untuk memecah urutan karakter atau string teks menjadi unit yang lebih kecil yang biasa disebut token. Setiap token mewakili unit teks yang bermakna, seperti kata, simbol, atau tanda baca. *Tokenizing* merupakan langkah mendasar dalam pemrosesan bahasa alami dan pemrosesan bahasa pemrograman. Source code dari *tokenizing* ditampilkan pada gambar 4.2

```

import nltk
import nltk.tokenize

# Sample text
text = "The quick brown fox jumps over the lazy dog."

# Tokenization
tokens = nltk.tokenize.word_tokenize(text)

# Print tokens
print(tokens)

```

Gambar 4.2 Source Code untuk *Tokenizing*

Kode pada Gambar 4.2 digunakan untuk membuat aturan untuk menandai kode Kotlin dan menetapkan jenis token yang sesuai untuk penyorotan sintaks atau tujuan pemrosesan kode lainnya. Kamus token yang digunakan mendefinisikan berbagai kategori token dan ekspresi regulernya yang sesuai.

4.4. Data Uji dan Data Validasi

Data akan memiliki dua varian dari tahap *text preprocessing* yaitu *source code* tanpa proses *text preprocessing* dan *source code* yang sudah dilakukan *text preprocessing*. data validasi ini adalah data yang sebelumnya dipilih secara manual dengan kategori yaitu kode yang sama persis, kode yang mendekati sama, dan kode yang memiliki perbedaan yang jauh. Data uji dan data validasi akan diproses ke dalam algoritma *similarity* untuk mengetahui tingkat *similarity* dan akan dinilai akurasi berdasarkan kategori yang ditentukan.

4.5. Algoritma Winnowing

Tahapan proses algoritma Winnowing yaitu menentukan nilai KGram, Rolling Hash, pembuatan window serta terakhir menentukan *fingerprint*.

4.5.1. Menentukan k-gram

Pada penelitian ini digunakan nilai k yang pada penelitian ini akan menggunakan bilangan prima yaitu 2, 3, 5, dan 7. Nilai k tersebut selanjutnya digunakan untuk memecah rangkaian karakter yang berasal dari data yang disajikan. Pemilihan bilangan tersebut dikarenakan *source code* memiliki teks yang pendek, sehingga nilai k yang kecil akan menangkap pola dengan tepat.

Berikut merupakan *source code* yang digunakan untuk memotong karakter sejumlah k yang ditampilkan pada gambar 4.3

```

text = str(text)
k_gram = []
for start in range(len(text) - int(k) + 1):
    # only perform this with necessity if the current character is not a whitespace
    if text[start] != " ":
        end = start + k
        k_gram = text[start:end]
        # k_gram = self.clean_text(k_gram)
        # After cleaning up our k-gram, we can end up with a much smaller string that is below the desired k-gram length
        # If this is the case, then we will continually add the missing length to the string we are slicing
        while(len(k_gram) < int(k)):
            end = end + (self.k - len(k_gram)) # we will need to add as many letters as are missing from the k-gram
            k_gram = text[start:end]
            # k_gram = self.clean_text(k_gram)
        hashed_k_gram = self.hash_k_gram(k_gram)
        # print("k-gram: ", k_gram)
        # print("hash: ", hashed_k_gram)
return k_gram

```

Gambar 4.3 *Source code* untuk Menentukan K-Gram

Berdasarkan Gambar 4.3 dilakukan pemotongan karakter berdasarkan masukan nilai k . Pada tahap ini membutuhkan sepotong teks dan bilangan bulat k yang mewakili berapa lama setiap K-gram. Hal tersebut akan menampilkan berbagai k-gram serta lokasinya di teks asli.

Contoh masukan: "helloworld", 5

Contoh Keluaran: [(("hello",0), ("ellow", 1), ("llowo",2), ("lowor",3), ("oworl",4), ("world",5))]

4.5.2. Rolling hash

Setelah dilakukan pemotongan karakter selanjutnya dilakukan proses *hashing* menggunakan Rolling Hash.

```
def rolling_hash(self, text):
    """
    rolling_hash is another means of generating a numerical representation of a document (if you choose not to
    go with the default). This function will return the hashes for all k-grams in n(n) and can be used if
    computation complexity is a problem
    Parameters
    -----
    text: str
        The entire document to be generate hashed k-grams
    Returns
    -----
    hashes: list of int
        A list of all hashed k-grams
    """
    hashes = []
    k = 10**(self.k - 1)
    text = str(text)
    next_str = text[0:self.k]
    next_hash = self.kuadrat_rulja(next_str)
    hashes.append(next_hash)
    for i in range(0, len(text) - self.k):
        current_str = next_str
        current_hash = next_hash
        if next[i] != " ":
            # get the new stuff
            next_str = next[i + 1: self.k + i + 1]
            next_hash = (current_hash - (ord(current_str[0]) * k) * 10) + ord(next_str[self.k - 1])
            # hashes.append(next_hash, i + 1, next_str)
            hashes.append(next_hash)
            # print "Window", next_str
            # print "hash", next_hash
    return hashes
```

Gambar 4.4 Source code hashing menggunakan Rolling hash

Dalam Gambar 4.4, Nilai hash mengacu pada representasi numerik atau kode hash yang dihasilkan untuk setiap k-gram dalam dokumen menggunakan algoritma rolling hash. Nilai hash adalah representasi numerik ukuran tetap yang dihasilkan dari input data, dalam hal ini, k-gram yang diekstraksi dari dokumen. Tujuan hashing adalah untuk mengubah data arbitrer, seperti string atau objek lain, menjadi nilai numerik yang dapat digunakan secara efisien untuk berbagai operasi, seperti pengindeksan, perbandingan, atau identifikasi.

4.5.3. Pembuatan window

Setelah diketahui nilai *hash* pada setiap gram yang terbentuk selanjutnya memasukkan nilai hash tersebut ke dalam sebuah *window* sehingga akan membentuk kelompok membentuk *window* masing-masing sesuai urutannya. Pada langkah ini juga menentukan nilai terkecil pada setiap *window*. Tahap ini ditampilkan pada Gambar 4.5

```
def select_fingerprints(self, hash_list, w):
    """
    This helper function takes in a set of
    Parameters
    -----
    hash_list : list of (int, int)

    w : int
        w represents the window size for which we select a rightmost minimum

    Returns
    -----
    fingerprints : list of int
    """
    fingerprints = []
    min_index = -1
    prev_min_index = -1
    # traverse over the hash_list
    for hash_index in range(len(hash_list) - w + 1):
        min_value = float("inf")
        #traverse over each window
        for window_index in range(hash_index, hash_index + w):
            if hash_list[window_index] <= min_value:
                min_index = window_index
                min_value = hash_list[window_index]
        # If the minimum value of the previous window is no longer the minimum value
        if min_index != prev_min_index:
            prev_min_index = min_index
            fingerprints.append(hash_list[min_index])
```

Gambar 4.5 Source code untuk pembuatan window

Pada tahap ini hash list digunakan menggunakan hash index pada setiap jendela berukuran *w*, nilai minimum paling kanan dipilih. Minimum paling kanan ditentukan dengan mengulang elemen di dalam *window* dan menemukan nilai terkecil. Indeks nilai minimum disimpan pada variabel *min_index*, dan jika nilai minimum berubah dibandingkan dengan jendela sebelumnya, ini dianggap sebagai

fingerprint baru. *Fingerprint* yang sesuai dengan nilai minimum pada *window*, dilampirkan ke daftar *fingerprint*.

4.5.4. Fingerprint

Pada langkah ini digunakan untuk menghasilkan *fingerprint* dari *source code* yang diberikan. Langkah ini bisa dilihat pada Gambar 4.6

```
def generate_fingerprints(doc_path):
    """
    Give the path of a text file, this function generates fingerprints for the contents of the file.
    Parameters:
    -----
    doc_path - str
    path to the text file
    Returns:
    -----
    fingerprints - list of str
    list of fingerprints for the given document
    """
    with open(doc_path) as document:
        contents = document.read()
        # print(contents)
        # create a new instance of the WindowedDoc class with the updated constructor
        winnowed_doc = WindowedDoc(contents, k_gran_size, window_size, True)

        # call the fingerprints method on the new instance
        fingerprints = winnowed_doc.fingerprints
    return fingerprints
```

Gambar 4.6 Source code untuk tahap *Fingerprint*

Pada tahap ini akan memproses semua proses yang ada pada fungsi *winnowed_doc* sehingga membentuk *fingerprint* yang nantinya akan dibandingkan menggunakan *Jaccard Similarity*.

4.6. Jaccard Similarity

Setelah menemukan nilai *fingerprint* dari sebaran nilai *k* yang berbeda selanjutnya akan dilakukan pencocokan nilai *fingerprint* yang sama untuk mendapatkan nilai *similarity*.

4.6.1. Deklarasi fingerprint A dan B

Langkah pertama pada proses Jaccard *Similarity* yaitu mendeklarasikan 2 parameter yang akan diproses, yaitu kedua *fingerprint* dari kode yang akan dibandingkan. Berikut merupakan *source code* yang digunakan untuk melakukan proses Jaccard *Similarity*

```
def jaccard_coefficient(doc1_fp, doc2_fp):  
    """  
    Helper function that computes how similar 2 arrays of fingerprints are.  
    Parameters  
    -----  
    doc1_fp : list of str  
        list of fingerprints for 1 document  
    doc2_fp : list of str  
        list of fingerprints for the second document  
    Returns  
    -----  
    similarity : float  
        Similarity measure of the 2 documents  
    """  
    doc1_fp = set(doc1_fp)  
    doc2_fp = set(doc2_fp)
```

Gambar 4.7 *Source code* untuk proses Jaccard *Similarity*

Pada Gambar 4.7 terdapat fungsi `set()` yang berfungsi untuk mengubah *fingerprint* menjadi set yang akan menghilangkan *fingerprint* yang terduplikat dan memungkinkan operasi set yang efisien.

4.6.2. Perhitungan Jaccard Similarity

Langkah terakhir adalah menghitung *similarity* dengan rumus Jaccard *Similarity*. *Source code* perhitungan tersebut ditampilkan pada Gambar 4.8

```
def jaccard_coefficient(doc1_fp, doc2_fp):
    """
    Helper function that computes how similar 2 arrays of fingerprints are.
    Parameters
    -----
    doc1_fp : list of str
        list of fingerprints for 1 document
    doc2_fp : list of str
        list of fingerprints for the second document.
    Returns
    -----
    similarity : float
        Similarity measure of the 2 documents
    """
    doc1_fp = set(doc1_fp)
    doc2_fp = set(doc2_fp)

    Intersection = doc1_fp.intersection(doc2_fp)
    union = doc1_fp.union(doc2_fp)
    return (len(Intersection) / len(union)) * 100
```

Gambar 4.8 *Source code* untuk Perhitungan Jaccard *Similarity*

Variabel *intersection* digunakan untuk memberikan hasil dari operasi *intersection* antara *doc1_fp* dan *doc2_fp*, operasi tersebut mengembalikan satu set yang berisi elemen umum antara dua set. Variabel *union* ditetapkan sebagai hasil dari operasi gabungan antara *doc1_fp* dan *doc2_fp*, operasi ini mengembalikan satu set yang berisi semua elemen unik dari kedua set. Jaccard *Similarity* dihitung dengan membagi panjang himpunan irisan dengan panjang himpunan gabungan yang mewakili rasio sidik jari umum dengan total *fingerprint* yang unik.

4.7. Uji Coba dan Evaluasi

4.7.1. Lingkungan Uji Coba

Lingkungan uji coba pada penelitian ini berupa perangkat keras dan perangkat lunak yang digunakan untuk melakukan uji coba penerapan algoritma winnowing untuk mendeteksi plagiarisme pada *source code*. Lingkungan uji coba ini berupa laptop dengan spesifikasi perangkat keras yang digunakan sebagai berikut:

Processor	: 1,4 GHz Quad-Core Intel Core i5
Memory (RAM)	: 8 GB
Graphics	: Intel Iris Plus Graphics 645 1536 MB
Perangkat lunak yang digunakan sebagai berikut:	
Sistem Operasi	: MacOS Monterey Version 12.3.1
Pengembang	: Google Colaboratory
Bahasa Pemrograman	: Phyton

4.7.2. Skenario Uji Coba

Terdapat beberapa skenario uji coba yang dilakukan diantaranya:

- Perhitungan tingkat *similarity* dan waktu pemrosesan berdasarkan algoritma Winnowing dengan data berupa hasil dari *text preprocessing*. Data masukkan nilai k pada K-Gram berupa nilai bilangan prima 2, 3, 5, dan 7. Menggunakan nilai window bilangan prima 2 serta menggunakan nilai basis = 10. Data yang di uji menggunakan data hasil dari *text preprocessing*.
- Perhitungan tingkat *similarity* dan waktu pemrosesan berdasarkan algoritma Winnowing dengan data tanpa dilakukan *text preprocessing*. Data

masukkan nilai k pada K-Gram berupa nilai bilangan prima 2, 3, 5, dan 7. Menggunakan nilai window bilangan prima 2 serta menggunakan nilai basis = 10. Data yang di uji menggunakan data hasil tanpa dilakukan *text preprocessing*.

Hasil dari kedua skenario selanjutnya akan dilakukan perbandingan hasil tingkat *similarity* dan waktu pemrosesan berdasarkan algoritma Winnowing dengan data yang sudah dilakukan *text preprocessing* dan tanpa dilakukan *text preprocessing*.

4.7.3. Pembagian Data

Pada penelitian ini menggunakan data yang sudah dikategorikan secara manual, untuk kategori yang digunakan adalah kategori, yaitu kode yang terindikasi mirip dan tidak mirip. Masing-masing kategori tersebut akan melalui skenario uji coba yang akan dilakukan

4.7.4. Skenario 1 Perhitungan Tingkat *Similarity* dan Waktu Pemrosesan Algoritma Winnowing dengan Data yang sudah dilakukan *Text Preprocessing*

Pada skenario pengujian ini dilakukan perhitungan tingkat *similarity* dan waktu pemrosesan dari berbagai macam perbandingan yaitu menggunakan sample kode yang memiliki kategori mirip dengan tidak mirip dengan masing-masing 10 sample. Pemakaian hasil berdasarkan dari penggunaan *text preprocessing* dan tanpa *text preprocessing*. Serta menggunakan nilai k pada K-Gram yang bervariasi yaitu 2, 3, 5, dan 7.

Berikut hasil dari rata-rata perhitungan *similarity* dan waktu pemrosesan menggunakan algoritma Winnowing dari data dengan yang sudah melalui *text preprocessing* ditampilkan pada Tabel 4.1

Tabel 4.1 Hasil *Similarity* dan Waktu Pemrosesan Algoritma Winnowing dengan Data yang sudah dilakukan *Text Preprocessing* pada indikasi Tidak Mirip

Sample	Akurasi <i>Similarity</i>				Waktu pemrosesan			
	k=2	k=3	k=5	k=7	k=2	k=3	k=5	k=7
Sample 1	2,33%	2,05%	1,80%	1,77%	9s	13s	11s	11s
Sample 2	2,09%	1,97%	1,88%	1,80%	7s	12s	13s	12s
Sample 3	1,77%	1,41%	1,26%	1,25%	9s	10s	11s	10s
Sample 4	1,44%	1,69%	1,76%	1,85%	11s	12s	8s	21s
Sample 5	0,77%	1,08%	1,15%	1,26%	11s	16s	8s	10s
Sample 6	5,02%	4,97%	4,25%	4,11%	9s	10s	9s	8s
Sample 7	2,14%	3,13%	3,64%	3,90%	12s	10s	11s	21s
Sample 8	1,27%	1,70%	1,80%	2,03%	11s	14s	10s	12s
Sample 9	1,82%	2,93%	3,51%	3,89%	7s	11s	10s	14s
Sample 10	0,93%	1,42%	1,57%	1,63%	8s	10s	11s	9s

Berdasarkan Tabel 4.1 dengan indikasi tidak mirip maka nilai hasil *similarity* terkecil merupakan nilai paling baik, berdasarkan penggunaan data dari 10 sample yang telah melalui proses *text preprocessing* diketahui bahwa nilai $k = 2$ pada source code memiliki nilai rata-rata *similarity* 19,58%. Sedangkan untuk pemrosesan waktu dengan pemrosesan tercepat didapatkan pada pemrosesan dengan nilai $k = 2$ dan 5 dan memiliki rata-rata waktu pemrosesan tercepat yang berdekatan yaitu 9,4 detik dan 10,2 detik. Berikut hasil dari rata-rata perhitungan *similarity* dan waktu pemrosesan menggunakan algoritma Winnowing dari data dengan indikasi mirip pada Tabel 4.2

Tabel 4.2 Hasil Similarity dan Waktu Pemrosesan Algoritma Winnowing dengan Data yang sudah dilakukan Text Preprocessing pada indikasi Mirip

Sample	Persentase Similarity				Waktu pemrosesan			
	k=2	k=3	k=5	k=7	k=2	k=3	k=5	k=7
Sample 1	12,81%	14,25%	15,51%	16,21%	12s	10s	11s	30s
Sample 2	1,75%	2,66%	3,10%	3,51%	11s	9s	11s	11s
Sample 3	13,01%	14,72%	15,46%	15,91%	9s	10s	9s	8s
Sample 4	3,52%	4,98%	5,81%	6,25%	11s	9s	7s	9s
Sample 5	98,41%	96,06%	94,73%	93,64%	8s	9s	12s	13s
Sample 6	97,17%	90,70%	87,67%	84,44%	19s	9s	10s	11s
Sample 7	29,42%	30,48%	30,36%	30,50%	12s	11s	11s	10s
Sample 8	3,81%	5,69%	6,48%	6,81%	7s	10s	8s	9s
Sample 9	78,70%	56,73%	41,83%	37,73%	11s	11s	9s	14s
Sample 10	29,34%	31,59%	29,09%	26,16%	11s	10s	10s	11s

Berdasarkan Tabel 4.2 dengan indikasi tidak mirip maka nilai hasil *similarity* terbesar merupakan nilai paling baik, berdasarkan penggunaan data dari 10 sample yang telah melalui proses *text preprocessing* diketahui bahwa nilai $k = 7$ pada source code memiliki nilai rata-rata *similarity* 367,94%. Sedangkan untuk pemrosesan waktu dengan pemrosesan tercepat didapatkan pada pemrosesan dengan nilai $k=3$ dan 5 dan memiliki rata-rata waktu pemrosesan tercepat yang sama yaitu 9,8 detik. Berikut grafik perbandingan hasil *similarity* menggunakan data yang sudah dilakukan *text preprocessing* dengan indikasi mirip dan tidak mirip ditampilkan pada Gambar 4.9



Gambar 4.9 Grafik Perbandingan Nilai *Similarity* dengan data yang telah dilakukan *text preprocessing*

Grafik pada Gambar 4.9 menampilkan bahwa perbandingan nilai *similarity* antara tabel 4.1 dan 4.2 pada pemrosesan dengan data yang telah dilakukan *text preprocessing* mendapatkan hasil bahwa untuk rata-rata nilai *similarity* dengan indikasi mirip memiliki nilai *similarity* diatas 3% sedangkan nilai *similarity* dengan indikasi tidak mirip memiliki nilai *similarity* dibawah 1%.

4.7.5. Skenario 2 Perhitungan Tingkat *Similarity* dan Waktu Pemrosesan

Algoritma *Winnowing* dengan Data tanpa *Text Preprocessing*

Pada skenario pengujian ini dilakukan perhitungan tingkat *similarity* dan waktu pemrosesan dari berbagai macam perbandingan yaitu menggunakan sample kode yang memiliki kategori mirip dengan tidak mirip dengan masing-masing 10 sample. Pemakaian hasil berdasarkan dari penggunaan tanpa *text preprocessing*. Serta menggunakan nilai k pada *K-Gram* yang bervariasi yaitu 2, 3, 5, dan 7.

Tabel 4.3 Hasil Similarity dan Waktu Pemrosesan Algoritma Winnowing dengan Data tanpa Text Preprocessing pada indikasi Tidak Mirip

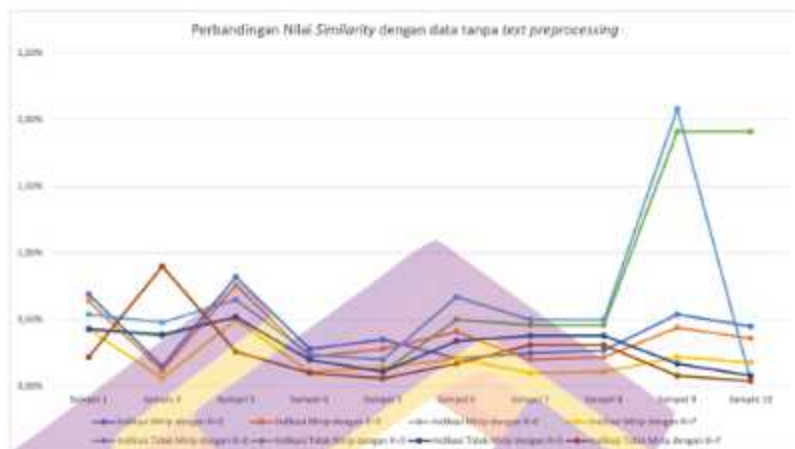
Sample	Persentase Similarity				Waktu pemrosesan			
	k=2	k=3	k=5	k=7	k=2	k=3	k=5	k=7
Sample 1	0,54%	0,43%	0,43%	0,22%	6s	9s	12s	13s
Sample 2	0,48%	0,38%	0,39%	0,9%	20s	8s	8s	7s
Sample 3	0,65%	0,52%	0,52%	0,26%	9s	10s	8s	8s
Sample 4	0,24%	0,20%	0,2%	0,10%	19s	14s	12s	17s
Sample 5	0,2%	0,11%	0,11%	0,06%	17s	10s	17s	7s
Sample 6	0,67%	0,50%	0,34%	0,17%	8s	11s	12s	10s
Sample 7	0,50%	0,46%	0,38%	0,31%	10s	11s	9s	7s
Sample 8	0,50%	0,46%	0,38%	0,31%	10s	7s	8s	11s
Sample 9	2,08%	1,91%	0,17%	0,08%	6s	6s	9s	9s
Sample 10	0,04%	1,91%	0,08%	0,04%	10s	11s	10s	10s

Berdasarkan Tabel 4.3 dengan indikasi tidak mirip maka nilai hasil *similarity* terkecil merupakan nilai paling baik, berdasarkan penggunaan data dari 10 sample yang telah melalui proses *text preprocessing* diketahui bahwa nilai $k = 7$ pada source code memiliki nilai rata-rata *similarity* 2,45%. Sedangkan untuk pemrosesan waktu dengan pemrosesan tercepat didapatkan pada pemrosesan dengan nilai $k = 5$ dan 7 dan memiliki rata-rata waktu pemrosesan tercepat yang berdekatan yaitu 9,7 dan 9,9 detik. Berikut hasil dari rata-rata perhitungan *similarity* dan waktu pemrosesan menggunakan algoritma Winnowing dari data dengan indikasi mirip pada Tabel 4.4

Tabel 4.4 Hasil Similarity dan Waktu Pemrosesan Algoritma Winnowing dengan Data tanpa Text Preprocessing pada indikasi Mirip

Sample	Persentase Similarity				Waktu pemrosesan			
	k=2	k=3	k=5	k=7	k=2	k=3	k=5	k=7
Sample 1	0,69%	0,64%	0,53%	0,43%	9s	10s	20s	10s
Sample 2	0,15%	0,12%	0,12%	0,06%	11s	7s	6s	12s
Sample 3	0,82%	0,76%	0,63%	0,50%	10s	15s	8s	10s
Sample 4	0,28%	0,22%	0,22%	0,11%	7s	7s	8s	8s
Sample 5	0,35%	0,28%	0,28%	0,14%	14s	6s	7s	7s
Sample 6	0,21%	0,41%	0,41%	0,21%	8s	6s	8s	8s
Sample 7	0,25%	0,20%	0,20%	0,10%	8s	8s	9s	8s
Sample 8	0,27%	0,22%	0,22%	0,11%	10s	12s	26s	7s
Sample 9	0,54%	0,44%	0,44%	0,22%	8s	9s	7s	8s
Sample 10	0,45%	0,36%	0,36%	0,18%	7s	7s	8s	8s

Berdasarkan Tabel 4.3 dengan indikasi mirip maka nilai hasil *similarity* terbesar merupakan nilai paling baik, berdasarkan penggunaan data dari 10 sample yang telah melalui proses *text preprocessing* diketahui bahwa nilai $k = 2$ pada source code memiliki nilai rata-rata *similarity* 4,01%. Sedangkan untuk pemrosesan waktu dengan pemrosesan tercepat didapatkan pada pemrosesan dengan nilai $k = 7$ dan memiliki rata-rata waktu pemrosesan tercepat yaitu 8,6 detik. Berikut grafik perbandingan hasil *similarity* menggunakan data tanpa *text preprocessing* dengan indikasi mirip dan tidak mirip ditampilkan pada Gambar 4.10



Gambar 4.10 Grafik Perbandingan Nilai *Similarity* dengan data tanpa *text preprocessing*

Grafik pada Gambar 4.10 menampilkan bahwa perbandingan nilai *similarity* antara tabel 4.3 dan 4.4 pada pemrosesan dengan data tanpa dilakukan *text preprocessing* mendapatkan hasil bahwa untuk rata-rata nilai *similarity* dengan indikasi mirip dan tidak mirip memiliki nilai dibawah 1%.

4.7.6. Hasil Perbandingan Hasil Tingkat *Similarity* dan Waktu Pemrosesan berdasarkan Data dengan *Text Preprocessing* dan Tanpa *Text Preprocessing*

Pada skenario pengujian ini dilakukan perbandingan dari hasil tingkat *similarity* dan waktu pemrosesan dari berbagai macam perbandingan seperti pemakaian variasi data source code dengan 10 sample dengan emakaian hasil *text preprocessing* dan tanpa *text preprocessing* menggunakan algoritma *Winnowing*.

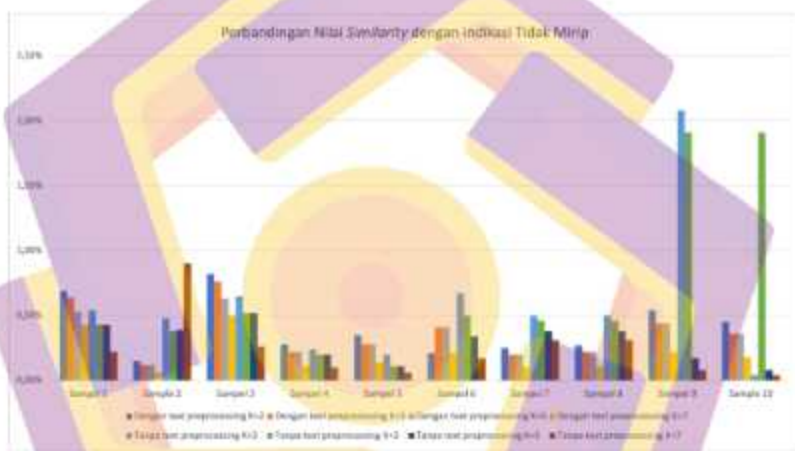
Berikut perbandingan hasil 10 sample dari perhitungan *similarity* dan waktu pemrosesan menggunakan algoritma WInnowing dari data dengan indikasi tidak mirip pada *text preprocessing* dan tanpa *text preprocessing* ditampilkan pada tabel 4.5

Tabel 4.5 Hasil *Similarity* dan Waktu Pemrosesan berdasarkan Algoritma WInnowing Berdasarkan *Text Preprocessing* dan tanpa *Text Preprocessing* pada indikasi Tidak Mirip

Sample	Persentase <i>Similarity</i> dengan <i>text preprocessing</i>				Waktu pemrosesan dengan <i>text preprocessing</i>				Persentase <i>Similarity</i> tanpa <i>text preprocessing</i>				Waktu pemrosesan tanpa <i>text preprocessing</i>			
	k=2	k=3	k=5	k=7	k=2	k=3	k=5	k=7	k=2	k=3	k=5	k=7	k=2	k=3	k=5	k=7
Sample 1	2,33%	2,05%	1,86%	1,77%	9s	13s	11s	11s	0,54%	0,43%	0,43%	0,22%	6s	9s	12s	13s
Sample 2	2,09%	1,97%	1,88%	1,80%	7s	12s	13s	12s	0,48%	0,38%	0,39%	0,9%	20s	8s	8s	7s
Sample 3	1,77%	1,41%	1,26%	1,25%	9s	10s	11s	10s	0,65%	0,52%	0,52%	0,26%	9s	10s	8s	8s
Sample 4	1,44%	1,69%	1,76%	1,85%	11s	12s	8s	21s	0,24%	0,20%	0,2%	0,10%	19s	14s	12s	17s
Sample 5	0,77%	1,08%	1,15%	1,26%	11s	16s	8s	10s	0,2%	0,11%	0,11%	0,06%	17s	10s	17s	7s
Sample 6	5,02%	4,97%	4,25%	4,11%	9s	10s	9s	8s	0,67%	0,50%	0,34%	0,17%	8s	11s	12s	10s
Sample 7	2,14%	3,13%	3,64%	3,90%	12s	10s	11s	21s	0,50%	0,46%	0,38%	0,31%	10s	11s	9s	7s
Sample 8	1,27%	1,70%	1,80%	2,03%	11s	14s	10s	12s	0,50%	0,46%	0,38%	0,31%	10s	7s	8s	11s
Sample 9	1,82%	2,93%	3,51%	3,89%	7s	11s	10s	14s	2,08%	1,91%	0,17%	0,08%	6s	6s	9s	9s
Sample 10	0,95%	1,42%	1,57%	1,65%	8s	10s	11s	9s	0,04%	1,91%	0,08%	0,04%	10s	11s	10s	10s

Terdapat hasil perbandingan dari hasil nilai *similarity* terkecil pada data indikasi tidak mirip dengan data yang berdasarkan pemrosesan tanpa *text preprocessing* yaitu didapatkan oleh pemrosesan dari algoritma WInnowing dengan nilai $k = 7$ dengan nilai *similarity* yaitu 2,45%. Serta mendapatkan nilai *similarity* terkecil pada data indikasi tidak mirip dengan data yang berdasarkan pemrosesan

dengan *text preprocessing* yaitu didapatkan oleh pemrosesan dari algoritma *Winnowing* dengan nilai $k = 2$ dengan nilai *similarity* yaitu 19,58%. Sedangkan untuk waktu pemrosesan tercepat didapatkan pada algoritma *Winnowing* dengan *text preprocessing* dengan nilai $k = 2$ dengan waktu pemrosesan 9,4 detik. Berikut grafik perbandingan hasil *similarity* menggunakan kedua data dengan indikasi tidak mirip ditampilkan pada Gambar 4.11



Gambar 4.11 Grafik Perbandingan Nilai *Similarity* dengan Indikasi Tidak Mirip

Grafik pada Gambar 4.11 menampilkan bahwa perbandingan nilai *similarity* antara tabel 4.5 dengan kedua data, yaitu data yang dilakukan *text preprocessing* dan tanpa *text preprocessing* dengan indikasi tidak mirip mendapatkan hasil bahwa untuk rata-rata nilai *similarity* adalah dibawah 2%. Berikut merupakan hasil nilai *similarity* dan waktu pemrosesan menggunakan algoritma *Winnowing* dengan *text preprocessing* dan tanpa *text preprocessing* dengan indikasi mirip ditampilkan pada Tabel 4.6.

Tabel 4.6 Hasil Similarity dan Waktu Pemrosesan berdasarkan Algoritma Winnowing Berdasarkan Text Preprocessing dan tanpa Text Preprocessing pada indikasi Mirip

Sample	Persentase Similarity dengan <i>test preprocessing</i>				Waktu pemrosesan dengan <i>test preprocessing</i>				Persentase Similarity tanpa <i>test preprocessing</i>				Waktu pemrosesan tanpa <i>test preprocessing</i>			
	k=2	k=3	k=5	k=7	k=2	k=3	k=5	k=7	k=2	k=3	k=5	k=7	k=2	k=3	k=5	k=7
Sample 1	12,81 %	14,25 %	15,51 %	16,21 %	12s	10s	11s	30s	0,69%	0,64%	0,53%	0,43%	9s	10s	20s	10s
Sample 2	1,75%	2,66%	3,10%	3,51%	11s	9s	11s	11s	0,15%	0,12%	0,12%	0,06%	11s	7s	6s	12s
Sample 3	13,01 %	14,72 %	15,46 %	15,91 %	9s	10s	9s	8s	0,82%	0,76%	0,63%	0,50%	10s	15s	8s	10s
Sample 4	3,52%	4,98%	5,81%	6,25%	11s	9s	7s	9s	0,28%	0,22%	0,22%	0,11%	7s	7s	8s	8s
Sample 5	98,41 %	96,06 %	94,73 %	93,64 %	8s	9s	12s	13s	0,35%	0,28%	0,28%	0,14%	14s	6s	7s	7s
Sample 6	97,17 %	90,70 %	87,67 %	84,44 %	19s	9s	10s	11s	0,21%	0,41%	0,41%	0,21%	8s	6s	8s	8s
Sample 7	29,42 %	30,48 %	30,36 %	30,50 %	12s	11s	11s	10s	0,25%	0,20%	0,20%	0,10%	8s	8s	9s	8s
Sample 8	3,81%	5,69%	6,48%	6,81%	7s	10s	8s	9s	0,27%	0,22%	0,22%	0,11%	10s	12s	26s	7s
Sample 9	78,70 %	58,73 %	41,83 %	37,73 %	11s	11s	9s	14s	0,54%	0,44%	0,44%	0,22%	8s	9s	7s	8s
Sample 10	29,34 %	31,59 %	29,09 %	26,16 %	11s	10s	10s	11s	0,45%	0,36%	0,36%	0,18%	7s	7s	8s	8s

Terdapat hasil perbandingan dari hasil nilai *similarity* terbesar pada data indikasi mirip dengan data yang berdasarkan pemrosesan tanpa *test preprocessing* yaitu didapatkan oleh pemrosesan dari algoritma Winnowing dengan nilai $k = 2$ dengan nilai *similarity* yaitu 4,01%. Serta mendapatkan nilai *similarity* terbesar pada data indikasi mirip dengan data yang berdasarkan pemrosesan dengan *test preprocessing* yaitu didapatkan oleh pemrosesan dari algoritma Winnowing dengan nilai $k = 2$ dengan nilai *similarity* yaitu 367,94. Sedangkan untuk waktu pemrosesan tercepat didapatkan pada algoritma Winnowing tanpa *test preprocessing* nilai $k = 7$

dengan waktu pemrosesan 8,6 detik. Berikut grafik perbandingan hasil *similarity* menggunakan kedua data dengan indikasi mirip ditampilkan pada Gambar 4.12



Gambar 4.12 Grafik Perbandingan Nilai *Similarity* dengan Indikasi Mirip

Grafik pada Gambar 4.12 menampilkan bahwa perbandingan nilai *similarity* antara tabel 4.6 dengan kedua data, yaitu data yang dilakukan *text preprocessing* dan tanpa *text preprocessing* dengan indikasi tidak mirip mendapatkan hasil untuk data yang sudah dilakukan *text preprocessing* memiliki hasil nilai *similarity* yang cukup tinggi dengan rata-rata diatas 3% sedangkan untuk nilai *similarity* tanpa dilakukan *text preprocessing* memiliki rata-rata dibawah 3%.

4.7.7. Evaluasi Skenario 1

Berdasarkan skenario 1 yaitu menggunakan algoritma *Winnowing* sebagai pendeteksi *similarity* yaitu dengan menggunakan 10 sample yang berdasarkan dengan data dengan pemrosesan *text preprocessing* dengan 2 indikasi, yaitu indikasi tidak mirip dan mirip.

Didapatkan hasil pada rata-rata berdasarkan data dengan pemrosesan *text preprocessing* pada indikasi tidak mirip pada Tabel 4.1 bahwa penerapan nilai k yang bervariasi dari nilai $k = 2, 3, 5$ dan 7 . Rata-rata waktu pemrosesan pada skenario 1 memiliki waktu yang cukup baik dan tercepat pada nilai $k=2$ dan 3 dan menghasilkan pengaruh nilai k terhadap perbedaan hasil rata-rata *similarity* yaitu jika nilai k semakin kecil maka nilai *similarity* semakin kecil, hal itu dibuktikan pada hasil rata-rata dari nilai $k, k=2$ memiliki rata-rata nilai *similarity* terendah yaitu $19,58\%$. Untuk penggunaan data dengan indikasi tidak mirip, semakin kecil nilainya akan semakin baik sehingga sesuai dengan indikasi awal. Nilai *similarity* yang didapatkan pada 10 sample yang ada termasuk nilai *similarity* yang cukup rendah karena nilai *similarity* tidak mencapai 50% sehingga dapat disimpulkan bahwa lebih dari 90% code yang dibandingkan tidak memiliki indikasi mirip.

Selanjutnya hasil pada rata-rata berdasarkan data dengan pemrosesan *text preprocessing* pada indikasi mirip pada Tabel 4.2 bahwa penerapan nilai k yang bervariasi dari nilai $k = 2, 3, 5$, dan 7 menghasilkan bahwa pengaruh terhadap pengaruh nilai k terhadap perbedaan hasil rata-rata *similarity* yaitu semakin tinggi nilai k maka nilai *similarity* yang dihasilkan semakin tinggi, hal itu dibuktikan pada nilai $k = 7$ mendapatkan rata-rata nilai *similarity* $367,94\%$. Untuk penggunaan data indikasi mirip, semakin besar nilai *similarity* nya akan semakin baik sehingga sesuai dengan indikasi awal. Pada 10 sample yang diujikan terdapat beberapa nilai *similarity* yang cukup tinggi yaitu diatas 70% . Hal itu membuktikan bahwa Algoritma Winnowing dengan data yang sudah melalui *text preprocessing* dapat melakukan pendeteksian plagiarisme pada source code. Penerapan *text*

preprocessing untuk mendeteksi kesamaan dalam lebih cocok bila diterapkan proses *stopword removal* karena kombinasi mereka dapat membuat kata-kata unik yang dihasilkan dari *text preprocessing* untuk membantu proses pencocokan ketika melibatkan perubahan posisi (Budiman & Widjaja, 2020).

Terdapat juga beberapa sampel yang memiliki nilai *similarity* rendah pada sampel yang terindikasi mirip hal itu dikarenakan algoritma *Winnowing* kurang bisa mendeteksi *source code* yang mirip namun memiliki variabel yang namanya berbeda sehingga algoritma *Winnowing* bisa melakukan pendeteksian *source code* dengan baik apabila kode yang dibandingkan memiliki fungsi atau nama yang sama. Algoritma *winnowing* bisa menemukan apabila terdapat kata yang hanya dirubah posisinya karena dapat menemukan nilai *fingerprint* yang sama dalam teks dokumen meskipun telah dilakukan perubahan posisi kata dalam teks, namun nilai *similarity* yang diberikan mengalami penurunan disebabkan karena beberapa terdapat beberapa perubahan nama variabel sehingga *fingerprint* yang ditemukan bukan *fingerprint* dengan nilai terkecil dalam suatu *window* (Ridho, 2013)

4.7.8. Evaluasi Skenario 2

Berdasarkan skenario 2 yaitu menggunakan algoritma *Winnowing* sebagai pendeteksi *similarity* yaitu dengan menggunakan 10 sample yang berdasarkan dengan data tanpa *text preprocessing* dengan 2 indikasi, yaitu indikasi tidak mirip dan mirip.

Didapatkan hasil pada rata-rata berdasarkan data tanpa *text preprocessing* pada indikasi tidak mirip pada Tabel 4.3 bahwa penerapan nilai k yang bervariasi dari nilai $k = 2, 3, 5$ dan 7 menghasilkan bahwa rata-rata waktu pemrosesan pada

skenario 2 memiliki waktu yang cukup baik dan tercepat pada nilai $k=7$ dan pengaruh nilai k terhadap perbedaan hasil rata-rata *similarity* yaitu penggunaan nilai k pada kgram dengan nilai kecil akan menaikkan nilai tingkat *similarity* dan semakin besar nilai k pada kgram akan memperkecil nilai *similarity* serta didapatkan (Hidayat et al., 2020), hal itu dibuktikan pada 10 sampel yang disediakan, 8 diantaranya apabila nilai k nya cukup tinggi maka semakin rendah nilai *similarity*. Hal itu bisa terjadi karena ketika pengelompokan k-gram terdapat banyak angka yang harus dibandingkan, sehingga ketika dibandingkan kesamaan nilai k nya akan sulit ditemukan.. Untuk penggunaan data dengan indikasi tidak mirip, semakin kecil nilainya akan semakin baik sehingga sesuai dengan indikasi awal. Nilai *similarity* yang didapatkan pada 10 sample yang ada termasuk nilai *similarity* yang cukup rendah karena nilai *similarity* tidak mencapai 50% sehingga dapat disimpulkan bahwa lebih dari 90% code yang dibandingkan tidak memiliki indikasi mirip dan penyebab lainnya adalah karena data yang digunakan tanpa dilakukan *text preprocessing* sehingga spasi dan karakter mempengaruhi cukup banyak sehingga nilai *similarity* yang dihasilkan cukup kecil oleh karena itu diperlukan proses *stopword removal* dengan menerapkan *stop word removal* dapat mengurangi waktu untuk proses selanjutnya dan dapat meningkatkan akurasi (Gunawan et al., 2018).

Selanjutnya hasil pada rata-rata berdasarkan data tanpa *text preprocessing* pada indikasi mirip pada Tabel 4.4 bahwa penerapan nilai k yang bervariasi dari nilai $k = 2, 3, 5,$ dan 7 menghasilkan bahwa pengaruh terhadap pengaruh nilai k terhadap perbedaan hasil rata-rata *similarity* yaitu semakin kecil nilai k maka nilai

similarity yang dihasilkan semakin tinggi, hal itu dibuktikan pada keseluruhan sampel yang ada ketika nilai $k=2$ mendapatkan hasil *similarity* yang paling tinggi diantara nilai k yang lain. Untuk penggunaan data indikasi mirip, semakin besar nilai *similarity* nya akan semakin baik sehingga sesuai dengan indikasi awal. Pada 10 sample yang diujikan terdapat beberapa nilai *similarity* yang dihasilkan cukup rendah karena tidak mencapai 1%, hal itu bisa terjadi karena tidak ada proses *text preprocessing* yang terjadi.

4.7.9. Evaluasi Perbandingan dari 2 Skenario

Berdasarkan hasil dari 2 skenario yang telah dilakukan yaitu menggunakan algoritma Winnowing sebagai pendeteksi *similarity* yaitu dengan menggunakan 10 sample yang berdasarkan dengan data dengan *text preprocessing* dan data tanpa *text preprocessing* dengan 2 indikasi, yaitu indikasi tidak mirip dan mirip.

Didapatkan hasil pada rata-rata berdasarkan data dengan *text preprocessing* dan tanpa *text preprocessing* pada indikasi tidak mirip pada Tabel 4.5 bahwa penerapan nilai k yang bervariasi dari nilai $k = 2, 3, 5$ dan 7 . Rata-rata waktu pemrosesan pada skenario 3 memiliki waktu yang cukup baik dan tercepat pada nilai $k=7$. Serta menghasilkan *similarity* terendah pada data tanpa *text preprocessing*, hal tersebut bisa terjadi karena data yang dibandingkan merupakan data asli sehingga spasi, karakter, dan jumlah line yang berbeda dapat membuat data yang dibandingkan memiliki nilai *similarity* yang kecil. Nilai *similarity* yang kecil pada indikasi tidak mirip bisa dikatakan baik, namun belum tentu akurat. Sehingga pada data dengan *text preprocessing* memiliki nilai *similarity* yang lebih tinggi daripada data tanpa *text preprocessing* namun keakuratannya terjamin karena

dapat disimpulkan bahwa proses *text preprocessing* dapat menyebabkan penurunan nilai kemiripan, dibandingkan dengan nilai yang akan diperoleh jika kita menghitung kemiripan teks tanpa *preprocessing*. Dengan kata lain, perbedaan antara teks terlihat jelas ketika kesamaan teks dihitung setelah teks *preprocessing* (Petrović & Stanković, 2019)

Selanjutnya hasil pada rata-rata berdasarkan data dengan *text preprocessing* dan tanpa *text preprocessing* pada indikasi mirip pada Tabel 4.6 bahwa penerapan nilai k yang bervariasi dari nilai $k = 2, 3, 5,$ dan 7 menghasilkan bahwa pengaruh pada data tanpa *text preprocessing* terhadap pengaruh nilai k dengan nilai *similarity* adalah semakin kecil nilai k , maka nilai *similarity* yang dihasilkan semakin tinggi. Hal tersebut bisa terjadi dikarena apabila nilai k nya kecil sehingga jumlah *k-grams* yang dibandingkan semakin kecil dan detail. Selain itu juga mendapatkan hasil bahwa pengaruh pada data dengan *text preprocessing* terhadap pengaruh nilai k dengan nilai *similarity* adalah semakin besar nilai k , maka nilai *similarity* yang dihasilkan semakin tinggi. Hal tersebut bisa terjadi karena apabila *source code* yang dibandingkan memiliki fungsi pada line yang sama maka akan menghasilkan nilai *similarity* yang tinggi.

BAB V

PENUTUP

5.1. Kesimpulan

Kesimpulan yang dihasilkan berdasarkan skenario pengujian dan evaluasi diantaranya adalah:

- a. Algoritma winnowing bisa digunakan untuk melakukan pendeteksian *source code*, algoritma winnowing pada umumnya digunakan untuk melakukan pendeteksian pada teks dokumen. Namun memiliki beberapa kekurangan apabila membandingkan *source code* yang memiliki jumlah *line code* yang berbeda, sehingga akan memperkecil nilai *similarity*-nya dan apabila *source code* yang isinya sama namun hanya memindahkan posisinya saja.
- b. Hasil nilai *similarity* dengan data tanpa *text preprocessing* dari 10 sample pada indikasi mirip dan 10 sampel pada indikasi tidak mirip mendapatkan hasil *similarity* yang kecil yang rata-rata dibawah 1%, sedangkan penerapan algoritma winnowing dengan data yang sudah melalui *text preprocessing* lebih akurat dibandingkan dengan data tanpa melalui *text preprocessing* karena pada hasil *similarity* pada data yang memiliki indikasi mirip tidak ada yang mencapai 50% sedangkan pada data dengan melalui *text preprocessing* terdapat hasil *similarity* lebih dari 70% dengan menggunakan nilai $k = 2, 3, 5$, dan 7 serta nilai *window* = 3.
- c. *Text preprocessing* sangat mempengaruhi hasil *similarity* pada pendeteksian *source code* menggunakan algoritma winnowing. Hal itu disebabkan apabila *source code* yang dibandingkan tidak dilakukan proses *text preprocessing* akan

membuat jumlah karakter dan spasi yang dibandingkan cukup banyak dan membuat waktu pemrosesan cukup lama.

5.2. Saran

Terdapat saran untuk penelitian selanjutnya, diantaranya:

- a. Menambah mekanisme atau algoritma lainnya untuk mendeteksi plagiarisme apabila kode hanya merubah nama variabelnya saja.
- b. Disarankan menambahkan pengecekan apabila hanya merubah posisi *line code*.
- c. Dapat menggunakan algoritma yang lebih optimal dalam membandingkan plagiarisme pada *source code* dengan pendekatan berbasis kode berorientasi atribut atau berbasis kode berorientasi struktur.

DAFTAR PUSTAKA

PUSTAKA MAJALAH, JURNAL ILMIAH ATAU PROSIDING

- Anjali, V., Swapna, T. R., & Jayaraman, B. (2015). Plagiarism Detection for Java Programs without Source Codes. *Procedia Computer Science*, 46, 749–758. <https://doi.org/10.1016/j.procs.2015.02.143>
- Awale, N., Pandey, M., Dulal, A., & Timsina, B. (2020). Plagiarism Detection in Programming Assignments using Machine Learning. *Journal of Artificial Intelligence and Capsule Networks*, 2(3), 177–184. <https://doi.org/10.36548/jaicn.2020.3.005>
- Bao, T., Zheng, Y., & Zhang, X. (2012). White box sampling in uncertain data processing enabled by program analysis. *ACM SIGPLAN Notices*, 47(10), 897–914. <https://doi.org/10.1145/2398857.2384681>
- Barrón-Cedeno, A., Eiselt, A., & Rosso, P. (2009). Monolingual Text Similarity Measures: A Comparison of Models over Wikipedia Articles Revisions. *ICON*, 29–38.
- Bebbington, Shaun. (2014). What is coding. . *Learn Programming-What Is Programming*.
- Budiman, A. E., & Widjaja, A. (2020). Analisis Pengaruh Teks Preprocessing Terhadap Deteksi Plagiarisme Pada Dokumen Tugas Akhir. *Jurnal Teknik Informatika Dan Sistem Informasi*, 6(3). <https://doi.org/10.28932/jutisi.v6i3.2892>
- Burrows, S., Tahaghoghi, S. M., & Zobel, J. (2004). *Efficient and effective plagiarism detection for large code repositories*. 8–15.

- Cheers, H., Lin, Y., & Smith, S. P. (2021). Academic Source Code Plagiarism Detection by Measuring Program Behavioral Similarity. *IEEE Access*, *9*, 50391–50412. <https://doi.org/10.1109/ACCESS.2021.3069367>
- Cosma, G., & Joy, M. (2008). Towards a definition of source-code plagiarism. *IEEE Transactions on Education*, *51*(2), 195–200. <https://doi.org/10.1109/TE.2007.906776>
- Ferrante, J., Ottenstein, K. J., & Warren, J. D. (1987). The program dependence graph and its use in optimization. *ACM Transactions on Programming Languages and Systems*, *9*(3), 319–349. <https://doi.org/10.1145/24039.24041>
- Gomaa, W. H., & Fahmy, A. A. (2013). A Survey of Text Similarity Approaches. In *International Journal of Computer Applications* (Vol. 68, Issue 13).
- Gunawan, D., Sembiring, C. A., & Budiman, M. A. (2018). The Implementation of Cosine Similarity to Calculate Text Relevance between Two Documents. *Journal of Physics: Conference Series*, *978*(1). <https://doi.org/10.1088/1742-6596/978/1/012120>
- Haddi, E., Liu, X., & Shi, Y. (2013). The Role of Text Pre-processing in Sentiment Analysis. *Procedia Computer Science*, *17*, 26–32. <https://doi.org/10.1016/j.procs.2013.05.005>
- Hage, J., Rademaker, P., & van Vugt, N. (2011). *Plagiarism detection for Java: a tool comparison*. 33–46.

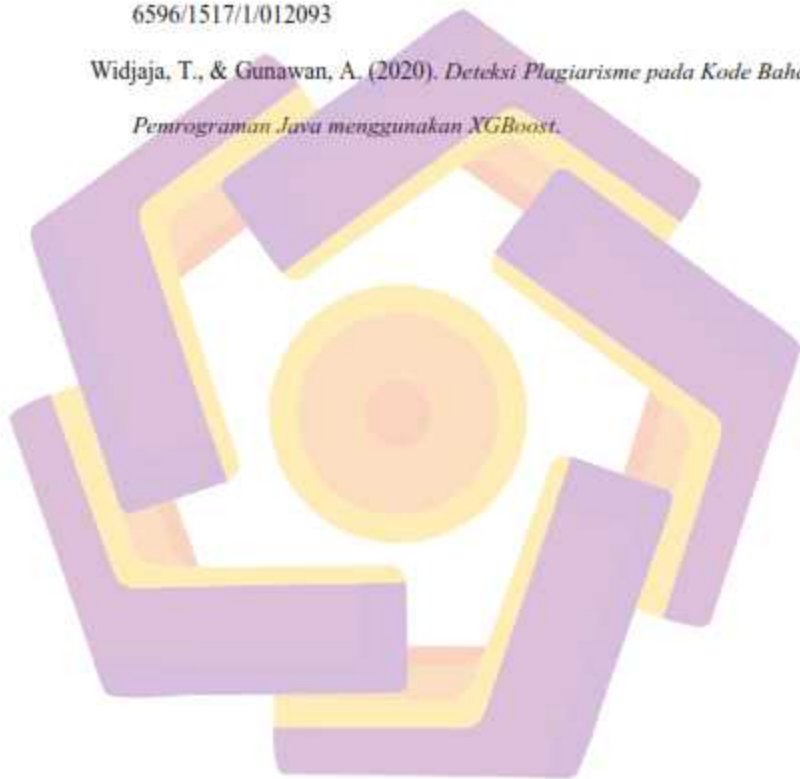
- Hidayat, W., Utami, E., & Hartanto, A. D. (2020). Pemilihan Parameter Terbaik pada Algoritma Winnowing dalam Mendeteksi Tingkat Kesamaan Dokumen Bahasa Indonesia. *Citec Journal*, 7(2).
- Jhi, Y.-C., Wang, X., Jia, X., Zhu, S., Liu, P., & Wu, D. (2011). Value-based program characterization and its application to software plagiarism detection. *Proceedings of the 33rd International Conference on Software Engineering*, 756–765. <https://doi.org/10.1145/1985793.1985899>
- Joy, M., & Luck, M. (1999). Plagiarism in programming assignments. *IEEE Transactions on Education*, 42(2), 129–133. <https://doi.org/10.1109/13.762946>
- Leman, D., Riza, B. S., & Akbbar, M. B. (2019). *RABIN KARP AND WINNOWING ALGORITHM FOR STATISTICS OF TEXT DOCUMENT PLAGIARISM DETECTION*.
- Li, S., Xiao, X., Bassett, B., Xie, T., & Tillmann, N. (2016). Measuring code behavioral similarity for programming and software engineering education. *Proceedings of the 38th International Conference on Software Engineering Companion*, 501–510. <https://doi.org/10.1145/2889160.2889204>
- Luo, L., Ming, J., Wu, D., Liu, P., & Zhu, S. (2017). Semantics-Based Obfuscation-Resilient Binary Code Similarity Comparison with Applications to Software and Algorithm Plagiarism Detection. *IEEE Transactions on Software Engineering*, 43(12), 1157–1177. <https://doi.org/10.1109/TSE.2017.2655046>

- Petrović, Đ., & Stanković, M. (2019). THE INFLUENCE OF TEXT PREPROCESSING METHODS AND TOOLS ON CALCULATING TEXT SIMILARITY. *Facta Universitatis, Series: Mathematics and Informatics*, 973. <https://doi.org/10.22190/fumi1905973d>
- Purbo, O. W. (2019). *Text Mining: Analisis Medsos, Kekuatan Brand, Dan Intelijen Di Internet*. ANDI.
- Purwitasari, D., Kusmawan, P. Y., & Yuhana, U. L. (2011). DETEKSI KEBERADAAN KALIMAT SAMA SEBAGAI INDIKASI PENJIPLAKAN DENGAN ALGORITMA HASHINGBERBASIS-N-GRAM. *Jurnal Ilmiah KURSOR*.
- Puspaningrum, E. Y., Nugroho, B., Setiawan, A., & Hariyanti, N. (2020). Detection of Text Similarity for Indication Plagiarism Using Winnowing Algorithm Based K-gram and Jaccard Coefficient. *Journal of Physics: Conference Series*, 1569(2). <https://doi.org/10.1088/1742-6596/1569/2/022044>
- Ramdhani, R., Fadlil, A., & Sunardi, S. (2022). Penerapan Algoritma Winnowing dan Word-Level Trigrams Untuk Mengidentifikasi Kesamaan Kata. *JURIKOM (Jurnal Riset Komputer)*, 9(2), 427. <https://doi.org/10.30865/jurikom.v9i2.4060>
- Ramli, M. S., Cokrowibowo, S., & Rustan, M. F. (2021). Uji Plagiarism pada Tugas Mahasiswa Menggunakan Algoritma Winnowing. *Journal of Applied Computer Science and Technology*, 2(2), 108–112. <https://doi.org/10.52158/jacost.v2i2.177>

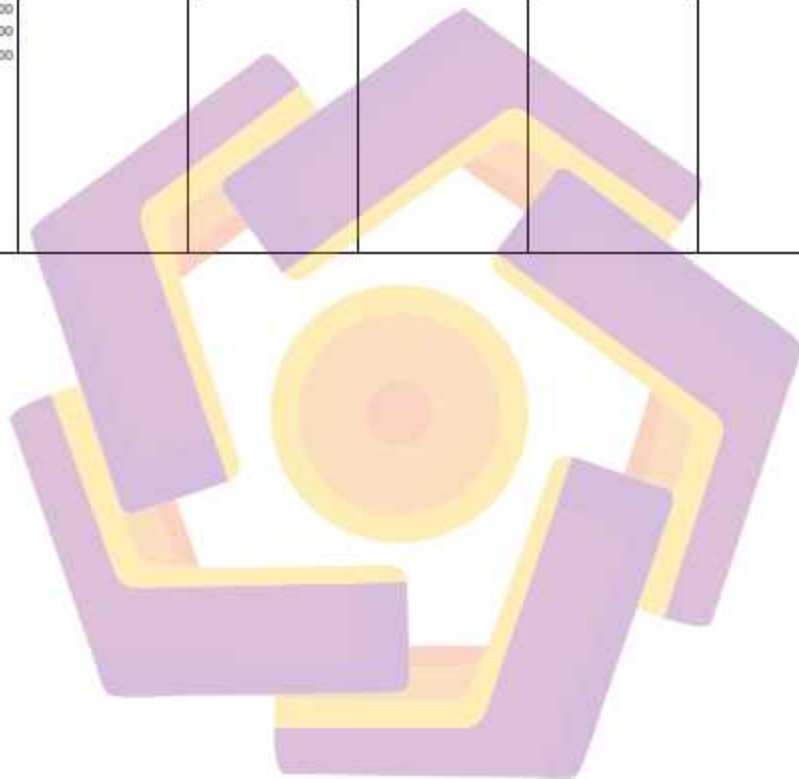
- Ridho, M. (2013). Rancang Bangun Aplikasi Pendeteksi Penjiplakan Dokumen Menggunakan Algoritma Biword Wnnowing. (*Doctoral Dissertation, UNIVERSITAS ISLAM NEGERI SULTAN SYARIEF KASIM RIAU*).
- Rinartha, K. (2017). SIMPLE QUERY SUGGESTION UNTUK PENCARIAN ARTIKEL MENGGUNAKAN JACCARD SIMILARITY. *Jurnal Ilmiah Rekayasa Dan Manajemen Sistem Informasi*, 3(1).
- Roy, C. K., & Cordy, J. R. (2007). A survey on software clone detection research. *Queen's School of Computing TR*, 64–68.
- Sanjaya, W. (2008). *Perencanaan dan desain sistem pembelajaran*, Kencana.
- Satia Budhi, G., Wibisono, A., & Tanojo, R. (2017). *PENGECEKAN PLAGIARISME PADA CODE DALAM BAHASA C++*.
- Schleimer, S., Wilkerson, D. S., & Aiken, A. (2003). *Wnnowing: Local Algorithms for Document Fingerprinting*. 702.
- Snsbatik, P., & Samarinda, ; Stmik Widya Cipta Dharma. (2017). PERANCANGAN APLIKASI DETEKSI PLAGIARISME KARYA ILMIAH MENGGUNAKAN ALGORITMA WINNOWER. In *Seminar Nasional Serba Informatika* (Vol. 1, Issue 1).
- Tao, G., Guowei, D., Hu, Q., & Baojiang, C. (2013). Improved Plagiarism Detection Algorithm Based on Abstract Syntax Tree. *2013 Fourth International Conference on Emerging Intelligent Data and Web Technologies*, 714–719. <https://doi.org/10.1109/EIDWT.2013.129>

Widaningrum, I., Mustikasari, D., Arifin, R., & Pratiwi, H. A. (2020). Evaluation of the accuracy of winnowing, rabin karp and knuth morris pratt algorithms in plagiarism detection applications. *Journal of Physics: Conference Series*, 1517(1). <https://doi.org/10.1088/1742-6596/1517/1/012093>

Widjaja, T., & Gunawan, A. (2020). *Deteksi Plagiarisme pada Kode Bahasa Pemrograman Java menggunakan XGBoost*.



	0000000000000000 0000000000000000 0000000000000000 000330]						0000000000000000 0000000000000000 0000000000000000 0000000000000000 0000000000000000 0000000000000000 0000000000000000 0000000000000000 0000000000000000 0000000000000000 00001236430	0000000000000000 0000000000000000 00000000001178364 30]
--	---------------------------------------------------------------------	--	--	--	--	--	---------------------------------------------------------------------------------------------------------------------------------------------------------------------------------------------------------------------	------------------------------------------------------------------



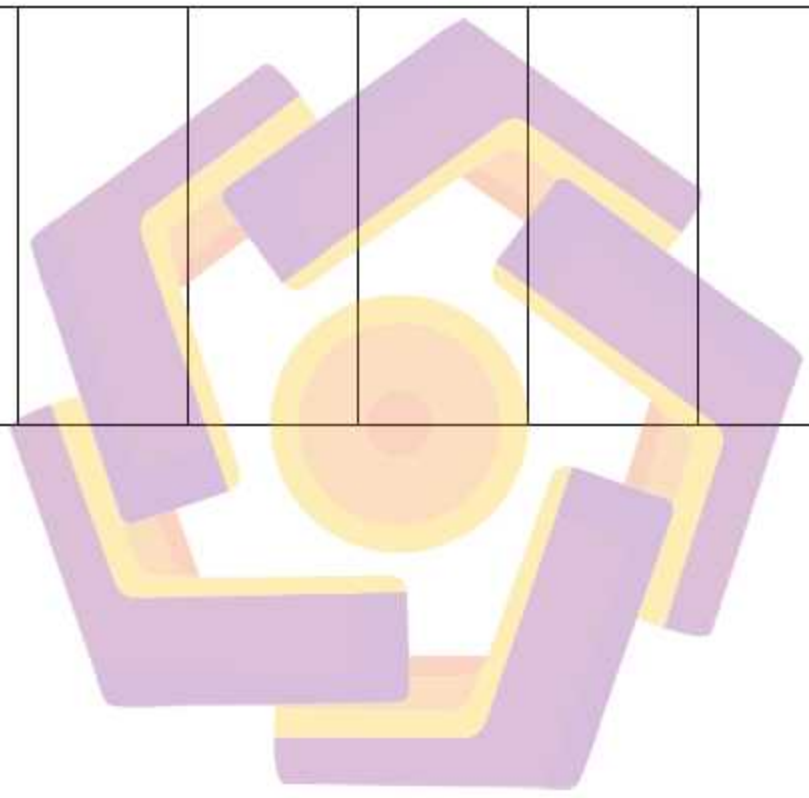
9999999999999999	9999999999997588073	18731999998674500003	68651398185999999889	99780860000001499800	99999999999999999999	000000000187319	00000000000000
99999887081999997	999999999887090099999	68672997999999999889	92680683622273899999	00000000000369707000	99758529000001429950	999998745000036	00000000000000
89963975000000000	99999999999791600000	82672691012409999999	99999999999999999999	00000078000090002899	00000000000375784000	8672997999999999	00000000000000
00000000819999978	0009009999999999731	99999999999999999999	99999999999999999999	99999999999999999999	00000085800079002999	388992672691012	0000028684469
99900000000000000	60000008330000000000	99999999999999999999	99999999999999999999	00700000043000000000	99999999999999999980	4099999999999999	999810896299
00003099999999999	00000000839000000000	99999999999999999999	61496978338429981859	00000000001839999999	10750000041500000000	9999999999999999	99999999999999
999999997170000860	0000000000007390000000	815600783320299799999	99999999999999999999	99999999999999999999	00000000001879999999	9999999999999999	99999999999999
000001499900000000	00000080799999999999	99999999999999999999	14169013533453860000	99999999999999999999	99999999999999999999	9999999999999999	99999999999999
000000000000000000	99999977777589278750	72300013533997000000	00000000000000298185	0000000030000000729999	99999988709280750000	386578999615600	9887310145157
1899999998700000	00000000054899999999	000000000000002357999	99999999993099600368	99999999999999999999	00000002860000008799	781320299799999	9413726577351
003700028999999999	99999830013000000000	99999999993110007358	37977257339999999999	99999887779999999999	99999999999999999999	9999999999999999	90000000000009
9998876438697939	08130000000000000000	30007348999999999999	999999999999999975071	99999999999999999999	99999896002099999999	580072300013393	8145179995424
99999999999999999	87399999999999999999	999999999999999973600	14189013550061580000	99999999999999999999	99999999999999999999	9999999999999999	99999999999999
99999999999999999	99975892787500000000	723000135901130000000	000036765234080000008	99999999999999999999	99999999999999999999	000000029979999	9002771537999
99999999999999999	00000800000000000000	000036767374000000008	64911707243981829999	999999997080000000008	99999870990099999999	9999999999999999	9999999999734
999999999998499999	0000000000000272999999	649908080299799999999	999999999999734141554	9999999999999970800000	999999997916000000009	036830007348999	6025137216901
95000006900002899	99999999999889992999	9999999999997941340250	3041525386000000000000	000760000000000000000	00999999999997916000	9999999999999999	3593626790000
99999999999999999	99999999999999999999	0041523000000000000000	0001899882999999999999	000076000000000000000	0000833000000000000000	999999999758007	00000000000000
99780860000001499	42999999999999999999	0001899799999999999999	99999999999999999999	99999999999999999999	000000067000000000000	00000398000000000000	230001359013300
900000000000000000	58864030000273000000	99999999999999999999	873128814057150000000	8729999999999999999999	00000003900000000000	000000003676737	6748610036865
00000028999999999	00000000000992795300	873128733730000000000	286640788156150999999	997777788843860000000	0807999999999999999999	400000008649908	1398182999999
99999900000003688	00000000000002859999	28657000815529999999	999999999999999999999	0000004899999999999999	99777775892787500000	0802997999999999	8895268068362
87789999999999999	63251	999999999999999999999	0030170499999999999999	99997730000000000000730	0000000489999999999999	9999999999999999	9999999999999999
99999999999999999		0030089999999999999999	9999999999999999999999	00000000000000000007899	9899013000000000000813	4050004155330000	9999999999999999
78086000000149980		9999999999999999999999	9999999999999999999999	0000000000000000008739	0000000000000000008739	9999999999999999	9999999999999999
00000000000036970		9975861529999999999999	1110127299999999999999	00849860000000000000000	9999999999999999999997	3799999999999999	9999999999999999
7000000007800009		3110899999999999999999	79133443000091017229	00000000000000000000000	9892787500000000000000	9999999999999999	9999999999999999
00028999999999999		7913220000008100899999	99999979133527008405	000000000309999999999999	00000000000000000000000	000000000000000000000	9999999999999999
99999998790070000		99999979132200018404	127000000000000000846	9999999887715999999999	0000000027299999999999	000000000286370	3398299818599
00430000000000000		900000000000000000846	13620000000000000000000	9999999999999970899999	9999999889952999999999	0061529999999999	9999999999999999
00000018999999999		18000000000000000000000	74771270000000817205	99999999999999998078	999999999999999984299	9999999999999999	9999999999999999
99999999999999999		74764000000000817189	99999999999999997777	00000000310000000000000	999999999999999975886	9899003088999999	3393453860000
99999999887085007		99999999999999997777	58952183900100000004		400000027300000000000	9999999999999999	00000000000000

									7717200000008 1720529999999 9999999777775 9952185900100 9000048849789 999999890021 6146000000821 6118000000000 0008820925999 9999999999999 7580221861773 9000000000000 0000000000000 0000000000277 1537999999999 9998900015267 9999999999999 9999784266879 9999999999997 5796518010027 7153800000000 000009288292 5380000000000 0028653764353 90]
Sample 2	1069, 1097, 1167, 1073, 1131, 1042, 419, 1099, ... - 1200000000000000 9000000000000000 0013000000000000 9000000000000000 0000000000000013	10797, 11067, 11773, 10831, 11342, 10519, 4301, 11056, ... - 118000000000000000 9000000000000031208 000000000000000000 000000000000000000 000120000000000000	1080773, 1107811, 1178342, 1083519, ... - 112279000000000000 000000000000001213 790000000000000000 000000000000000000 0001213790000000000 0000001113790000000	108078342, 110783519, ... - 112278100000000000 000000000000001213 635000000000000000 000000000000000000 0001213835000000000 0000001213835000000	1069, 1097, 1167, 1073, 1131, 1042, 419, 1099, ... - 1200000000000000 9000000000000000 139000000000000000 0000000000000000 00000013000000000	10797, 11067, 11773, 10831, 11342, 10519, 4301, 11056, ... - 118000000000000000 900000000000000000 120000000000000000 0000000000000000 00000012000000000	1080773, 1107811, ... - 1122500000000000 0000000000000000 000000000012137 0000000000000000 00000000000000121	108078342, 110783519, ... - 11226700000000 00000000000000 0000000000000000 0121363500000 00000000000000 000000000000121	

0000000000000000	000000012000000000	000000000000001122	000000000000001122	000000000012000000	000000000012000000	3700000000000000	0000000001213
0000013000000000	0000000000000011800	000000000000000000	820000000000000000	000000000000000000	000000000000000000	000000121370000	63500000000000
0000000000000001	000000000000000000	0000000441700000000	000000044170000000	001300000000000000	001200000000000000	0000000000000000	0000000121303
2000000000000000	000000045000000000	000000000000000000	000000000000000000	000000000000000000	000000000000000000	000000012137000	50000000000000
00000000000000400	000000000000000000	000000000000000000	000000000000000000	000000000000000000	000000000000000000	0000000000000000	00000000000001
00000000000000000	000000000000000000	0343179999999982429	0343178699999982423	09999987707095999986	0999998706639999987	000000034317999	2136350000000
00000000000000000	000000000000000000	03999999999999887307	03999999999999887307	09999987788999790009999	0999998799801024999	0999999824293999	00000000000000
00000000000000000	0999999999999987066	497999998774600067711	497999998774977087714	09999977599999999999	09999977809999999999	0999999999988730	0003431786999
3299999999999986	699999987800000086739	703896780298299073800	65389340639320575803	78086000000149900000	73892900000142947000	745799998774789	09999824253229
0999999999999998	80006537947999975832	72300013594157000000	14189013593526790000	000000000000000000	000000000000000000	007713793781179	09999999999887
87078999999987000	90000014294700000000	0000000000000000502	0000000000000000502	00529999988782500000	00502999989013000000	0999997848409999	3074578599877
00078999789979979	0000000000000000502	07998901377200000000	06918901377419000000	000000000000000000	000000000000000000	0999997580072300	4875007714623
29999978086000000	09998901300000000000	0000000000000000000	0000000000000000000	000000000000000000	000000000000000000	013594157000000	7856848999978
14999000000000000	0000000000000000000	00778290000000000000	00778376400000000000	000000000000000000	000000000000000000	0000000000000000	4854929999999
0000000000000509	00774000000000000000	0000000000000000000	0000000000000000000	00000000005489999999	000000000199999999	005020799890137	7580314169013
09998878500000000	0000000000000000000	00007268168399999789	000007269067744899789	09999999999974400000	09999999999974930000	720000000000000	5936267900000
0000000000000000	0000725853999999788	0190000000000000000	0048000000000000000	30000000502100000399	28600007261890000347	000000000000000	00000000000000
00000000690000000	50000000000000000000	0000000000000000930	0000000000000000930	09999971300000000000	09999978350000000000	007782900000000	0005020691890
0000000000000000	0000000000000000522	4899999999999997913	7804999999999997913	0000000000000000648	0000000000000000725	000000000000000	1377419000000
0000000000000000	0999999999999997916	4400000000000000048	5500000000000000058	87000163999997130000	86200188999997835000	000000000000000	00000000000000
4997999999971500	00000000000000022999	0999999999999997913	4099999999999997913	0000000000000000000	0000000000000000000	087899999999999	0000000007783
0000000000000000	0999999999999997913	3440000000000000000	0556300000000000000	00649980000000016399	0072596600000188999	099999975316100	7640000000000
0000000000000000	5000000000000000000	3048999999999999979	3038049999999999979	09713000000000000000	09783500000000000000	286300072684071	00000000000000
0859999999999999	22999999999999979	1344000000000000000	1335850000000000000	0000000000000000000	0000000000000000000	003485799997837	0000000000000
00970800000000000	1600000000000000000	0033048999999999999	00000001639999971300	00000001639999971300	70000001889999978350	360000000000000	3888039999999
0000859999999999	0092299999999999999	09999999134400000000	099999991355850000000	0000000000000000000	0000000000000000000	000000000000000	0999999997913
09999999997080000	09999999160000000000	00000930489999999999	000000930580499999999	0000000000000000000	0000000000000000000	660771882999978	7493286476072
0000000000000085	00000922999999999999	0999999999999997913	0999999999999997913	00000001639999971300	00000001889999978350	073600000000000	3343221434856
0999999999999999	0999999999999997913	00000000000003048999	0000000000000893058049	0000000000000000000	0000000000000000000	000000000000000	6899783726460
70800000000000000	00000000000009229999	0999999999999997999	0999999999999997999	0000000000000000000	0000000000000000000	817260000188299	00000000000000
0000000859999999	0999999999999997914	3700000000000000000	1348000000000000000	00001699999971300000	00001889999978350000	097837360000000	0000000000000
09999999999970800	0000000000000000000	84049000000000000846	84051170000000000846	0000000000000000000	0000000000000000000	3345108318297	
0000000000000008	83300000000000000839	1800000000000000000	1865000000000000000	00065300300000001699	00007260186000001889	000007267870300	8372646000000

9999999999999999	000000000000000000	000817190000000000	000917205300000000	999971300000000000	999978350000000000	001882999978373	000000000000
999999708000000000	000808000000000000	00000000726883929999	00000000726761354299	0000000000000000649	00000000000000000725	0000000000000000	0072690714820
0000000000008399	00000000726036999999	79464900000000000076	79464822000000000076	870000000000189999997	881000000000188999997	0000000000000000	0188318597837
9999999999999999	79450000000000000075	2089999999999999134	217139999999999979135	1300000000000000000	83500000000000000000	000726787030000	2646000000000
997330000000000000	999999999999999979160	4000000000000000762	5850000000000000762	0000000000000064957	0000000000000007296	018829999783736	0000000000000
00000000076000000	0000000000000000753	0899999999999999999	1713999999999999999	9997150000000000000	9997886000000000000	0000000000000000	0007268736362
00000000076000000	9999999999999999999	0899999999999999999	9999999999999999997	0000000000000000000	0000000000000000000	0000000000000000	0018831859783
00000000000000000	9999999999999999997	58007230001399923400	58031416001399482296	00000000183000008600	00000000099860009250	000726788150001	7264600000000
073000000000000000	5892900000142990000	0000000000000000000	0000000000000000000	0000000000000000000	0000000000000000000	882999978373600	0000000000000
00000000065001999	0000000000000000000	34826000004496290000	24930150004496271900	0000000000000000000	0000000000000000000	0000000000000000	0000000007268
999971200000000000	24800000004499989000	21170000000000078332	212498000000000078339	9997080000000000000	999975160000000088999	000000000726777	7363660001883
0000066999999999	14000000000000077400	0014029999999999999	8013968499999999999	99999999708000000000	99999999791600000000	990000188299997	1829783726460
99999708000000000	0014999999999999999	99999999999999964350	99999999999999964350	0000789999999999708	0000663999999999791	837360000000000	0000000000000
00000000000669999	99999999999999963250		90)	000000000000000789999	600000000000000869999	0000000000000000	0000000000000
9999999999999999				99999999786000000000	99999999791600000000	007267009400000	0000726874864
9999999999999999				0000078999999999708	0000086099999999791	018829999783736	1018831859783
97808600000014999				00000000000078999999	6000000000000669999	0000000000000000	7264600000000
00000000000000000				99999708000000000000	99999791600000000000	0000000000000000	0000000000000
00000000240000000				06899999999999997078	07899999999999997915	726817307890190	0007268636796
04499998877800000				9999999999999996540]	9999999999999996470]	0000000000000000	0018831859783
00000000069000001						0000000000000000	7264600000000
9999999999999999						000000001054626	0000000000000
999999999999999975]						0934050000000000	0000726777931
						0000000000000000	1000018831859
						000000000734039	7837264600000
						999791391000000	0000000000000
						907599999999979	0000000000726
						1391000000000008	9071277900480
						743899999999791	0000000000000
						3910000000000008	9000000000000
						743899999999979	0000000000010
						1391000000000000	9449931341334
						875648999999791	0000000000000

							391000000000864 339999999979139 100000000007787 29999999997913 90999999999964 4355]	000000000000 0000073413089 9791397840000 9080526999999 7913979100000 0008744838999 9997913977600 000000874484 2999999979139 7760000000008 7573689999979 1397730000000 9644208999999 7913978200000 0007788113999 9999979139787 999999996443 5279]
--	--	--	--	--	--	--	----------------------------------------------------------------------------------------------------	-----------------------------------------------------------------------------------------------------------------------------------------------------------------------------------------------------------------------------------------------------------------------------------------------------



0000000000309999	18599999999660000003	150000000000000000277	02513721690115936267	000030999999999999	000027299999999999	999999999999999998	899999999999999999
9999999999999999717	760029999999999999885	149999999999999999734	900000000000000000000	9999999717000086000	9999999794100052900	731014459794139239	999999999999999998
000008600000014999	925863579679999999999	81209372300013594157	18736269999874861003	90014999900000000000	0001429470000000000	6754000000000000009	731014513794137265
000000000000000000	99999999999999999999	00000000000000000000	686513981839999999889	0000000000000001859	0000000000000001859	014499799547150000	7735190000000000009
000000018999999999	99999999999999999999	018731999999867450000	82680683622273039999	9999998700000000370	9999998660000000376	000000000002771499	014515799542433800
87000000037000289	99999999999986699999	3686729979999999998	99999999999999999999	0028999999999999887	0029999999999999889	99999999999979461	000000000002771537
9999999999998876498	610000774000299999999	992872631012408999999	99999999999999999999	6488630793999999999	9258659796799999999	209372300013594157	999999999999979460
699793999999999999	99999999999999997583	99999999999999999999	99999999999999999999	99999999999999999999	99999999999999999999	000000000000000000	251372169011593626
999999999999999999	90000014294600000000	999999999999999999999	61486078133829981808	9999999999999999999	9999999999999999999	000187319999986745	7900000000000000000
999999999999999999	00000000000000299999	99999999999999857299	999999999999999999999	999999999999999999999	9999999999999999999	000036867299799999	000187362699986748
999999999999999999	9999999999994000000373	9615600783202997999	141630013993453860000	849999999999999999999	8669999996100007740	999988992672691012	610036865139818299
84999993500000690	83006599999999999999	99999999999999997380	000000000000002998128	0028999999999999999	8029999999999999999	4099999998788297,-	999988992680683622
000289999999999999	9999999999999975832	07230001355399500000	9999999999993099600368	9999999788660000000	9999999575892898854	1122900000000000000	773699999999999999
999999999780860000	900000142995000000000	000000000000002995799	379773573399999999999	1499500000000000000	78,-	0000000000000000000	999999999999999999
000149990000000000	00003757840000000000	99999999999311000036	999999999999999975803	000000000289999999	1180000000000000000	0000000000000000000	999999999999999999
000000000000002899	580007300299999999999	830007348999999999999	141690135900612800000	999999999999999999999	0000000000000000000	0000121370000000000	999999986378868709
9999999999999999000	999999999999991075000	99999999999999997780	000036765234800000008	8878999999999999999	000000000001200000	0000000000000000000	4458,-
000369887789999999	004150000000000000000	072300013590113000000	64911707243981829999	999999999999999999997	0000000000000000000	0000001213700000000	1122928000000000000
999999999999999999	000187399999999999999	000003678727400000000	999999999999794141554	8086000000149980000	000000000012000000	0000000000000000000	0000000000000000000
99999997808600000	9999999999999999999	864998080829979999999	304155598000000000000	000000000036370700	0000000000000000000	0000121370000000000	0000000000000000000
0149980000000000000	870528873000000000000	999999999999794134000	000189998829999999999	0000000786000000002	0001200000000000000	000000000000000121	0000121363500000000
003657070000000000	286000006079999999999	000415330000000000000	999999999999999999998	899599999999999999999	0000000000000000000	3700000000000000000	0000000000000000000
780000000028999999	999999999999999999998	000018997999999999999	873128814571200000000	998712,-	0000000000000000118	0000000000000000000	0000001213635000000
9999999999999999979	002099999999999999999	999999999999999999999	286407081156150999999	120000000000000000000	0000000000000000000	000000001122200000	0000000000000000000
007000000430000000	9999999999999999999881	887312873373000000000	999999999999999999998	000000000000000000000	0000000000118000000	0000000000000000000	0000121363500000000
00000000000001899	80,-	028627000011529999999	003017049999999999999	0000000000001300000	0000000000000000000	0000112290000000000	0000000000000000121
9999999999999999999	1180000060000000000000	999999999999999999998	999999999999999999999	000000000000000000000	000900000000000000000	0000000000000000000	3635000000000000000
9999999999999999988	0000000000000000000000	900300899999999999999	99798815615099999887	0000000000120000000	0000000000000000000	0000000000000000000	0000000000000000000
708500700000000000	000000001200000000000	999999999999999999999	111017229999999999999	0000000000000000000	0000000001180000000	0000000000000000000	000000000000112238200
003000000072999999	0000000000000000000000	999758815529999999988	7813443000091017229	000130000000000000000	0000000000000000000	000000001122900000	0000000000000000000
9999999999999999999	0012000000000000000000	731108999999999999999	99999979133527068405	0000000000000000000	0000000000000000000	0000000000000000000	0000112252800000000
999999988779999999	000000000001200000000	9791322000000091002599	1170000000000000000846	00000000000000000120	0028599999999880879	0000000000000000000	0000000000000000000
9999999999999999999	0000000000000000000000	99999997913220000640	186499999999999999996	0000000000000000000	9999999999999999999	00000000286809999	0000000000000000000

0000000189999999	58000790029999999999	00000000000000112290	99999999999999975801	000000000036970700	000000000118000000	000000000000000000	000000000000000000
87000000037000289	99999999999801073000	00000000000000000000	14169013383433860000	000000078000090002	000000000000000000	000000000000000000	000000000112238200
99999999998676498	00413000000000000000	00000000000000000000	00000000000000000000	999999999999999999	000000000000000000	000000000126680999	000000000000000000
699733999999999999	00018799999999999999	00000000002860099999	9999999999999990168	9996788, -	002859999999808079	998108779999999999	000011229280000000
999999999999999999	99999999999999999998	01887799999999999998	3797737339999999999	12000000000000000000	999999999999999999	999999999999999999	000000000000000000
999999999999999999	87052807500000000000	99999999999999999999	999999999999999975803	00000000000000000000	999999999999999999	999999999999999998	000000000000000000
999999999999999999	2860000008079999999999	99999999999999999999	14169013390061380000	00000000000001300000	999999999998708929	731014499794139239	000000000000000000
84999995000000690	99999999999999999999	97941392396754000000	00003676523408000000	00000000000000000000	998009799792000000	6754000000000000009	000000001122928000
000289999999999999	0020999999999999999999	000000000014499799547	64911707243881859999	000000000013000000	000000000085299998	014499799547150000	000000000000000000
99999999978086000	9999999999999999999999	1500000000000000000277	99999999999999994141554	00000000000000000000	06953000000000000000	000000000002771499	000000000000000000
0001499900000000000	768, -	1499999999999999999999	3041559980000000000000	00013000000000000000	00000272999999999999	999999999999999999	000000000286844639
00000000000002899	1180000000000000000000	81209372300013394157	0001899882999999999999	00000000000000000000	99999999999999999999	209372300013394157	998108986299999999
999999999999999999	0009000000000000000000	0000000000000000000000	9999999999999999999999	30000000000000000110	00014254700000000000	00000000000000000000	999999999999999999
000369887789999999	0000000012000000000000	018731999998674000000	873128814571500000000	00000000000000000000	00000000000000001859	000187319999986745	999999999999999998
999999999999999999	0000000000000000000000	3686729979999999999998	28640706156150999999	000000000012000000	999999860000000376	000036867299799999	731014515794137265
99999997808600000	0012000000000000000000	992672691012409999999	9999999999999999999999	00000000000000000000	00299999999999999889	9999998992672691012	7732150000000000009
014998000000000000	00000000001200000000	9999999999999999999999	0030170499999999999999	00000000000000000000	0256659796799999999	40999999999829135	014515799542453800
003697070000000000	0000000000000000000000	9999999999999999999999	9999999999999999999999	00000000000000000000	99999999999999999999		000000000002771237
78000090002899999	0000000000000000000001	9999999999999999999999	99758815615099999887	000000000120000000	99999999999999999999		999999999999999999
999999999999999999	1800000000000000000000	96150007833202997999	1110172299999999999999	00000000000000000000	99999999999999999999		251372169013936260
007000000043000000	0000000000118000000000	99999999999999999997280	78133443000091017229	00000000000000000000	886999996100007740		79000000000000000000
00000000000001899	0000000000000000000000	07230001399999000000	999999791333270064025	002999999999973899	00299999999999999999		000187362699986748
999999999999999999	0000000000000000000000	000000000000000299799	1270000000000000000846	99999999999999999999	999999975892899998		610036863139618599
999999999999999998	0000000000000000000000	999999999999311000036	1964999999999999999999	99999999999999999999	0398]		9999889268063622
708500700000000000	0118000000000000000000	8300073489999999999999	64444413, -	99999999999999999999	99999999999999999999		27369999999999999999
00300000007299999	0000000000000000000000	9999999999999999999999	1123795000000000000000	997999997390000000			99999999999999999999
999999999999999999	0000000028599999999998	072300013390113000000	0000000000000000000000	00000000000000000000	99999999999999999999		99999999999999999999
9999999887779999999	0879999999999999999999	000003676727400000000	000000000121363000000	00000000000000000000	00000000000000000000		99999999999999999999
999999999999999999	9999999999999999999999	864990808029979999999	0000000000000000000000	00003099999999999999			445448]
999999999999999999	9999999999999999999999	9999999999999999999999	0002136350000000000000	99999999999999999999	99999999999999999999		
80729999999999987	8009799792000000000000	0004153300000000000000	000000000000121362500	00014999000000000000			
085999999999999999	0000000082999980695330	0000189979999999999999	0000000000000000000000	00000000000000000000			
999707998787, -	000000000000000002729	9999999999999999999999	0000000000000000000001	9999998700000000370			

	9999999999999999 9999999999999999 9999999999999999 94999999500000600 0002899999999999 99999999978086000 000149990000000000 000000000000002899 9999999999999999 000369887789999999 9999999999999999 99999997808600000 014998000000000000 00369707000000000 78000090002899999 9999999999999979 0070000043000000 00000000000001899 9999999999999999 9999999999999998 70830070000000000 00300000072999999 9999999999999999 99999988779999999 9999999999999999 9999999999999997 80729999999999887 0829999999999999 9997079998865]			9999999999794141354 3041555980000000000 0001899882999999999 9999999999999999998 87312881457150000000 28664070815615099999 9999999999999999998 0030170499999999999 9999999999999999999 99758915615099999887 3110172299999999999 79133443000091017229 99999979133527008409 1270000000000000846 1965000000000000000 634444016]				
Sample 2	[1217, 1069, 1097] [1069, 1097, 1167], ... [- 12000000000000000	[12269, 10797, 11067] [10797, 11067, 11773], ... [- 11800000000000000000	[1228067, 1080773, 1107831] [1080773, 1107831, 1178342], ... [-	[122807831, 108078342, 110783519], ... [- 11229280000000000000 00000000000000000	[1217, 1069, 1097] [1069, 1097, 1167], ... [- 1200000000000000000	[12269, 10797, 11067] [10797, 11067, 11773], ... [- 1180000000000000000	[1228067, 1080773, 1107831], ... [-112290 0000000000000000000	[122807831, 108078342, 110783519], ... [- 0000000000000000000

7080000000000000	0000000000000000	9999999999999999	9999999999999999	9999999999999999	9999999999999999	9999999999999999	9999999999999999	0000000000000000
0000000859999999	9999999999999999	96156007833202997959	31416901398245388000	9999999999999999	9999999999999999	9999999999999999	9999999999999999	000726873636600018
9999999999997080	000000000000000000	99999999999999997280	0000000000000029818	9999999999999999	9999999999999999	9999999999999999	9999999999999999	831859783726460000
0000000000000000	833000000000000000839	07230001359390500000	99999999999999999999	99999999999999999999	99999999999999999999	11800000000000000000	20299799999999999999	000000000000000000
9999999999999999	00000000000000000000	00000000000000000000	83797735713399999999	0006300002899999999	00000000000000000000	00000000000000000000	999999975800723000	000000000726874864
9999997080000000	00080800000000000000	99999999999311000036	999999999999999997280	999999999999999997280	00000000000000000000	00000000000000000000	13583985000000000000	101883185978372646
000000000000085999	000000000726036989999	83000734809999999999	31416901329606138000	60000000499900000000	00001200000000000000	00000000000000000000	000000000299799999	000000000000000000
9999999999999999	734500000000000000073	99999999999999997280	00000367652340800000	00000000000000000000	00000000000000000000	00000000000000000000	99999999110000368	00000072683679600
997330000000000000	999999999999999979160	07230001320011300000	86481170724398185999	99999999999999999000	00000012000000000000	00000000000000000000	30007348999999999999	188318597837264600
00000000076000000	0000000000000000000733	00000367652340800000	999999999999999941155	0000383888778339999	00000000000000000000	00000000000000000000	999999999999999997	000000000000000000
00000000076000000	9999999999999999999999	8648990808029979999999	4304155398000000000000	99999999999999999999	00001200000000000000	00000000000000000000	580072300013990113	00000726779311000
000000000000000000	999999999999999999997	9999999999999999413405	0000189988299999999999	999999978888000000001	0000000000000000120	00000000000000000000	00000000036767374	018831859783726460
073000000000000000	58929000001429590000	0004155300000000000000	9999999999999999999999	498800000000000000003	00000000000000000000	00000000000000000000	000000086499080802	000000000000000000
00000000065001999	0000000000000000000000	0000189979999999999999	86731268145715000000	6570700000000007830	00000000000000000000	00000000000000000000	997999999999999999	000000000726907127
999971200000000000	24900000004489988900	9999999999999999999999	02866407081561509999	0090002839899999999	000000000118000000	00000000000000000000	999794134050004155	790480000000000000
000006699999999999	14000000000000077400	8873128733730000000000	9999999999999999999999	9999999999999999999999	00000000000000000000	00000000000000000000	30000000000000000001	000000000000000000
999997080000000000	0014999999999999999999	0286570008155299999999	9003017049999999999999	00043000000000000000	00001180000000000000	00000000000000000000	89979999999999999999	000000001054499313
000000000066999999	99999999999999998648	9999999999999999999999	9999999999999999999999	0000001899999999999999	00000000000000000000	00000000000000000000	99999999999999999999	41334000000000000000
999999999999999999	1180000000000000000000	9003008999999999999999	9997588156150999999999	9999999999999999999999	00000000000000000000	00000000000000000000	873128733730000000	000000000000000000
999999999999999999	0000000000000000001200	9999999999999999999999	7311017229999999999999	9999999870850007000	00000000000000000000	00000000000000000000	002865700081552999	734130899791397840
87808600000014999	0000000000000000000000	9997588155299999999999	97813344380009301722	00000000030000000000	000000001180000000	00000000000000000000	99999999999999999999	000908026399999979
000000000000000000	0000000000000000000000	7311008999999999999999	99999997913352700840	28846	00000000000000000000	00000000000000000000	999989003008999999	1397910000000068744
000000002400000000	0001200000000000000000	97913220000009100899	5127000000000000000084	12000000000000000000	00000000000000000000	00000000000000000000	99999999999999999999	834999999791397760
044999988778000000	0000000120000000000000	99999997913220000840	6196500000000000000000	00000000000000000000	00000000028999999999	99999999999999999999	99999999999758815	00000008744842999
00000000690000001	00000000000000011800	490000000000000000084	0747717200000081720	00000000000000000000	9999879999999999999999	52999999999999999999	999999999997311008	999979139776000000
999999999999999999	0000000000000000000000	6180000000000000000000	529999999872478648	00001300000000000000	9999999999999999999999	9999999999999999999999	99999999999997913	000875736899999791
9999999999999999648	0000000450000000000000	073336693	1122928000000000000000	00000000000000000000	9999999999999999999999	9999999999999999999999	220000091008999999	39773000000000084420
-	0000000000000000000000	1122900000000000000000	0000000000000000000000	0000001300000000000000	708929999800979979	708929999800979979	999979132200008404	899999979139782008
120000000000000000	0000000000000000000000	0000000000000000000000	0000000000000000000012	00000000000000000000	20000000000000000008	90000000000000000008	000007788113999999	000000000000000000
000000000000000000	834499999999999981999	0000000000000000000012	1362500000000000000000	00001300000000000000	929999806953000000	46180000000000000000	9979139787999999987	000000000000000000
001300000000000000	999999999999999987086	1370000000000000000000	0000000000000000001113	0000000000000000001113	0000000000000000130	000000000002729999	000074764000000000	7644355
000000000000000000	999999998780000086799	00000000000000000001113	6350000000000000000000	0000000000000000000000	99999999999999979410	9999999999999999999999	11226670000000000000	000000000000000000
000000000000000013	80096397947999975892	7000000000000000000000	00000000001213635000	00000000000000000000	00329000014294700	99977775799800129	000000000000000000	000000000000000000

0000000000000000	000001429470000000	0000000000121370000	0000000000000000001	0000000012000000	000000000000000000	00000000488539999	000012136350000000
000001300000000000	0000000000000000502	0000000000000000001	2136350000000000000	0000000000000000000	00018599999998660	99999890021540000	000000000000000000
000000000000000001	999999130000000000	2137000000000000000	0000000000000000000	9000120000000000000	00003760029999999	000082134000000000	00000000000000121
200000000000000000	0000000000000000000	0000000000000000000	0000000112238000000	0000000000000000000	99998892586597967	00008819999999999	3635000000000000000
0000000000000000400	0077400000000000000	0000000112230000000	0000000000000000011	0000000000000000000	99999999999999999	99999999999999999	0001213635000000000
0000000000000000000	0000000000000000000	0000000000000000000	0000000000000000000	0000000000000000000	99999999999999999	1610000000000000000	00000000000000012
0000000000000000000	0000725962999999878	2298000000000000000	0000000000000000000	0000000012000000000	999999999987794-	0000000000000000000	1363500000000000000
0000000000000000000	6000000000000000000	0000000000000000000	0000000000000000000	0000000000000000000	1180000000000000000	00000277149999999	000000000034317869
3299999999999999986	0000000000000000022	0000000000000000000	0000000000000000112292	0000000000000000000	0000000000000000000	999999890001439999	999999824253229999
9999999999999999998	9999999999999999999	00000000000000000112290	000000000000000000000	0000000002299999999	0000000000000000000	99999999999999999	999999988730749785
8707899999999999987000	0000000000000000022999	000000000000000000000	000000000000000000000	9999999999999999999	0000120000000000000	2449999999999999999	998774875007714653
00078999789979979	9999999999999999999	000000000000000000000	0000000002868446399	9999999999999999999	0000000000000000000	75794099000277150	785684899997848249
29999978086000000000	000000000000000000000	0000000002868099999	8108986299999999999	9999999999999999999	0000012000000000000	0000000000000000000	29999997580314169
14999000000000000000	2299999999999999999	8108779999999999999	9999999999999999999	70813999783966975	0000000000000000000	7471500000000000000	61393626790000000
0000000000000000509	160000000000000000000	9999999999999999999	9999999999877101451	9000000000000000000	0001200000000000000	0286146448-	00000000000000000
9999887850000000000	0092299999999999999	99999999998873101449	57941372627733190000	1999997899990000000	000000000000000120	1122900000000000000	691896137741500000
0000000000000000000	9999791600000000000	9794139239675400000	00000000014515799542	00000000003099999	0000000000000000000	0000000000000000000	0000000000000000000
0000000069000000000	000000322999999999999	00000000014499799547	4538000000000000000277	99999999999971700	0000000000000000000	0000000000000000000	000000783764000000
0000000000000000000	999999999978160000000	150000000000000000077	13739999999999999784	0086000000149990000	0000000001180000000	0000121279000000000	0000000000000000000
0000000000000000000	000000000000322999999	14999999999999999734	60251372169013093626	0000000000000000000	0000000000000000000	0000000000000000000	000000000000388803
49979999999971500	9999999999999999999	81209972300013594137	780000000000000000000	000189999999587000	0000118000000000000	0000001213700000000	9999999999999999973
0000000000000000000	000000000000000000000	000000000000000000000	0187362609999E7486100	00037000289999999	0000000000000000000	0000000000000000000	31749328676072633
0000000000000000000	83300000000000000000038	018731999998674000000	36863139818299999998	999988764866357938	0000000000000000000	0000121370000000000	322143485668997837
0859999999999999999	000000000000000000000	3686729799999999998	9926806836227736999	9999999999999999999	0000000000000000000	0000000000000000000	2646000000000000000
9997080000000000000	000000000000000000000	99267269101240999999	9999999999999999999	9999999999999999999	0000000011800000000	3700000000000000000	000000000726733451
0000859999999999999	000000007267360000000	9999999999999999999	9999999999999999999	9999999999999999999	0000000000000000000	0000000000000000000	083185978372646000
99999999997080000	794500000000000000075	9999999999999999999	9999999999999867887	9999999999999999999	0000000000000000000	0000000001122200000	0000000000000000000
0000000000000000085	9999999999999978160	9999999999999999999	9614967833982968185	00000000299999999	0000000002859999999	0000000000000000000	726907148206188318
9999999999999999999	00000000000000000753	96156007832202997999	999999999999999780	9999999999999999999	9980879999999999999	0000112290000000000	99783726460000000
7080000000000000000	9999999999999999999	9999999999999997580	31416811399345386000	0000000149990000000	99999999999999999	0000000000000000000	0000000000000000007
00000008599999999	9999999999999999999	07230001355399200000	00000000000000029818	0000000000000000028	99999999999999999	0000000000000000000	268736362001883185
99999999999970800	98329000001429590000	000000000000000000000	9999999999999999999	9999999999999999999	7089299998600579979	0000000000000000000	9783726460000000000
000000000000000008	000000000000000000000	99999999999911000036	8377775733999999999	00003688778999999	2000000000000000000	000000001122900000	0000000000000000000

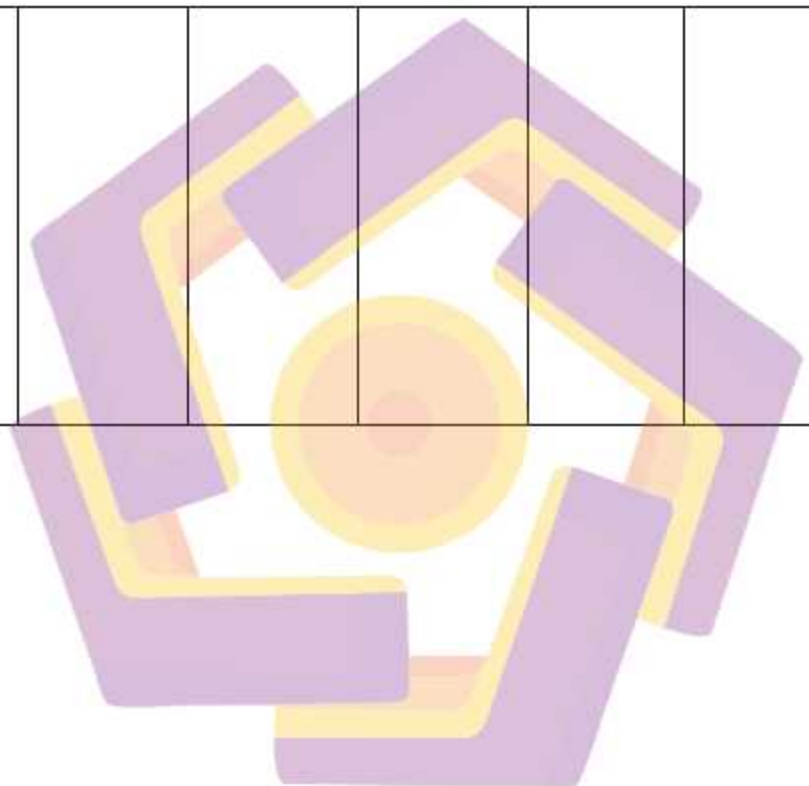
3999999999999999	24900000004499999900	83000734899999999999	99999999999999999999	99999999999999999999	829999806353000000	000000000000000000	000726873636600018
999999708000000000	1400000000000000077400	99999999999999999999	31416901399006138000	99999978086000000001	000000000002729999	000000000000000000	831859783726460000
000000000000819999	80149999999999999999	87230001358011300000	00000367623408000000	49980000000000000003	999999999999999999	000000000126888999	000000000000000000
9999999999999999	99999999999999999999	00000367673740000000	86481170724398183999	8970700000000007800	009290000014294700	998108779999999999	000000000726874864
997330000000000000	11800000000000000000	86499080800293789999	99999999999999999999	00900002839999999999	000000000000000000	999999999999999999	001883185978372646
000000000760000000	000000000000000001200	99999999999999999999	4304155389800000000000	99999999999999999999	000185999999886600	999999999999999999	000000000000000000
000000000760000000	0000000000000000000000	8004153300800000000000	0000189988299999999999	00043000000000000000	00003760029999999999	731014499794139239	0000000726863679600
000000000000000000	0000000000000000000000	0000189979999999999999	99999999999999999999	00000018999999999999	99998892586597967	675400000000000000	188318597837264600
073000000000000000	0001200000000000000000	99999999999999999999	88771286145715000000	99999999999999999999	99999999999999999999	014499795471500000	000000000000000000
000000000650019999	0000000012000000000000	88731287337300000000	01866407091561509999	999999867885067000	99999999999999999999	00000000000771499	00000726779311000
999971200000000000	000000000000000001800	0286570058135299999999	9999999999999999999999	0000000003000000007	99999999999999999999	999999999999999999	018831859783726460
000006639999999999	0000000000000000000000	99999999999999999999	9003017049999999999999	296797, -	99999999999999999999	209372300013584157	000000000000000000
999997080000000000	0000000450000000000000	9003008999999999999999	9999999999999999999999	12000000000000000000	99999999999999999999	000000000000000000	000000000726907127
000000000066999999	0000000000000000000000	9999999999999999999999	9997588156150999999999	00000000000000000000	000187319999986745	790048000000000000	000000000000000000
999999999999999999	0000000000000000000000	9997588155299999999999	7311017229999999999999	00000000000000000000	000036867299799999	000000000000000000	000000000000000000
999999999999999999	0344999999999999999999	7311008999999999999999	87913344300009101722	00001300000000000000	999988992672691012	000000001054499313	999988992672691012
978086000000149999	9999999999999999999999	97913220000005100899	99999997911352700940	00000000000000000000	40999999999999999999	413340000000000000	999999999999999999
000000000000000000	5899999997800000867999	999999997913220000840	0127000000000000000084	00000013000000000000	99999999999999999999	000000000000000000	999999999999999999
000000002400000000	8099999997947999978332	49000000000000000084	6186500000000000000000	00000000000000000000	99999999999999999999	734130899791397840	999999999999999999
044999988778000000	9000001429470000000000	6186000000000000000000	0747717200000081720	00001300000000000000	99999999865789999615	000980526399999979	999999999999999999
000000000690000001	000000000000000000502	8746366816, -	2199999999884786448, -	000000000000000130	600783302997999999	139791000000008744	999999999999999999
999999999999999999	9999999130000000000000	1122900000000000000000	1122928000000000000000	00000000000000000000	99999999999999999999	999999999999999999	999999999999999999
999999999999999999	0000000000000000000000	0000000000000000000000	0000000000000000000000	00000000000000000000	072300013593995000	000000008744842999	999999999999999999
0, -	0077400000000000000000	000000000000000000012	000000000000000000012	000000000120000000	000000000000000000	999979139776000000	999999999999999999
120000000000000000	0000000000000000000000	1370000000000000000000	1365000000000000000000	00000000000000000000	97999999999999999999	000875736899999791	999999999999999999
000000000000000000	0000729859999999999999	00000000000000000001213	00000000000000000001213	00001200000000000000	000036830007348999	997730000000864420	999999999999999999
001300000000000000	6000000000000000000000	7000000000000000000000	8350000000000000000000	00000000000000000000	99999999999999999999	899999979139782000	999999999999999999
000000000000000000	0000000000000000009922	800000000012137000000	00000000001213652000	99999999999999999999	9999999758007230001	000007788113999999	999999999999999999
00000000000000013	9999999999999999999999	0000000000000000000001	0000000000000000000001	00000000000000000000	359011300000000003	997913978799999999	999999999999999999
000000000000000000	00000000000000922999	2137000000000000000000	2138150000000000000000	000000001200000000	67673740000008649	86443540, -	999999999999999999
000001300000000000	9999999999999999999999	0000000000000000000000	0000000000000000000000	00000000000000000000	908802997999999999	112667000000000000	999999999999999999
000000000000000001	6000000000000000000009	00000001122000000000	00000001122382000000	00000000000000000000	99999999999999999999	000007268636796000	999999999999999999
200000000000000000	2299999999999999999999	00000000000000000011	000000000000000000011	000000002999999999	000415330000000000	000011213635000000	999999999999999999

00000000000000400	160000000000000000	229000000000000000	229280000000000000	9575899999999999	00000018957999999	0000000000000000
00000000000000000	008229999999999999	000000000000000000	000000000000000000	9999999999999999	9999999999999999	00000000000000121
00000000000000000	999973150000000000	000000000000000000	000000000000000000	9999999999999998	9999999999999999	00000000000000000
00000000000000000	000009229999999999	00000000000000112290	00000000000000112290	708119999789969975	00000000286570008	000121363500000000
32999999999999786	999999997915000000	000000000000000000	800000000000000000	900000000000000006	900000000000000006	15229999999999999
9999999999999998	000000000008229999	000000000000000000	000000000000000000	19999978999000000	9999999998900300	13635000000000000
87078999999987000	999999999999997914	00000000028680899999	00000000002868449999	000000000003099999	89999999999999999	000000000034317869
00078999789979979	000000000000000000	810877999999999999	810884629999999999	9999999999999999	9999999999999999	99999999999999999
29999978086000000	833000000000000000	999999999999999999	999999999999999999	08860000014099000	975881552999999988	999999998730749785
14999000000000000	000000000000000000	999999999999999999	999999999999999999	000000000000000000	731100899999999999	998774875007714653
00000000000000505	000888000000000000	97941392396754000000	57941372657735190000	000189999999987000	995791322000000910	7856848999978482549
99998878500000000	00000000728036899999	900000090144997990547	000000090142151990542	800037000289999999	08999999997913220	299999997380314189
00000000000000000	794500000000000000	15000000000000000277	45380000000000000277	99988676486967928	000840490000000000	013593616790000000
00000000690000000	9999999999999979180	14999999999999999794	15379999999999999794	999999999999999999	000000846180000000	000000000000002020
00000000000000000	0000000000000000753	81209372300013984157	60251372169013999626	999999999999999999	00000000007476400	691890137741900000
00000000000000006	99999999999999999999	00000000000000000000	79000000000000000000	999999999999999999	000000081789999999	000000000000000000
4997999999971500	99999999999999999997	81873199999867450000	81873626999867486100	999999984999999900	9999999997777579	000007783764000000
00000000000000000	58829000001429290000	36867299799999999988	36865139818299999988	000630000289999992	980012900000000046	000000000000000000
00000000000000000	00000000000000000000	99267269101240999999	99268068362227899999	999999999999999999	82399999999999002	00000000009988803
0859999999999999	2480000004489998900	99999999999999999999	99999999999999999999	600000014999000000	15400000008215400	99999999999999997
99970800000000000	14800000000000077400	99999999999999999999	99999999999999999999	00000000000000218	00000000000881999	317493286476072693
0000859999999999	00149999999999999999	99999999999999999999	99999999999999999999	999999999999999999	99999999999999997	32214348568997837
9999999997080000	99999999999999999999	96156007833202997999	96149697833382998185	000036386778999999	579980016100000000	264600000000000000
0000000000000083	99999999999999999999	99999999999999997580	99999999999999997580	999999999999999999	00000000000000000	000000000000000000
9999999999999999	07230001359399500000	00000000000000299799	00000000000000299818	4998000000000000001	00000000000277149	083182978372646000
70800000000000000	00000000000000299799	00000000000000299799	00000000000000299818	4998000000000000001	99999999999999000	000000000000000000
0000000859999999	999999999999111000036	999999999999309960036	810700000000007800	1439999999999999999	726907148200188318	99999999999999999
9999999999999970800	8300073489999999999999	00000028999999999999	00000028999999999999	9999784244999999999	9999784244999999999	99999999999999999
00000000000000006	00000000000000007580	99999999999999997580	99999999999999997580	999999999999999999	99999999999999999	000000000000000007
9999999999999999	872300013590113000000	314169811399068138000	314169811399068138000	8004300000000000000	0277150000000000000	268736362001883185
99999970800000000	00000367672740000000	000003676212340800000	0000001189999999999	00000002865364448	000092874715000000	978837264600000000
00000000000008399	86499080802997999999	86491170724398185999	9999999999999999999	00000002865364448	000000000000000000	000000000000000000
9999999999999999	99999999999979413405	99999999999979413405	99999999999979413405	99999999999979413405	-	000726873636600018

997930000000000000	00841553000000000000	43041555980000000000	000000000300000007	11229000000000000000	831859783726460000
000000000760000000	00001899799999999999	00001899882999999999	2998324]	00000000000000000000	00000000000000000000
000000000750000000	99999999999999999999	99999999999999999999	99999999999999999999	00000000000000000000	000000000726874864
000000000000000000	88731287337300000000	88731288145715000000	88731288145715000000	00001213700000000000	101883185978372646
073000000000000000	52863700081532399999	02866407081561500999	02866407081561500999	00000000000000000000	00000000000000000000
00000000065001999	99999999999999999999	99999999999999999999	99999999999999999999	00000012137000000000	000000726863679600
999971200000000000	90030089999999999999	90030170499999999999	90030170499999999999	00000000000000000000	188318597837264600
000006639999999999	99999999999999999999	99999999999999999999	99999999999999999999	00001213700000000000	00000000000000000000
999997080000000000	99975881252999999999	99975881561509999999	99975881561509999999	0000000000000000121	00000726779311000
000000000066999999	73110099999999999999	73110172299999999999	73110172299999999999	37000000000000000000	018831859783726460
999999999999999999	97913220000000100839	979133443000009101722	979133443000009101722	00000000000000000000	00000000000000000000
999999999999999999	999999997913220000840	999999997913352700040	999999997913352700040	0000000001122290000	000000000726907127
97808600000014999	490000000000000000084	512700000000000000084	512700000000000000084	00000000000000000000	79004800000000000000
000000000000000000	6180000000000000000000	6196300000000000000000	6196300000000000000000	00001122900000000000	00000000000000000000
000000002400000000	07475268049]	07477172000000081720	07477172000000081720	00000000000000000000	000000001054499313
044999988778000000		52999999999997864448]	52999999999997864448]	00000000000000000000	41334000000000000000
00000000069000001				00000000000000000000	00000000000000000000
999999999999999999				00000000112290000000	734130899791397840
999999999999999975]				00000000000000000000	000908052699999979
				00000000000000000000	1397910000000068744
				000000000286809999	838999999791397760
				998108799999999999	000000068744842999
				999999999999999999	999979139776000000
				999999999999999998	000873736899999791
				731014499794139239	387730000000864420
				67540000000000000000	899999979139782000
				014499799547150000	000007788113999999
				000000000002771499	997913978799999999
				99999999999979461	964433275]
				209372300013394157	
				00000000000000000000	
				00018731999986745	
				000036867293799999	

							999988992672691012	
							409999999999999999	
							999999999999999999	
							999999999999999999	
							99999986578999615	
							600783320299799999	
							99999999999999997580	
							072300013993995000	
							000000000000000029	
							9799999999999999311	
							000036830007348999	
							999999999999999999	
							999999758007230001	
							359011300000000003	
							676737400000008649	
							908080299799999999	
							999999999979413405	
							000415330000000000	
							000000189979999999	
							999999999999999999	
							999999887312873273	
							00000000286570008	
							155299999999999999	
							99999999998900300	
							899999999999999999	
							999999999999999999	
							975881552999999988	
							731100899999999999	
							999791322000000910	
							08999999997913220	
							000840490000000000	
							000000846180000000	
							0000000007476400	

							0000008171899999 9999999997777579 8800129000000048 8539999999989002 15400000000215400 00000000000881999 9999999999999997 5799001610000000 0000000000000000 00000000000277149 9999999999989000 1439999999999999 99997842449999999 999999575794099000 02771500000000000 000032874715000000 00000002865664435 9]	
--	--	--	--	--	--	--	------------------------------------------------------------------------------------------------------------------------------------------------------------------------------------------------------------------------------------------------------------------------------------------------------------------------------------------------------------------	--



LAMPIRAN 6. Tabel Hasil Fingerprint berdasarkan Window pada data tanpa dilakukan Text Preprocessing

Sample	Source code 1				Source code 2			
	k=2	k=3	k=4	k=7	k=2	k=3	k=4	k=7
Sample 1	1069, 1073, 1042, 419, ...	10797, 10831, 10519, 4301, ...	1080773, 1087519, ...	108078342, 108353119, ...	1069, 1073, 1042, 419, 4301, ...	110797, 10831, 10519, 4301, ...	1080773, 1083519, ...	108078342, 108353119, ...
	1200000000000000	1180000000000000	1123900000000000	1123795000000000	1700000000000000	1180000000000000	1122900000000000	1122928000000000
	0000000000000000	0000000000000000	0000000000000000	0000000000000000	0000000000000000	0000000000000000	0000000000000000	0000000000000000
	0000000000000130	000000000000120000	000000000000121370	00000000000000121	000000000000000211	0000000000000000	0000000000000000	0000000000000000
	0000000000000000	0000000000000000	0000000000000000	3875000000000000	0000000000000000	0000120000000000	0000000000000012	000012136330000000
	00000000000000130	000000000012000000	000000000012137000	00000000000000121	0000000000000001300	0000000000000000	1370000000000000	0000000000000000
	0000000000000000	0000000000000000	0000000000000000	3635000000000000	0000000000000000	0000001200000000	0000000000000000	000000121363300000
	00000000013000000	000120000000000000	000121370000000000	00000000012136350	0000000000113000000	0000000000000000	000000121370000	0000000000000000
	0000000000000000	0000000000000000	0000000000000000	0000000000000000	0000000000000000	0000120000000000	0000000000000000	000012136350000000
	0000000000000000	00000000000000118	00000000000000112	0000000000000000	380000000000000000	00000000000000128	000000000012137	00000000000000121
	0000001200000000	0000000000000000	2200000000000000	0000001122382000	0000000000000000	0000000000000000	0000000000000000	363500000000000000
	0000000000000000	000000000011800000	000000000011239000	0000000000000000	000000001200000000	0000000000000000	000000000121370	0000000000000000
	0001200000000000	0000000000000000	0000000000000000	0001123795000000	000000000000000012	000000000011800000	0000000000000000	000000000011223820
	0000000000000000	0000000000000000	0000000000000000	0000000000000000	0000000000000000	0000000000000000	0000000000000000	0000000000000000
	0000000000000000	0000000000000000	0000000000000000	0000000000000000	0000000000000000	00001180000000000	000000000000112	000011229280000000
	0000000000000000	00000000011800000	00000000011239000	0000000000000000	0000000000000000	0000000000000000	220000000000000	0000000000000000
	0000001200000000	0000000000000000	0000000000000000	0000001123795000	0000000000000012000	0000000000000000	0000000000000011	0000000000000000
	0000000000000000	0000000000000000	0000000000000000	0000000000000000	0000000000000000	0000000000000000	229000000000000	0000000000000000
	0028999999999999	0028999999999999	0028680999999999	0000000000000000	0000000000000000	000000000118000000	0000000000000000	00000000001122928000
	0029999999999999	7999999999999999	0028680446999999	0000000000000000	0000000000000000	0000000000000000	0000000000000000	0000000000000000
	9999999999999999	9999999999999999	9999999999999999	9999999999999999	7589999999999999	0000000000000000	0000000000000000	0000000000000000
	9999999999999999	9999999999999999	9999999999999999	9999999999999999	9999999999999999	0000000000283999999	0000000000000001	0000000000000000
	9999999999999999	99800979979200000	997941392386754000	9999999999999999	9999999999999999	99808799999999999	1229000000000000	998108586299999999
	19999978996997390	000000000088299998	000000000090144997	01431579413726577	9789699739000000000	99999999999999999	0000000000000000	99999999999999999
	0000000000000081	06833000000000000	99547150000000000	33190000000000000	0000000019999719790	99999999999999998	0000000000000000	99999999999999998
	99999789990000000	00002729999999999	000027714899999999	14515799543453800	00000000000000000305	708929999800979979	000000000286809	731014515794137265
	0000000000030999	99999794100092900	99999794612893723	00000000000277151	999999999999997117	200000000000000008	999998108779999	773519000000000009

999999999999717	00014294700000000	00012594157000000	7999999999999794	0000600000014999000	929999980653000000	999999999999999	014515799542453800
00008600000014999	000000000000001839	000000000000001873	60251372169043303	0000000000000000000	0000000000002729999	999999999999999	000000000000771237
00000000000000000	999999986000000376	199999986745000388	626790000000000000	01899999999970000000	999999999999979410	999999999999887311	999999999999979460
00000001899999999	002999999999999889	672997999999999889	00000001873620399	1700023999999999988	009290000014294700	0144997941392329	251172169013993626
87000000037000289	925863979679999999	9267265810124899999	86748610036965139	7649629733333999999	0000000000000000000	67540000000000000	7900000000000000000
9999999998876488	99999999999999999	99999999999999999	81899999988993268	99999999999999999	000180999999986600	009014499799547	000187362699986748
69979399999999999	99999999999999999	99999999999999999	06836222730999999	99999999999999999	000037500299999999	15000000000000000	1500000000000000000
999999999999999	99999999999999999	99999999999999999	99999999999999999	99999999999999999	99999999999999999	99999999999999999	99999999999999999
999999999999999	866999986100007740	865789996150007833	99999999999999999	9000000000000028999	99999999999999999	99999999999999999	99999999999999999
999999999999999	00299999999999999	20299799999999999	99999999999999999	99999999999999999	99999999999999999	99999999999999999	99999999999999999
84999999500000690	999999978932300000	999999975880723000	86578879614969783	60000001499900000000	99999999999999999	00000000000000000	99999999999999999
00028999999999999	142946000000000000	139939950000000000	39829981599999999	000000000000000028999	99999999999999999	000000187319999	99999999999999999
9999999978086000	00090000029999999	000000000299799999	9999999975803141	99999999999000000036	00077400029999999	986745000036867	969783396299818099
00014999000000000	999999994000000375	999999993110000368	69013353453860000	98877899999999999	99999999999999999	299799999999988	99999999999999999
0000000000000289	89006399999999999	30007348999999999	0000000000000298	99999999999999999	290000014294600000	992672691012409	314169013993453860
9999999999999000	99999999999999997	99999999999999997	18599999999993099	60000001499800000000	000000000000000029	99999999999999999	000000000000000029
00036987789999999	589290060014293000	580072300013590113	6003687977257339	00000169707000000000	99999999999999999	99999999999999999	98185999999999999
99999999999999999	000000000037578400	000000000036767374	99999999999999999	7800000002899999999	000037580002999999	99999999999999999	96003681977357339
99999997808600000	0000000085800078002	0000000086499088002	99999997880114189	99999999999979007000	99999999999999999	99999999999999999	99999999999999999
01499800000000000	99999999999999999	99799999999999999	01359006156000000	00043000000000000000	999999738290000001	578999915600783	999999758031416901
00369707000000000	9999991875000004130	999799413400004155	00367632340800000	0000189999999999999	4299900000000000003	320229799999999	359006158000000003
7800009002899999	000000000000000001	800000000000000001	86481170724398185	99999999999999999	737840000000008380	999999999997580	676523408000008649
9999999999999979	87999999999999999	89979999999999999	9999999999999979	88708500700000000000	00750029999999999	072300013993999	11707243981859999
00700000043000000	99999999999999998	99999999999999998	41415543041555860	0300000007299999999	999999999980107500	00000000000000000	9999999999979414135
00000000000001899	870928075000000000	873128733730000000	00000000000001899	99999999999999999	0004150000000000000	000029979999999	4304155598000000000
99999999999999999	0029500000008730000	002863700081552999	88299999999999999	87779999999999999	00000018799999999	999999311000036	000000189988299999
99999999999999988	99999999999999999	99999999999999999	99999999999999988	99999999999999999	99999999999999999	830007348999999	99999999999999999
70850070000000000	999999902099999999	999989002008999999	73128814571500000	9997807129999999988	999999987092807300	99999999999999999	99999999999999999
0030000007299999	99999999999999999	99999999999999999	00286640708156150	708299999999999999	000000000286000008	999999758007230	15000000028640708
99999999999999999	99999999999788607	99999999999758815	99999999999999999	970800000000000299999	07999999999999999	001359013000000	1561309999999999999
99999988777999999	999999999887090099	529999999887111006	9999999903017049	9999997080000000760	99999999998900209	000003676737400	99999999999890301
99999999999999999	99999999999999999	99999999999999999	33333333333333333	0000000000000000076	99999999999999999	000008648908080	7049999999999999999
99999999999999997	00000000900999999	2200000910089999	99999999999999997	0000000000000000000	99999999999999999	299799999999999	99999999999999999

8072999999999999	999979162000008330	999979122200008404	5881561509999999	06700000000000072999	9758807999999999	999999979413405	9758815615099999
0859999999999999	000000000000000000	900000000000000000	3110172299999999	99999999999999997777	709000000000000000	0004155380000000	7311017229999999
9997080000000000	390000000000000000	461500000000000000	9997913344300001	780649600000000000	999791600000000000	000000000189979	9997913344300001
9999999999997080	000073900000000000	000074764000000000	0172299999997913	4899999999999999773	9999999999997916000	9999999999999999	1722999999997913352
0000076000000000	8079999999999999	8171899999999999	52700840512700000	000000000000000000	000833000000000000	9999999999999999	700640512700000000
0000000007600000	999777775832787500	999777779798800129	00000000084619650	00000000008789999999	000000839000000000	887312873373000	000000846196500000
0000000000000067	000000000489999999	000000000488539999	00000000000000074	99999999999997808496	00000000007390000	000000286370000	000000000007477172
0000000000007299	999999890013000000	999999890021540000	77712000000081170	600000000000000000	600000000000000000	1552999999999999	000000081720529999
9999999999999997	000081300000000000	000082154000000000	52999999999999997	000000000000000000	99999999977777589	9999999999999999	9999999997777589
7777808498600000	000008729999999999	000008819999999999	77773895218590010	0330999999999999999	378790000000000048	9003008999999999	521859001000000048
0000004899999999	999999999975892737	999999999975798800	00000048849789999	9887719999999999999	99999999999983001	9999999999999999	849789999999989002
9999887730000000	500000000000000000	161000000000000000	99998900216146000	9999999970899999999	300000000008130000	9999999999999975	161460000008216118
0007300000000000	000990000000000000	000000000000000000	00082161180000000	9999999997807800000	000000000000873999	8815529999999988	00000000000882092
0000078999999999	000002729999999999	000002771499999999	00000882082099999	0510000000000000000	99999999999962997	7311008999999999	99999999999999997
9999999999780849	999998889992999999	999998900014399999	9999999999758027	0084999000000000000	589278750000000000	999999791322000	580221861773000000
8600000000000000	99999999999999784	99999999999999784	18617730000000000	00002999997573	000000000000000000	0009100899999999	000000000000000000
0000000000000000	299999999999999999	244999999999999999	00000000000000000	000000000000000000	00000000000272999	997913220000840	00000000000277153
0000000003099999	758864009000273000	757940990000277150	00000000027715379	99999999999988999	99999999999988999	4900000000000000	79999999999989000
9999999999887719	000000000000000927	000000000000000528	9999999999890001	99999999999999999	99999999999999999	0008461800000000	152679999999999999
9999999999999999	353000000000000000	747150000000000000	5267999999999999	999978429999999999	000000000007476	999978428687999999	999978428687999999
9997089999999999	[2859996355]	[28656644355]	999978428687999999	999999973886400000	400000000081718	999999973886400000	999999973886400000
9999999780780000			9999999737963180	017830000000000000	9999999999999999	027715380000000000	027715380000000000
0003100000000000			100277153800000000	000032795300000000	977777579980012	000092882925380000	000092882925380000
0000000849990000			00000009288292538	0000000002859996355	90000000048853	000000002863376435	000000002863376435
0000000000002999			00000000000028653		999999999989002	390	999999999989002
9757575			36433990		154000000008215		4000000000000000
					8819999999999999		999999997579980
					0161000000000000		0000000000000000
					0000000000000000		000000000000277
					1499999999999999		

0000000000000000	0000000007259559	00000000072681683	0000000000000000	00000000000000000649	93000028600072618	0077829000000000	117493286476072693
0000000000000000	999997886000000000	999997890190000000	0000000000000000	87000169999997130000	900003479999997833	0000000000000000	322143483668997837
49979399999971530	0000000000000000	0000000000000000	26906774493978300	000000000000000000	800000000000000000	0000000000000000	264600000000000000
0000000000000000	00000000052299999	00000000093048999	4800000000000000	00649980000000169999	000000000725882001	3878999999999999	000000000726733401
0000000000000000	99999999979163000	99999999979134400	0000000000000000	99713000000000000000	889999978350000000	999999979316100	083182978372646000
0859999999999999	00000000082299999	00000000003354899	9930580499999999	00000000000000000000	000000000000000000	286500072684071	0000000000000000
999970800000000000	999999999999999791	999999999999999791	99979133585000000	00000001699999971300	7259660000000188999	003485799997837	726907148200188318
0000859999999999	600000000000000000	344000000000000000	00009305804999999	00000000000000000000	997835000000000000	3600000000000000	59783264600000000
9999999997080000	05229999999999999	09304899999999999	99999999979133506	00000000000000000000	000000000000000000	0000000000000000	0000000000000000
0000000000000085	99791600000000000	99791344000000000	589000000000000093	00000016999997130000	36007000000188999	660771882999978	26873636200188318
9999999999999999	00000000052299999	00000000093048999	05804999999999999	00000000000000000000	978150000000000000	3736000000000000	97837264600000000
7080000000000000	99999999999791600	99999999999791344	79133585000000000	00000000000000000000	600000000000000000	0000000000000000	0000000000000000
0000000859999999	000000000000000022	000000000000000093	00000009305804999	0000189999971300000	000726087000000018	817260000188299	000726873636600018
9999999999970800	9999999999999999	48999999999999999	99999999999791335	00000000000000000000	899999783500000000	9978373600000000	831839783726460000
0000000000000008	99979160000000000	99979134400000000	58500000000000009	00006500300000001899	000000000000000000	0000000000000000	0000000000000000
5999999999999999	00000000522999999	00000000930489999	30580499999999999	99997130000000000000	000000000726118000	000007267870300	000000000726874864
9999970800000000	99999999999997914	99999999999997998	99999791335850000	00000000000000000649	001889999978350000	001882999978373	101883185978372646
0000000000008599	000000000000000000	370000000000000000	00000000000093058	87000000000169999997	000000000000000000	0000000000000000	0000000000000000
9999999999999999	000000000000000000	000000000000000000	04999999999999999	13000000000000000000	0000007260318000000	0000000000000000	000000726863679600
9979300000000000	083900000000000000	084618000000000000	997998234800000000	000000000000000064997	188999997332000000	000726787030000	188318397837264600
0000000007600000	000000000000000000	000000000817190000	00000000084051270	99972500000000000000	000000000000000000	018829999783736	000000000000000000
0000000007600000	000000000000000072	000000000000000072	00000000084619620	00000000000000000000	000007238810000000	0000000000000000	000007267779311000
0000000000000000	00389999979450000	06859999979464900	000000000000000000	00000000130000008600	018899997833500000	0000000000000000	018831839783726460
0730000000000000	0000000007399999	00000000076208999	08172030000000000	00000000000000000000	000000000000000000	000726788130001	000000000000000000
00000000065001989	99999999979160000	999999999791344000	00000000072676135	0000000000000000649999	000000000725965997	882999978373600	000000000726807127
9999712000000000	00000000000001229	000000000000076208	47997946492200000	999700000000000082999	88500000000000000000	0000000000000000	790048000000000000
0000066999999999	99999999999999999	99999999999999999	00000762171399999	9999999708000000000	00000000000000000000	000000000726777	000000000000000000
9999970800000000	99999999999999999	99999999999999999	99999791335850000	00007899999999999708	800000000998600092	990000188299997	99000001054499313
0000000006699999	975892900000142959	975800723000139852	0000000007621713	000000000000000789999	500000000000000000	8373600000000000	413340000000000000
9999999999999999	000000000000000000	3400000000000000000	99999999999999999	99999997080000000000	80000000000000000000	0000000000000000	000000000000000000
9999999999999999	000000249000000044	000000249260000044	99999999999999999	00000789999999999708	726999999791600000	007267009400000	734130899791397840
978080000000014999	999989001400000000	962890002117000000	97580314159013504	000000000000078999999	000088999999999979	018829999783736	00008082699999979
0000000000000000	000007740000149999	000007833200140299	829600000000000000	99999708000000000000	160000000000008659	0000000000000000	139791000000008744

000000024000000 04499998877800000 0000000069000001 999999999999999 999999999999975 75]	999999999999999 999999996355]	999999999999999 99999999644355]	0000000243301500 04496271800212488 0000000078133501 396848999999999 999999999999644 35390]	058999999999997073 99899999999996340]	99999999791600000 00000000863999999 999979160000000000 0008669999999791 600000000000836999 999999979160000000 00000769999999999 99791599999999999 986470]	000000000000000 726817307890190 0000000000000000 0000000000000000 0000000000000000 0934050000000000 0000000000000000 00000000734039 9997913910000000 907979999999979 139100000000008 74389999999791 391000000000008 7438999999979 139100000000000 07564999999791 391000000000864 33999999979139 10000000007787 2999999997913 9099999999964 4355]	83899999791397760 00000008744842999 999979139776000000 00087573689999791 397730000000864420 89999979139782000 00000778811399999 99791397879999999 964435275]
-------------------------------------------------------------------------------------------------------	----------------------------------	------------------------------------	-----------------------------------------------------------------------------------------------------------	------------------------------------------	-----------------------------------------------------------------------------------------------------------------------------------------------------------------------------------	-----------------------------------------------------------------------------------------------------------------------------------------------------------------------------------------------------------------------------------------------------------------------------------------------------------------------------------------------------------------------------------------------------------------	--------------------------------------------------------------------------------------------------------------------------------------------------------------------------------------